

## O POGOJIH NASTANKA PREMOGIŠČ NA KRASU\*

*Milan Hamrla*

Z 31 slikami in 12 tabelami med besedilom in v prilogi

### I. UVOD

Ozemlje Primorskega krasa in Istre je za študij stratigrafije na prehodu mezozoika v terciar med najzanimivejšimi v Evropi. Poleg stratigrafskih značilnosti kaže še morfološke ter hidrološke posebnosti v zvezi s kraškimi pojavi. Sedimenti vsebujejo tudi premoge zelc dobre kakovosti, ki kažejo v primerjavi z ostalimi premogi določene posebnosti v kemičnem in tehnološkem pogledu.

Pričajoče delo se v glavnem nanaša na premogišči Sečovlje in Vremski Britof v Slovenskem primorju, delno tudi na Rašo v Istri. Skušal sem pojasniti geološko okolje, v katerem so premogi nastajali. V ta namen sem podrobno obdelal geološke razmere in petrografski sestav premogov ter prikamenin, kakor tudi odvisnost njihovega sestava od faciesa. Da bi to pokazal, sem vpeljal krivuljo slojnih profilov. Petrografske značilnosti premogov sem dopolnil z osnovnimi podatki o njihovem kemičnem sestavu. Obravnaval sem še problem njihove klasifikacije po kemizmu in moči odboja vitrinita.

Geološke preiskave na površini in v jamah ter vzorčevanja sem izvedel leta 1954 in 1955, nekaj tudi v prvih mesecih naslednjega leta. Tedaj je Geološki zavod iz Ljubljane tudi vrtal v Vremskem Britofu in v Izoli.

Zbrano floro iz Sečovelj mi je določil asistent beografske Univerze, paleobotanik **Nikola Pantič**. Večino kemičnih preiskav sta napravila v kemičnem laboratoriju Geološkega zavoda v Ljubljani ing. M. Babšek in ing. S. Kandare, nekaj vzorcev so analizirali tudi v kemičnem laboratoriju Rudnika Trbovlje. Koksne lastnosti precej številnih vzorcev premoga je določil dr. ing. B. Lavrenčič v kemičnem inštitutu SAZU v Ljubljani.

### II. SPLOŠNA GEOLOŠKA SLIKA PRIMORSKEGA KRASA IN ISTRE

Srednji in severni del Istre ter Primorski kras grade tri obširne sinklinale, ki so izpolnjene s staroterciarnimi usedlinami, in vmesne kredne antiklinale. Vodilna geološka smer je dinarska, saj obravnavano ozemlje

\* Skrajšana doktorska disertacija, ki jo je avtor predložil Univerzi v Ljubljani dne 15. julija 1956.

v celoti pripada Dinarskemu sistemu. Od Raše in Labina preko Pazina in Grožnjana do Umaga sega pazinska terciarna sinklinala. Ozka in dolga bujska antiklinala med skrajnim zahodnim rtičem Žalbore (Punta Salvore) ter dolino rečice Mirne jo loči od obsežne tržaško-koprske ali severnoistrske flišne sinklinale, ki je med Buzetom in Učko spojena s pazinsko sinklinalo. Obširna kredna antiklinala med Opatijo in Kozino jo loči od ozke in dolge reške terciarne sinklinale, s katero se združuje severno od Kozine. Najbolj severno leži goriško-vipavsko sinklinalna flišna cona, ki je vzhodni podaljšek furlanskega terciarnega ozemlja. Segajo Postojne ter se pri Pivki združuje z reško flišno cono.

Geološko zgradbo ozemlja Istre in Primorskega kraša podaja geološka karta (1. sl.).

Kredna formacija v Istri dosega debelino okrog 1000 metrov. Zastopana je celotna kreda od neokoma do senona. Ob zahodni obali Istre nastopajo še titonske usedline.

Po Stacheju (1889) je v Tržaškem krasu zgornja kreda zgrajena takole: najviše so svetli subkristalinski apnenci, ki vsebujejo često odломke rudistov ter so ponekod prekriti še s foraminifernimi apnenci. Pripadajo kampanu in santonu ter verjetno tudi daniju. Pod njimi sledi nabrežinske breče in ploščasti apnenci s številnimi rudisti ter ostreami. Plasti ustrezajo koniasiju.

V južni polovici Istre je v skladu s poševno antiklinalno zgradbo njen zahodni del zgrajen iz spodnjekrednih apnencov. Na listu Labin je Lipparini prikazal samo zgornjo kredo. Po Salopeku (1954) so apnenci v podlagi terciarnih plasti okolice Labina in Pičnja v glavnem turonski, kreda v severozahodni Čičariji pa sega od zgornjega cenomana do spodnjega senona.

Enako razdelitev krede imata D'Ambrosi (1942) na listu Trst ter Martinis (1951) na listu Gorica. Najvišji del krednih plasti zastopajo svetli, često subkristalinski apnenci z rudisti, ki naj bi pripadali turonu in senonu.

Krednim usedlinam sledi terciarne. Stache (1859) je skupino plasti med kredo in terciarom poimenoval najprej kot kozinske plasti, pozneje pa kot liburnijsko stopnjo ali protocen. Pod protocenom je Stache (1859) zajel vse plasti med hipuritnimi svetlimi apnenci zgornje krede in eocenskimi numulitnimi apnenci. Razdelil jih je na tri podstopnje: spodnji foraminiferni apnenci, kozinske plasti in zgornji foraminiferni apnenci. Pozneje je omejil liburnijsko stopnjo oziroma protocen na plasti med hipuritno kredo in glavnimi alveolinskimi apnenci ter takšno ločitev izvedel tudi kartografsko.

Spodnje foraminiferne apnence sestavljajo morski in brakični sedimenti ter vmesne plasti s kopno in sladkovodno favno. Ta paralična skupina je najmočneje razvita med Bazovico in Spodnjimi Ležečami ter Rodikom. V spodnjem delu so zastopani povečni svetlosivi in temni apnenci z miliolidami, redkimi ostanki rudistov ter morskih školjk, dalje več horizontov bituminoznih apnencov in skrilavcev, često s premogovnimi sloji. Plasti vsebujejo haraceje ter sladkovodno favno polžev rodov

*Stomatopsis* in *Cosinia*. Med foraminiferami izstopa rod *Peneroplis*. Morski moluski so pogostni, zlasti v zgornjem delu spodnjih, paraličnih plasti. Haraceje in miliolide nastopajo pogosto skupaj. *Stache* ni podrobnejše razčlenil navedenih plasti, domneval pa je, da bi mogle pripadati še daniju.

Do enakih zaključkov je prišel tudi Meunier-Chalmas (Salopec, 1954) po primerjalnih študijah liburnijske stopnje v Istri in Dalmaciji. Favna *Sphaerulites* in *Apocardia* opredeljuje sedimente po analogiji z razmerami v Franciji kot danij.

Kozinski apnenci tvorijo srednji del liburnijske stopnje. Sestavlajo jih pretežno kremenasti bituminozni apnenci in apnene breče. V teh plasteh so obilno zastopane hare, zlasti *Lagynophora*. Kopensko favno zastopa rod *Kallomastoma*, vezan v glavnem na brečaste različke, ki naj bi nastali iz pobočnega grušča sladkovodnih bazenov. Sladkovodna favna z nekaterimi brakičnimi različki ne kaže posebne zveze s spodnjimi foraminifernimi apnenci. Zastopani so rodovi *Melanopsis*, *Goniobasis*, *Hydrobia*, *Cyrena* in *Cerithium*, poslednja dva često spremljajo hare.

Kot sta torej za prvo podstopnjo severnega istrskega območja značilna polža rodov *Stomatopsis* in *Cosinia*, tako sta za drugo vodilni obliki *Kallomastoma* in *Lagynophora*.

Meunier-Chalmas je po fosilu *Cerithium inopinatum* prištel te plasti montiju.

Zgornji foraminiferni apnenci obsegajo paralične plasti v smeri od kopenskega razvoja ponovno proti morskemu. Debelina zgornjih foraminifernih apnencev je neenakomerna. V plasteh s sladkovodnimi in brakičnimi fosili je našel *Stache* le redko nanesene ostanke kopenske favne. Ponekod se više vedno pogosteje vključujejo že plasti s prvimi alveolinami. Med foraminiferami je rod *Coskinolina* vodilen za zgornji del liburnijske stopnje. Po *Stacheju* se ta oblika pojavlja tako v Primorskem krasu kot v Istri in Dalmaciji približno v istem horizontu pod glavnimi alveolinskimi apnenci.

Po Rakovcu (1949) je treba spodnje foraminiferne apnence, ki vsebujejo rudiste, uvrstiti v paleocen, ker so rudisti najbrž naplavljeni iz krednih plasti. Naslednjo serijo sladkovodnih apnencev s premogom ter haracejskih apnencev, ki naj bi bila na južnem Notranjskem in v severni Istri debela okrog 100 m, imenuje Rakovec kozinske plasti. Njihov spodnji del prišteva še paleocenu, zgornji pa že eocenu. Apnene sklade nad njimi, ki vsebujejo predvsem miliolide, imenuje miliolidne apnence. Lokalno vsebujejo tudi že alveoline. Zaradi pomanjkanja značilnih fosilov domneva, da pripadajo te plasti najvišjemu delu spodnjega eocena ali najnižjemu delu srednjega eocena. Alveolinski apnenci, ki sledi, so zanesljivo srednjeecenski, enako višji numulitni apnenci in fliš.

V srednji Istri leži po *Stacheju* (1889) zgornji del liburnika neposredno na erodiranem krednem apnencu ali apnenih brečah, ki naj bi bile odložene namesto glavnih haracejskih apnencev.

V jugovzhodni Istri pri Labinu so razviti še nižji haracejski apnenci, ki vsebujejo premogove sloje. Premog leži neposredno na kredi. Spodnji

foraminiferni apnenci tu manjkajo, enako tudi v Dalmaciji in na otokih. Favna produktivnih plasti ne vsebuje skoraj nobene oblike iz kozinskega območja, pač pa je karakterizirana z oblikami *Planorbis* in drugimi kopnimi polži. Med haracejsko floro tudi ni rodu *Lagynophora*. Usedline so torej lokalni kopni facies spodnje paralične podstopnje, pri čemer se *Stache* glede časovne vrzeli med erozijo kredne podlage in sedimentacijo premoga ni točneje izrazil.

Više slede debele plasti s haracejami in melanidami, ki vključujejo v spodnjem delu še več premogovnih horizontov. Razvoj teh plasti ustreza kozinski podstopnji. Apnenci s foraminiferami, malimi alveolinami in brakično-morskimi konhilijami ločijo to skupino od višjega horizonta alveolinskih apnencev.

Italijanski geologi se s *Stachejevo* razdelitvijo niso strinjali. Po D'Ambrosiju (1931) je liburnijska vmesna stopnja nepotrebna. Vse sedimente med svetlimi krednimi apnenci ter morskimi apnenci eocena obseže kot plasti spileko (Spilecciano). To so sivi in temni, često bituminozni apnenci s haracejami, miliolidami in stomatopsidi ter premogovnimi sloji. Prišteva jih najnižjemu eocenu v smislu Saccia (1924). Spileko obsega po italijanski razdelitvi plasti med danjem in spodnjim lutecijem (Gignoux, 1950) ter je identičen z londonijem oziroma ipresom (Haug, 1920). Neposredno nad plastmi spileko sledi spodnji lutecij z miliolidnimi apnenci. Više so svetlosivi apnenci srednjega lutecija z bituminoznimi vložki ter prevladujočimi alveolinami, manj po-gostnimi asilinami in numuliti, še više slede glavni alveolinski in numulitni apnenci.

Podobno razdelitev spodnjega dela terciarja je postavil D'Ambrosi (1931) tudi v tolmaču h geološki karti lista Pazin, to je za srednjo Istro. Zaradi pomanjkanja značilnih fosilov pa je meja med spilekom in lutecijem negotova. Oba oddelka eocena merita po debelini plasti le nekaj metrov. Popolnoma isto razdelitev uporablja tudi Lipparini (1935) v geološki karti lista Labin.

Salopec (1953) navaja za labinsko in pičansko območje pisane breče pod liburnijskimi sloji. Prišteva jih delno kredi, delno terciarju. Liburnijske plasti v sladkovodnem in brakičnem razvoju s premogom prišteva v paleocen. V njihovi bazi pa je lokalno našel tudi miliolidne apnence neposredno na kredi. Po tem sklepa na prisotnost spodnjih foraminifernih apnencev tudi v tem delu Istre. Isto je opazil tudi že Wagen (1906). Tanke plasti miliolidnih apnencev vsebujejo tudi rudiste, verjetno na sekundarnem mestu.

Šikič (1951/53) se drži stratigrafske delitve starejših avtorjev.

Nekateri geologi, kot D'Ambrosi, domnevajo, da je mogel biti del fliša odložen še v oligocenu, ko je verjetno bila Istra pokrita še z morjem. Erozija pa je popolnoma odnesla morebitne usedline.

Boksit na krednih apnencih je posledica krašenja apnenih površin. Po D'Ambrosiju (1940) so vezani istrski boksiti na dva različna horizonta: prvi je posledica emerzije ob koncu neokoma, drugi ustreza

senonski regresiji, ko je Istro ponovno zajela kontinentalna faza. Vsa bogatejša nahajališča boksita v Istri ustrezajo senonski fazi.

Terra rossa je neogenska in pleistocenska ter produkt izravnave istrske površine, ki se je pričela po D'A m b r o s i j u (1931) že v miocene ter dosegla višek v ledenih dobah.

V neogensko-kvartarni periodi sorazmerno že stabilnega kopna so nastala tudi številna večja ali manjša jezera s sladkovodno favno ter usedlinami glinastega mulja.

Pleistocen zastopajo še breče. Dolinske naplavine in pobočni grušč pripadajo holocenu.

V nasprotju s sosednjimi Alpami kažeta Primorski kras in Istra – kot Dinaridi sploh – sledove zmernejšega delovanja tangencialnih sil. Enostavna antiklinalna in sinklinalna območja v pretežnem delu Istre prehajajo v nekoliko bolj komplizirano zgradbo Učke s Čičarijo in Tržaškega kraša. Območje Čičarije je po W a a g e n u (1913) in S a l o p e k u (1953) karakterizirano celo z luskasto strukturo in poleglimi gubami. Š i k i č (1953) in S a l o p e k navajata tudi prave narive pod vplivom pritiska s severa. Tržaški kraš pa je tektonska gruda.

Po W i n k l e r j u (1924) je pričetek dinarskega gubanja v primeri z južnoalpskim, ki ga postavlja v predoligocen, kasnejši. Večina primorských Dinaridov je bila gubanih šele v posteocensi, delno celo postoligocensi dobi, kar sledi iz popolnoma konkordantno gubanih eocenskih in spodnjeoligocenskih plasti s podlago (Promina). Gubanja pa so morala biti tudi že pred transgresijo morskega eocena. W i n k l e r predpostavlja močno gubanje v mejnih delih Dinarirov tudi v zgornji kredi. Sledilo je še mlado terciarno gubanje.

Po Š i k i č u (1951/53) je v Čičariji udeležen v luskasti zgradbi ves fliš; premiki so v glavnem oligocensi, pričeli pa so se že v eocenu.

Tangencialne sile, ki so se uveljavljale v Julijskih Alpah, so vplivale tudi na dinarsko regijo. Paroksizem v tem delu Dinarirov najbrž sovpada z glavnimi tangencialnimi premiki v Julijskih Alpah. Tektonská premikanja, ki so bila najbolj intenzivna v Alpah, so v smeri proti jugu postajala vedno slabša.

Po neogenski emerziji, vezani na orogenetsko delovanje sredi terciarja, ozemlje današnjega severnega Jadrana ni bilo več pokrito z morem. Z epirogenetskimi premikanji v sorazmerno mladi geološki preteklosti je nastopila poslednja faza v fizičnem preoblikovanju kopnega. Regionalno premikanje obal v dobi po pleistocenu je evidentno že v historičnem času. S t a c h e (1888) skuša spraviti v sklad premikanja jadranske obale v kvartarno-historični periodi z vulkansko aktivnostjo v Sredozemlju.

Današnja obala Istre je na vzhodni in zahodni strani tektonska ter poteka več ali manj prečno na dinarsko smer. Kaže očitne znake potopljeni oziroma toneče obale ter se polotok kot celota ugreza še danes. Da se je območje Istre od diluvija dalje grezalo najmanj za 200 m, dokazuje debela plast fluvio-glacialnih usedlin Soče pri Gradežu, po čemer sklepa M e l i k (1935) na najmočnejše grezanje Jadrana v severnem delu.

Na obravnavanem ozemlju ločimo dva tipa zemljišč. Medtem ko je prepokano apneno ozemlje vodopropustno, je peščeno-laporasti fliš vodo-neproposten. Od te lastnosti je odvisen značaj ozemlja, njegov morfološki razvoj in ostale posebnosti.

Značilna za apneno kraško ozemlje je blago zaobljena površinska konfiguracija ter obširni platoji. Apnenec je pokrit lokalno s kraško preperino (terro rosso), ki je koncentrirana v depresijah. Številna nakopičenja boksita so v obliki žepov in gnezd nepravilno porazdeljena po stari izravnani kredni površini.

Po paleogenski morski sedimentaciji je nastopila v miocenu zopet emerzija. Pričel se je proces krašenja z nastanjem terre rosse, ki traja še danes.

Kakšna je stopnja skrašenja v območjih, kjer so premogišča? V Primorskem krasu je bil ta proces dalekosežen. Globina skrašenja je velika ter sega najmanj do današnjega morskega nivoja. V severozahodni Istri v območju bujske antiklinale ne seže globoko. V sečoveljskem premogovniku na nivoju jamskih del ne opazujemo kraških pojavov v krednih apnencih v podlagi terciarja. V vzhodnem delu Istre v rudniku Raši pa segajo skrašeni kredni apnenci še globoko pod morski nivo.

### III. GEOLOGIJA PREMOGIŠČ

Primorsko-istrsko premogovno ozemlje razdelimo na dve skupini: severna obsega Primorski kras med Trstom, Kozino in Pivko. Proektivno je severno krilo tržaško-koprsko terciarne kadunje ob prehodu v reško eocensko kadunjo. Južni skupini prištevamo pojave premoga v Istri od njenega severozahodnega do jugovzhodnega dela. Premog vsebuje v severni skupini prehodne plasti med kredo in paleogenom, v južni pa bazalne plasti transgresivnega paleogena. Premogonosnost je nestalna ter se izpreminja od debelih slojev, ki dopuščajo razvoj velikih rudarskih obratov, do nepomembnih vložkov.

#### Severna skupina

Med Bazovico in Pivko je pas produktivnih plasti sorazmerno širok. Na več mestih izdanjajo tanki sloji premoga, ki so jih bili v preteklosti nekajkrat raziskovali. Debelina premogovih slojev je zaenkrat le v neposredni okolini Vremskega Britofa tolikšna, da dopušča rudarsko eksploatacijo.

Rudarska dejavnost v Vremskem Britofu ima svoje začetke v 18. stoletju. Sistematsko so rudarili le Italijani med leti 1920 in 1931 ter tik pred drugo svetovno vojno. Po letu 1945 je bila rudarska dejavnost omejena na jamo Zavrhek, ki je bila jeseni leta 1955 izčrpana in potopljena. Zato so pričeli z obnavljanjem Jame Jadran IV. pa tudi starih francoskih prog na levem bregu reke. Rudarske obrate in vrtine v vremski dolini kaže 2. slika.

**1. Splošne geološke razmere okolice Vremskega Britofa.** Kreda med Divačo in Famlijami izstopa morfološko in vegetacijsko; bel skalnat teren

ni kultiviran. Kredni pas obdajajo na obeh straneh povečini temni apnenci *Stachelyea liburnika* oziroma italijanskega spileka. Plasti se nadaljujejo navzgor v sorazmerno širok pas miliolidnih apnencov. Sledi alveolinski apnenci in nad njimi tanjši pas numulitnih apnencov, ki prehajajo navzgor v lapornato-apnene, ponekod tudi peščene flišne sedimente. Med Škocijanom in Zavrhom potekajo plasti približno od zahoda proti vzhodu, nato se obrnejo precej ostro proti severovzhodu. Sorazmerno široka cona produktivnih plasti se pri Spodnjih Vremah konča ob prelomnici. Produktivni apnenci na planoti Gaberk padajo proti jugu ter so ločeni od krede s prelomnico. Na severu nalegajo konkordantno na kredno antiklinalo Vremščice.

Edina večja dislokacija v neposrednem območju Vremskega Britofa poteka v dinarski smeri preko Spodnjih Vrem vse do Divače. Geološka zgradba kaže na večjo premaknitev v vertikalni smeri, pri čemer se je ugreznilo severno krilo. Dislokacijo direktno nakazujejo še močno porušene kamenine.

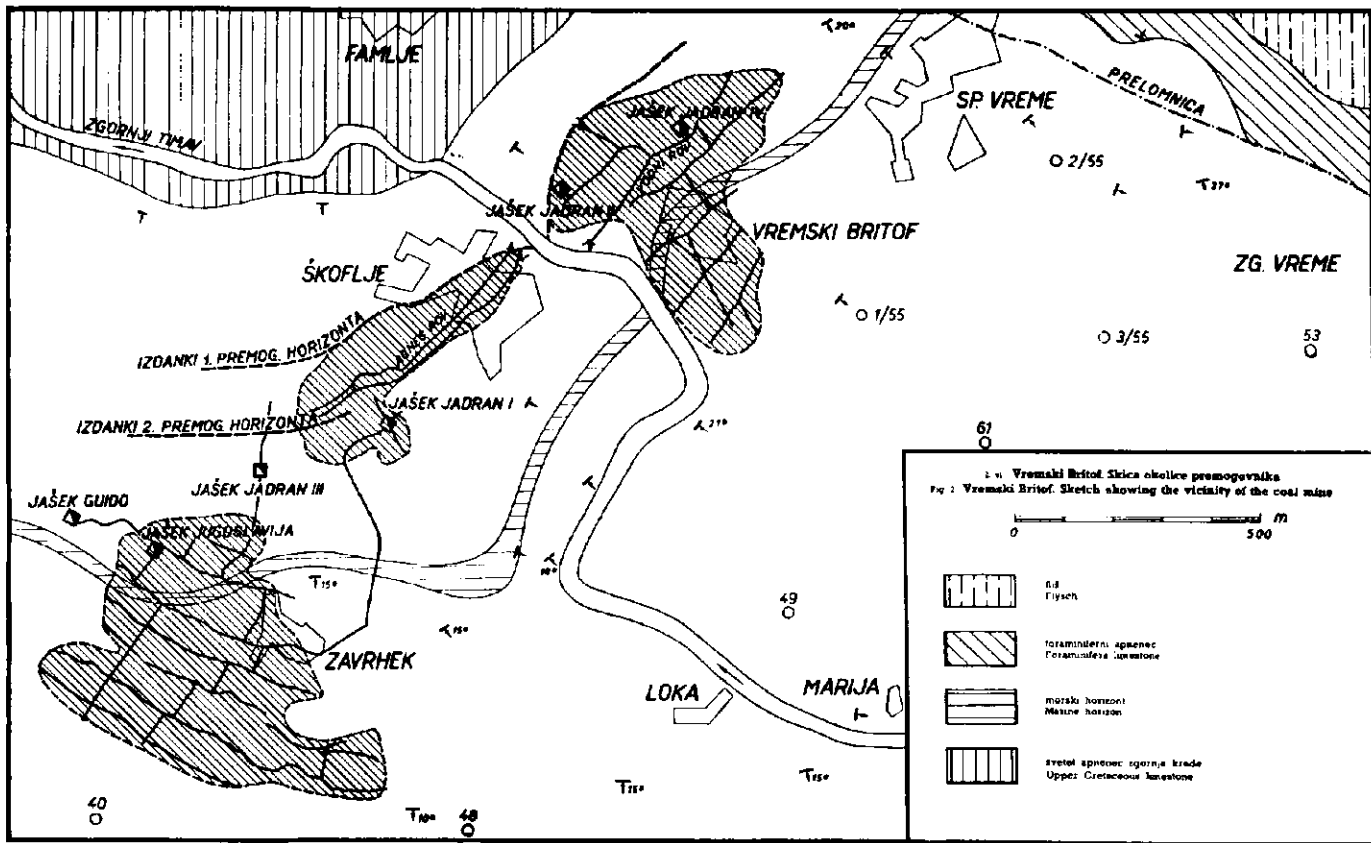
Prehod med svetlimi apnenci krede in produktivnimi apnenimi plastmi je zvezen. V spodnjem delu produktivnih apnenih plasti najdemo le malo makrofavne ter nekaj miliolid. Pogostnejše so hare v temnem bituminoznem apnencu. Pomembna je tanjša vmesna plast sivega in temnosivega bituminoznega apnencia z obilico miliolid, peneroplid ter morsko favno moluskov. Zgornji del produktivnih plasti zastopajo več ali manj bituminozni apnenci, lokalno z miliolidno favno. Ti prehajajo navzgor v miliolidne apnence ter alveolinske in numulitne apnence.

Izdankov premogovih slojev danes na površini skoraj nikjer več ne najdemo.

**2. Vrtine.** V letih 1937 do 1939 so izvrtali v širši okolici Vremskega Britofa 14 raziskovalnih vrtin. Za tri vrtine (52, 57, 59) ni znan položaj, za eno, katere oznako in položaj poznamo, ni ohranjen profil (40), pač pa le ustni podatki, o eni vrtini pa nimamo nobenih podatkov.

Vrtina 42 ni zadela na premog. V vrtini 47 je v globini 511 m 5 cm debela premogovna žila. Vrtina 48 kaže dva premogovna horizonta: med 164 in 165,75 so širje tanki sloji oziroma žile z debelinami 7, 10, 30 in 5 cm, na globini 176 m pa žili 3 in 2 cm. Zgornji horizont naj bi ustrezal sloju, ki so ga odkopavali v jami Zavrhek, le da je ob površinsko neopazni prelomnici precej visoko dvignjen.

V vremski dolini je pokazala vrtina 49 dva premogova sloja: na globini 130 m sloj 16 cm in na globini 150 m žilo 3 cm. Vrtina 61 je pokazala spodnji premogovni horizont med 245 in 246,5 m s 5, 8, 9 in 12 cm debelimi žilami, više na približno 120 m pa še dva sloja, 13 in 7 cm debela. Spodnji in višji horizont se v primerjavi z vrtino 3/55 ujemata z najnižjim ter naslednjim višjim premogovnim horizontom. Vrtina 53 je pokazala med 370 in 375 m pet slojev premoga: 14, 4, 17, 110 in 4 cm ter na globini 399 m še sloj 27 cm. Obe skupini pripadata predvidoma obema glavnima premogovnima horizontoma. Vrtina 50 severno od Barke je zadela le na najnižji premogovni horizont, kjer so med 365 in 367,5 m



sloji in žile z debelinami: 6, 5, 57, 11, 6, 14 in 10 cm. Sosednja vrtina 62 pa je bila brez premoga.

Vrtina 58 vzhodno od Zgornjih Vrem je zadela med 585 in 586 m na sloje 11,4 in 16 cm, na 593 m sloj 10 cm in na 595 m žilo 9 cm.

Obe najbolj vzhodni vrtini 51 in 56 nista dosegli produktivnega dela terciarnih plasti.

Podatki vrtin nam dajejo sliko o položaju posameznih premogovnih horizontov med kredo in alveolinskimi apnenci. V 1. tabeli so podane poševne debeline plasti pri povprečnem naklonu 15–20°.

Table 1

1. tabela

Vrtina št.:	50	58	53	61	49	48
Razdalje med kredo in najnižjim premogovim horizontom (m)	59	120	37	100	102	26
Razdalje med glavnim premogovnim horizontom in spodnjo mejo alveolinskih apnencov (m)	205	364	254			

Premogovi sloji pripadajo torej različnim horizontom v liburnijskih plasteh.

V letu 1955 so bile izvrtane še tri vrtine vzhodno od Vremskega Britofa, ki so zanesljivo podale zvezen profil produktivnih plasti s kredno podlago. Vrtina 1/55 je pokazala v najnižjem premogovnem horizontu blizu skupaj 3 sloje premoga, s skupno debelino 1,35 m. Višji horizonti so vsebovali le tanke vložke in žilice premoga v temnem bituminoznem apnencu. Enako so bili zastopani premogovni horizonti tudi v vrtini 2/55, ki pa debelejšega sloja premoga ni pokazala. V vrtini 3/55 smo zadeli že tanek sloj premoga v najnižjem horizontu. Zlasti poslednja vrtina je potekala v močno zdrobljenem in porušenem, kavernastem apnencu.

**3. Geološke razmere in tektonika v jami.** V jami Zavrhek so odkopavali en sam sloj premoga, debel povprečno okrog 50 cm. Nekako 2 in 3,5 m nad tem glavnim slojem sta še dve tanjši premogovi žili.

Jama Jadran IV je bila v letu 1955 obnovljena do tretjega obzora. Stare smerne proge in vpadniki so izdelani v premogu, ki pa je v območju dostopne jame povečini odkopan. Razmere v jami kažejo neenakomeren razvoj premogovnih slojev, ki so nestalni po številu, medsebojnem položaju in debelini. V vodnem rovu, ki poteka prečno na plastovitost, smo našli največ 15 tankih žil in slojev premoga. V območju starih odkopov opazujemo dve glavni skupini premogovih slojev, ki so jih vsako zase odkopavali. V »zgornji« skupini je odkopen v glavnem le en tanek sloj. V »spodnji« skupini pa je več slojev, ki se po debelini močno izpreminjajo. Mestoma dosežejo tudi skupno debelino 2 m ali pa so na račun apnenih vložkov skoraj v celoti reducirani. V nekaterih delih premogišča se premog menjava s polami in z vložki apnanca. Kot primarna prikamenina premoga nastopa izključno apnenc.

3. slika  
**Značilni stenski posnetki iz premogovnika Vremski Britof**

Fig. 3

**Characteristic views of walls in Vremski Britof coal mine**

PREČNIK PRI JAŠKU NA I OBZORU

RAZISKOVALNI ROV 17 SLAVNEGA VPADNIKA

VODNI ROV NA I OBZORU

ZAHODNI SREDNI ROV NA II OBZORU

NADKOP ZAHODNO OD SLAVNEGA VPADNIKA

Legend:

- Coal with seam
- Karstic rocks
- Clay and sand
- Erosion, old sand

189

Poleg sedimentarnih vzrokov so na nepravilnosti v debelinah in potoku slojev vplivali tudi drugotni faktorji, predvsem tektonika in erozija. Tektonska premikanja so premogove sloje lokalno stanjala ali iztisnila, na drugi strani pa lečasto obogatila. Največ premoga je vzdolž tako imenovanih »cevi«, ki so odebeleni deli slojev ob fleksurah in lokalnih prelomih. Korozivnemu delovanju podzemnih voda v apnencu je sledila podzemna erozija. Premogovi sloji so pogosto odneseni v celoti ali delno, prazne prostore pa so tesno zapolnili rumena in zelena glina, kosi apneca, povečini pa prineseni prodniki ter droben pesek. V teh zapolnitvah kraških podzemnih votlin z materialom, ki izhaja delno s površine, najdemo tudi fragmente drevesnih debel, ki so dosegla v stopnji karbonifikacije ksilitni stadij. Po tem moremo sklepati na precej staro skrašenje tega ozemlja.

Podzemne vode so vplivale tudi na premogovo substanco ter ob njej in v njej odlagale mehansko transportiran glinast material ali pesek. Tako opazujemo ponekod postopen prehod premogove substance v temno glino.

Nekaj značilnih stenskih posnetkov iz jame, ki ponazarjajo obliko in nestalnost premogovih slojev, kaže 3. slika.

Premogove sloje razdelimo na več skupin. Zgornjo skupino predstavlja v prečniku I sloja 1 in 2 ter žilice pod njima, v vodni proggi pa so to sloji 9, 10, 11 in 12 z vmesnimi tankimi žilicami. Najvišji sloj te skupine je navadno najdebelejši. V rudniku ga imenujejo »zgornji« sloj in ga odkopavajo posebej.

Glavno skupino sestavljajo navadno trije sloji. V prečniku I ji približevamo sloje 3, 4, 5, v vodni proggi pa sestavljen sloj 13. Debelina slojev je nestalna; najdebelejši je včasih najvišji, včasih najnižji sloj. To skupino slojev tudi v glavnem odkopavajo.

Nad zgornjim slojem je še več tankih premogovih slojev in žil, ki jih imenujemo krovna skupina. Pod glavno skupino pa je nekaj tankih premogovih slojev talne skupine.

V jami Jadran IV je zgornji premogov sloj precej enakomerno razvit v debelini do največ 60 cm. Nekako 70 do 100 cm pod njim ga spreminja lokalno še en tanek sloj, ki ustreza sloju 2 v prečniku I. Razvoj slojev glavne skupine je bolj neenakomeren. Najmočnejše je razvit zgornji sloj te skupine, ki doseže tudi 80 cm. Pod njim je več tanjših slojev, ki se ponekod združijo ter ponovno cepijo na tanjše pole. Včasih zastopa celo skupino tudi samo en sloj, ki je sorazmerno debel.

Plasti apnenca vpadajo enakomerno pod kotom okrog 20°. Ob številnih dislokacijah so le malo premaknjene. Prečne porušitve pod vplivom tangencialnih sil se kažejo kot številni prelomi raznih smeri, fleksure, medplastovni premiki in večje dislokacije z medsebojno premaknitvijo obeh kril za največ nekaj desetin metrov.

Prva večja dislokacija loči jami Jadran IV in Jadran II. Apnenec je zdrobljen in milonitiziran. Porušeno cono apnenca opazujemo v srednjem delu vodne proge na prvem obzoru, kjer je bil del zdrobljenega apnenca odnesen, nastale kaverne pa je zapolnila zelenkastosiva glina

4. slika

**Zaporedje produktivnih liburnijskih plasti pri Vremskem Britofu**

Fig. 4

**Sequence of the coal bearing Liburnian strata in Vremski Britof**

PRIBLIŽNA DEBELINA HORIZONTA m	PETROGRAFSKI OPIS	F O S I L I		FACIES	PREMOGOVNI HORIZONTI	STRATIGRAFIJA
		MAKRO	MIKRO			
	SIVI IN TEMNOŠIVI APNENCI		FORAMINIFERA			
25-30	SIVI KRISTALASTI APNENCI, MESTOMA TEMNEJSI PASASTI		MILIOLIDAE PENEROPLIDAE ALVEOLINA			
25-30	TEMNOŠIVI APNENCI Z REDKIMI TANKIMI, TEHNIMI BITUMINOZNIMI PLASTMI	TANKOLUPI-NASTI POLŽI CERITHIUM	MILIOLIDAE (LOKALNO) CHARACEAE			
20-30	SIVI IN TEMNOŠIVI GOSTI APNENCI	POLŽI KORALE	MILIOLIDAE PENEROPLIDAE COSKINOLINA			
20-25	TEMNOŠIVI APNENCI, LOKALNO BITUM - NOZNI Z DROBNIJM VKLJUČKI PREMOGA	CERITHIUM STOMATOPSIS	MILIOLIDAE (LOKALNO)		5	
15-20	TEMNOŠIVI IN ČRNI BITUMINOZNI APNENCI Z VKLJUČKI PREMOGA	STOMATOPSIS CERITHIUM	LAGYNOPHORA		4.	
5-10	SIVI IN TEMNOŠIVI APNENCI	RUDISTAE OSTREA, ANOMA	MILIOLIDAE PENEROPLIDAE			
40-45	TEMNOŠIVI APNENCI, ZLASTI V SPODNJEM DELU OSSEKA BITUMINOZNI S TANKIMI SLOJI IN ŽILICAMI PREMOGA		MILIOLIDAE PENEROPLIDAE LAGYNOPHORA		3.	
~ 20	SIVI IN SIVORJAVI APNENCI	RUDISTAE OSTREA				
20	TEMNOŠIVI IN BITUMINOZNI APNENCI S TANKIMI SLOJI IN ŽILICAMI PREMOGA	STOMATOPSIS COSMINIA	CHARACEAE		2. ZGORNJI (ZAVRHEK)	
20	SIVKASTORJAVI GOSTI APNENCI		MILIOLIDAE			
20	TEMNI BITUMINOZNI APNENCI S SLOJI PREMOGA	STOMATOPSIS CYRENA	LAGYNOPHORA		1. SPODNI (BRTOF-ŠKOFLJE)	
50	SVETLI SIVORJAVI GOSTI APNENCI; IZJEMNO TANKE, TEMNOŠIVE PLASTI					
	SVETLI SIVORJAVI KRISTALASTI APNENCI	RUDISTAE				



morsko  
Marine



brakučno  
Brackish



sladkovodno  
Freshwater

z apnenčevimi prodniki ter s kosi lesa. Dislokacija poteka približno v smeri N–S ter je zahodno krilo premaknjeno za približno 50 m proti severu.

Drugo večjo dislokacijo je zadela nova raziskovalna proga na drugem obzoru na razdalji okrog 180 m od Eydamovega vpadnika proti vzhodu. Tudi tu je apnenec močno porušen, vezan z rumeno mastno glinou ter ima značaj kavernske breče. Premogov sloj, ki je bil lokalno debel tudi do 120 cm, se naglo stanjša ter tektonsko izklinja oziroma prehaja v zdrobljen apnenec, ki je premešan s temno premogovo maso.

V ostalih delih dostopne jame ni večjih dislokacij. Na lokalne porušene cone kažejo mestoma precej velike votline, zapolnjene z nanesenimi usedlinami.

Številni manjši prelomi potekajo v glavnem približno prečno dinarsko, vpad pa je povečini strm v jugovzhodno smer ali tudi navpičen. Izrazito dinarsko usmerjenih lokalnih prelomov skoraj ne najdemo.

Zanimiv je pojav lokalnih fleksur s premikom okrog 1 m. Ob njih so tangencialne sile povzročile nakopičenje premoga. Odebelitve potekajo povečini linearno ter so približno dinarsko ali prečno dinarsko usmerjene. V neposredni bližini pa se premogov sloj zopet stanjša ali celo izklini. Imamo torej opravka s tektonsko migracijo premoga na kratke razdalje. Pri tem se je premog močno porušil; je skrilav, poln tektonskih zrcal tako v sami substanci kakor ob stikih s prikameninom.

**4. Profil produktivnih plasti v Vremskem Britofu.** Po podatkih jame, vrtin in površinske geologije je bilo mogoče sestaviti geološki profil produktivnih plasti pri Vremskem Britofu, ki ga kaže 4. slika.

Kredno podlago gradi svetel kristalast apnenec, ki vsebuje rudiste, ponajveč majhne radiolite pa tudi kaprinide. Izjemno nastopajo tanki vložki apnenih breč z zelenkastim glinastoapnenim vezivom.

Navzgor prehaja kredni apnenec v svetel sivorjav, gost in drobno-kristalast apnenec brez makro- in mikrofavne. Te plasti so debele okrog 50 m ter pripadajo prav gotovo še morskemu razvoju, v zgornjem delu mogoče tudi že brakičnemu. Sledi s precej ostro mejo temen bituminozni apnenec, ki vsebuje premogove sloje najnižjega premogovnega horizonta. Sloji so po številu in debelini zelo nestalni. Debelina celotnega horizonta, ki ga karakterizira predvsem favna *Stomatopsis* sp. in flora *Lagynophora* sp., znaša okrog 20 m. To je prvi horizont, na katerega je vezan največji del premoga. Nad njim so najprej svetlejše, rjavkastosive plasti gostega apnenceva v debelini okrog 20 m, ki vsebuje poleg nedoločljivih polžev tudi miliolide. Nato se ponovi bituminozni apnenec s tankimi sloji ali tudi le z drobnimi žilicami in vložki premoga. Sledi siv in sivorjav kompakten apnenec, v katerem so poleg foraminifer lokalno tudi morske školjke. Debelina teh plasti je okrog 20 m. Više se pričenjajo okrog 50 m debeli skladi apnencev, ki vsebujejo v spodnjem delu ponovno tanjši horizont bituminoznega apnenceva s tankimi sloji premoga, povečini pa le z drobnimi žilicami. Plasti mestoma karakterizira obilna favna miliolid in peneroplid. Tudi više se ponovno lokalno pojavi bituminozni apnenec s premogastimi vključki. Morski razvoj tega foraminifernega horizonta je posebno po-

udarjen z morsko favno školjk. Ta plast sivega apnenca z avtohtonou morsko favno je v okolišu Vremskega Britofa debela okrog 10 m ter je edini jasen vodilni horizont v produktivnih plasteh, ki jih deli na dva dela.

Vertikalno razprostiranje morskih fosilov je navzgor ostro omejeno. Morski razvoj preide naglo, brez izrazitih vmesnih tvorb, v sladkovodnega z značilnimi fosili. Zastopa ga temen bituminozni apnenec s pogostimi drobnimi vključki in žilicami premoga. Ta horizont ni izrazit; prištevati mu moremo kakšnih 15 do 20 m v povprečku. Navzgor se pri skoraj neizprenjenem petrografskejem sestavu kamenine uveljavlja brakična makro- in mikrofavna. V vrtini 3/55 je v tem delu tudi temen bituminozni apnenec s tankimi vključki premoga. Nekako 40 do 45 m nad morskim horizontom nastopa okrog 20 do 30 m debela plast gostega sivega apnenca s peneroplidami in drugo mikrofavno, zlasti s koskinolinami ter sicer redko, najbrž brakično-morsko makrofavno. Sledi zopet povečini temnosiv apnenec, ki le v določenih plasteh vsebuje mikrofavno, med katero prevladujejo miliolide. Temen bituminozni apnenec z drobnimi vključki premoga se le še redko uveljavi. Hare najdemo le izjemno. Tudi makrofavna skoraj popolnoma pojenja ter jo zastopajo le še redki nedoločljivi tankolupinasti gastropodi. Nato postaja apnenec svetlejši. Kakšnih 100 m nad glavnim morskim horizontom nastopi okrog 30 m debela plast gostega sivega kristalastega apnenca z obilno mikrofavno. Miliolide še vedno prevladujejo, uveljavljajo pa se tudi peneroplidi in oblike, ki sličijo lagenidam. V posamičnih primerkih najdemo tudi že prve alveoline. Sledi debele plasti več ali manj temnosivega apnenca, ki vsebuje foraminifere s prevladujočimi miliolidami. Te se pojavljajo v večji množini le v posameznih tanjših plasteh. Plastovitost apnenca je postopno vedno slabša. Vedno bolj se uveljavljajo alveoline ter takoj tudi redki numuliti. Alveolinski horizont je slabo izražen. Sledi apnenec z numuliti in više fliš.

Ločimo torej pet premogovnih horizontov. Spodnji trije so pod vmesnim morskim horizontom, nad njim pa sta dva. Najnižji premogovni horizont je najbolj pomemben. V njem so se razvila glavna rudarska dela. Naslednjemu, drugemu premogovnemu horizontu pripada sloj, ki so ga odkopavali v Zavrhku.

Iz dosedanjih podatkov sledi, da obsega najnižji premogovni horizont območje jugovzhodno od spojnici Britof–Škoflje, to je sektor vrtin 1/55, 47 in 61. Vrtini 2/55 in 3/55 bi kazali, da premoga v spodnjem premogovnem horizontu ni več, vendar zaradi naglih sprememb v debelini slojev ti podatki ne morejo biti posebno zanesljivi. 110 cm debel sloj v vrtini 53 predvidoma pripada drugemu premogovnemu horizontu, ki se tudi v vrtini 3/55 javlja s tanjšim slojem. Sicer pa drugi premogovni horizont v območju Britofa ni pomemben.

**5. Fosili.** Fosilnih ostankov v vremskem premogišču nisem podrobno obdeloval. Več kot je ugotovil že *S t a c h e* (1899), bi mogla dati le najbolj podrobna paleontološka obdelava širokega ozemlja. To pa ni naloga tega dela, pri katerem so fosili le splošni indikator okolja, v katerem je premog nastajal.

**Flora.** V apneni prikamenini najdemo izredno bogato haracejsko floro, zlasti delce razvjanega steba v tipičnih oblikah, kot jih je upodobil Stache (1899). Med oogoniji so gladke okroglaste oblike, še več pa jih ima spiralno skulpturo na površini. Te različke sem po Stacheju označeval kot *Lagynophora* sp., ostale le kot *Characeae*. Po masovnem nastopanju sodeč so mogle biti te primitivne vodne rastline v znatni meri udeležene tudi v prvotnem premogovnem materialu.

**Favna.** Od številnih fosilov, ki jih navaja Stache (1899) za območje Tržaškega krasa, najdemo v jami le velike polže rodu *Stomatopsis* sp. Največ jih je med sloji premoga v svetlem sivorjavem zrnatem apnencu z množico laginofor ali v premogastem apnencu tik nad sloji premoga. Velike primerke najdemo celo v premogu. Opazovani različki pripadajo v glavnem vrsti *Stomatopsis cosinensis* St.

Poredkoma sem našel tudi fragmente gastropodov, ki kažejo na *Goniobasis* sp., poleg tega še drobne okroglaste polžke, močno vraščene v apnenec ter drobne tankolupinaste stolpičaste polže v nedoločljivih presekih. Vsa ta favna nastopa v neposredni zvezi s haracejami. Iz analognih plasti pri Kozini in Gaberku navaja Stache (1889) obilno sladkovodno in kopno favno.

V jedrih iz vrtin sem našel poleg tega še slabo ohranjene fragmente školjke, ki spominja na *Cirena* sp., in polža *Cosinia* sp.

Naštetji fosili so s haracejami značilni zlasti za spodnje tri premogovne horizonte pod morskim vložkom, ki deli liburnijsko stopnjo na dva dela. Morski horizont vsebuje sicer redke, vendar manjše *Radiolites* sp. ter številne preseke zavitih školjk družine *Caprinidae* z značilno strukturo lupine. Precej pogostna je manjša školjka *Anomia liburnica* St. z značilno skulpturirano lupino (Stache, 1889, tab. Va). Nejasni odtisi nepravilnih lupin školjk utegnejo pripadati školjkam *Ostrea* sp., ki jih navaja tudi Stache. Ostanke polžev *Cerithium* sp. dobimo v posameznih primerkih v zgornjem delu morskega horizonta pa tudi više.

Številno mikrofavno zastopajo prvenstveno miliolide, zlasti *Biloculina* sp., *Triloculina* sp. in *Quinqueloculina* sp. V območju premogovnih horizontov je miliolidna favna redka; v bližini premoga je sploh ni. Številnejša je v morskem horizontu pa tudi v brakičnih vključkih. Za te odseke je značilna predvsem *Rhapydionina liburnica* St. (*Peneroplis protocaenica* St.), (Stache, 1899, tab. Va); poleg tega še številne spiralne peneroplide, med njimi zlasti *Peneroplis cylindraceus* Lam. ter *Spirolina arietina* Batsch. V višjih plasteh se pojavljajo poleg miliolid že prve alveoline, poleg tega še različki, ki utegnejo pripasti lagenidam (*Textularia* sp.? ). Najdemo tudi posamične *Coskinolina* sp.

V vrtini 3/55 sem opazoval ostanke koral, katere navaja za protocen tudi Stache (1889).

V svetlem krednem apnencu so številni rudisti *Radiolites* sp., od mikrofavne pa predvsem miliolide ter redke peneroplide. Najdemo tudi nekaj zavitih rožastih ohišij *Globotruncana* sp.

**6. Facies premogonosnih plasti.** Po favni sklepamo na pretežno sladkovodni razvoj premogonosnih usedlin. Limničnega razvoja je tudi še del

plasti pod najnižjim premogovnim horizontom ter enako neposredno krovinske plasti. Pod drugim premogovnim horizontom je brakični vključek z miliolidami, ki ga opazujemo tako v jami kot v vrtinah. Plasti drugega premogovnega horizonta pa so zopet sladkovodne. Menjanje limničnega faciesa s pretežno slabimi morskimi vplivi je značilno tudi za ostali del liburnijskih plasti. Iznad mejnega morskega horizonta so bituminozni sladkovodni horizonti s premogom vedno šibkejši, istočasno pa je vedno več foraminiferne favne, ki kaže postopno vedno močnejše uveljavljanje morskega okolja.

Haracejska flora je značilna za plitve sladkovodne bazene. Po C a y e u x u (1935) žive hare v globini 10 do 15 m, prilagoditi pa se morejo tudi brakični vodi (S t a c h e , 1899).

Miliolide kot tudi peneroplide žive po Glaessnerju (1948) v 1–5 sežnjev globoki vodi s temperaturo 21–31° C. Miliolide se morejo prilagoditi tudi brakičnemu okolju.

**7. Petrografija kamenin v premogišču.** Primarna prikamenina premogovih slojev je izključno apnenec. Je v splošnem drobnozrnat in kompakten z ravnim ali školjkastim prelomom. Tekstura je povečini homogena, redko tudi skrilava. Barva je različna, od svetle sivorjave do črne. Temni bituminozni različki vsebujejo tudi vključke premoga ter prehajajo v premogast apnenec. V premogu so pogostni tanki vložki apnencata. Prehodi med apnencem in premogom navadno niso ostri.

Tudi neizrazita apnena breča je ponekod zastopana najčešče neposredno pod premogom. Kamenina je izključno apnena. Do nekaj centimetrov velika zrna z nejasnimi konturami so tesno vezana z apnenim vezivom, ki se le po barvi razlikuje od drobcev.

Sapropelskih apnencev ni v vremskem okolišu.

Drugotne hribine, kot različki gline, peska in proda, so mehansko transportiran material s površine v votline v plasteh apnencata. Izvor kremenovega peska moremo iskati v glavnem v flišnih peščenjakih, zelenih glin pa v flišnih laporjih.

Pod mikroskopom vidimo, da je struktura apnanca homogena peltska, le redko tudi nejasna zrnata psamitska ali celo brečasta. Detritičnih primesi kamenina ne vsebuje pač pa lokalno številne organogene vključke, zlasti ostanke haracej, ki so ponekod nakopičeni v veliki množini. Mikro- in kriptokristalasta kamenina se ne menja tudi neposredno ob premogu. V premogastem apnencu pa je premogova substanco razdeljena v izredno drobnih pasovih in vključkih. Organska substanca, ki je dala premog, je morala biti sedimentirana istočasno. Apnenec je potem takem najbrž biokemični produkt, v prvi vrsti posredna posledica asimilacije vodnih fitogenih organizmov. Pri tem izpada karbonat često v obliki apnenega blata, ki prekriva in vključuje rastlinske fragmente. Haraceje direktno vežejo kalcijev karbonat oziroma se z njim inkrustirajo ter se morfološko ohranijo. C a y e u x (1935) navaja, da je bilo ugotovljeno 0,61 g kalcijevega karbonata na eno rastlino, to je nekako 75 %. Apnenec je kvečjemu nekoliko prekristaliziran, pri čemer se njegova homogena tekstura ni izpremenila.

Neizrazite breče brez ostrih meja med zrni in vezivom smatramo po Niggliju (1952) za intrafacielne, genetsko vezane na plitvo lakustralno okolje. Nastale so zaradi mehanskih vplivov nemirnih voda v sedimentacijskem bazenu na usedlo apneno maso. Brečaste kamenine vsebujejo zlasti fitogene organske ostanke.

Foraminiferni apnenci so tipični organopelitsamiti s psevdoooplito, oziroma brečasto strukturo (Niggli, 1952).

**8. Zaključki o nastanku premogišča.** Iz favnističnih in petrografskeih značilnosti usedlin sledi, da se je zgornjekredna regresija razvila do obširnega poplitvenja morskega sedimentacijskega območja. Postopno se je tu in tam uveljavil občasen limnični razvoj. Sklepamo na sorazmerno obširno obalno območje z močnimi dotoki sladkih voda. Sedimentacija je bila pretežno zvezna. V relativno plitvejših fazah je prišlo do nastanka psevdobreč ter najbrž tudi intenzivnejšega odlaganja rastlinskega materiala kot izhodne premogove substance. Terestričnega razvoja ni bilo. Občasne morske ingresije se kažejo v udeležbi brakične in morske favne; v teh vmesnih stadijih stopa nastajanje premoga v ozadje ter se v naslednji lakustralni fazi zopet obnovi. Prehod razvojev je bil dokaj hiter. Značaj sedimentacijskega bazena je zato lagunarno-lakustralen. V skladu s tem je premogišče prehodnega paralično-limničnega tipa.

Nastanek premoga je vezan le na lakustralno okolje. Premogovi sloji leže v različnih nivojih v obliki več ali manj izrazitih leč. Nakopičenje organske substance je bila posledica lokalno ugodnih pogojev, ki so dopustili občasno, prostorsko omejeno prevladovanje organske fitogene sedimentacije nad anorganskim. Med temi lokalnimi vzroki pridejo v poštev primerna globina in kakovost vodā poleg še drugih. Rastlinski material se je nakopičil v okolju, kjer se je istočasno sedimentiral izključno drobnozrnat apnenec, to je v sorazmerno globljih vodnih bazenih. Udeležba avtohtone kopne flore je zato izključena. Glavni del materiala premogove substance je moral potem takem pri avtohtonih slojih pripadati vodnemu rastlinstvu, najbrž v prvi vrsti haracejam. Po Cayeuxu (1935) so na dnu nekaterih recentnih jezer haraceje močno nakopičene. Gotovo so bile razen haracej udeležene še druge vodne rastline, n. pr. modre alge in podobno.

Odsotnost sapropelskih apnencov kaže, da v premogišču pogoji za nastanek bitumenskih komponent iz nakopičenega rastlinskega materiala niso bili ugodni.

Lakustralno sedimentacijo je z začetkom terciarja postopoma nadomestila brakična in nato morska; vzporedno s tem so tudi prenehali pogoji za usedanje organskega materiala.

#### OSTALI POJAVI PREMOGA NA PRIMORSKEM KRASU

Klasično ozemlje za študij razvoja vmesnih plasti med kredo in morskim eocenom leži med Bazovico, Kozino, Rodikom in Britofom. Geološke razmere v tem ozemlju so enake kot v Vremskem Britofu. O podrobni geološki zgradbi liburnijske stopnje na tem ozemlju je v litera-

turi le malo podatkov. Spoljarič (1904) podaja profil 250 m globokega raziskovalnega jaška med Bazovico in Lipico. Skupna debelina plasti, ki jih je zajel jašek ter preko 600 m dolga raziskovalna proga z dna jaška, znaša okrog 435 m.

V letu 1956 sem podrobno geološko obdelal celotno navedeno ozemlje med tržaško in reško sinklinalo. Ugotovljene razmere se v celoti skladajo z ugotovitvami za okoliš Vremskega Britofa. Pri Kozini znaša debelina liburnika okrog 120 m, pri Lipici pa celo okrog 400 m. Vmesni morski horizont je povsod zvezen in izrazit; morske vložke opazujemo še pod njim. Premog je vezan na več bituminoznih sladkovodnih horizontov. V okolici Lipice je več tanjših slojev premoga. Z vrtino smo ugotovili najdebelejši sloj 0,8 m, poleg nekaj tanjših. Z drugo vrtino smo zadeli celo 1,8 m debel sloj premoga, katerega avtohtonost pa ni zanesljiva. Tektonsko dokaj porušene plasti vpadajo zmerno proti jugu. Neugoden pa je močno skrašen votlinast teren.

Debelina plasti liburnijske stopnje postaja navzven od tega ozemlja vedno manjša, tako ob severnem robu tržaške sinklinale kot na obeh straneh reške sinklinale, na račun višjih morskih sedimentov z milioljami ter alveolinami oziroma fliša. Nekje južno od Kozine mora biti mejna cona območij zvezne ter prekinjene sedimentacije, o čemer pa danes še ni zadostnih geoloških podatkov.

Po različnih virih, zlasti po Spoljariču (1904), navedem za Primorski Kras še nekaj podatkov o premogu:

Bazovica: V 25 m globokem jašku sta bila dva sloja premoga, debela 15 in 20 cm.

Lipica: Raziskovalni jašek iz leta 1900, globok 24,5 m, je pokazal med 5 in 15 m sloje ter žile premoga naslednjih debelin: 2, 5, 15, 20, 5, 5, 66–90, 30–40 cm. Najdebelejši sloj je dosegel tudi preko 100 cm. Odkopavali so ga najbrž že za časa Francozov v začetku prejšnjega stoletja.

Okolica Kozine: Z vpadnikom in jaškom nekako 2,2 in 1,7 km vzhodno od Kozine so našli 45 cm debel premogov sloj.

Rodik: Med Kačičami in Rodikom so v letih 1936 in 1937 izvrtali 14 vrtin. Ohranjeni profili večine vrtin so pomanjkljivi. Le vrtine v okolici Kačič so pokazale nekaj premoga. Tanki premogovi sloji in žile pripadajo različnim premogovnim horizontom.

Tudi z nekaj sto metrov dolgo raziskovalno progo jugozahodno od Rodika so našli le 15–20 cm debel premogov sloj ter dve tanki žilici premoga. 2 km zahodno od železniške postaje Rodik je v 65 m dolgem vpadniku 20–55 cm debel sloj premoga. Herzog (1931) omenja tu dva vpadnika s 40–100 cm debelim slojem.

Okolica Matavuna: V bližini križišča cest Divača–Kozina in Trst–Vreme so z vpadniki ugotovili 2 premogova sloja, debela 60 in 15 cm.

Gaberk: Gaberk je kraška ravan vzhodno od Divače. V 20 m globokem jašku so našli 4 sloje, debele 15, 30, 5 in 5 cm. Iz jaška so smerno sledili 40–80 cm debel sloj.

Košana: Na nekaj mestih izdanajo največ 35 cm debeli sloji premoga.

**Kal in Neverke:** S kratkimi rovi so sledili dva sloja premoga z debelinama 20 in 50 cm.

Zbrani podatki potrjujejo, da nastopa premog v več različnih horizontih. Majhna je verjetnost, da v nekem določenem horizontu zavzema debelejši premogov sloj večjo površino, kjer bi bil ekonomsko pomemben. Največ upanja daje ozemlje med Lipico in Lokvo.

### STRATIGRAFIJA PRODUKTIVNIH PLASTI V OBMOČJU PRIMORSKEGA KRASA

V območju Primorskega kraša je bila sedimentacija iz mezozoika v kenozoik zvezna. V tej vmesni fazi prehaja kredna neritsko-litoralna sedimentacija v brakično lagunarno in sladkovodno estuarsko z vmesnimi kratkotrajnimi morskimi vplivi, nakar se preko brakične faze postopno vrača v terciarno morsko.

Morski horizont sredi liburnijskih plasti vsebuje avtohtonu morsko favno. Stache (1880, 1889) je imel rudiste za avtohtone, v novejšem času pa so nekateri geologi trdili, da so naneseni iz krednih plasti (Salopek, 1953, Rakovec, 1949).

Proti alohtonosti rudistov govoriti naslednje:

1. Morski horizont z rudisti moremo zasledovati zvezno povsod v liburnijskih plasteh Primorskega kraša.

2. Kamenina morskega horizonta je drobnozrnat apnenec. Relativno velika »zrna« rudistov sama, brez drugega nanesenega detritičnega materiala, niso mogla biti transportirana ter alohtonu sedimentirana v tem okolju.

3. Pri zvezni sedimentaciji med kredo in terciarom ni mogoča v ožjem okolišu istočasna sedimentacija ter odnašanje fragmentov ali celih rudistov.

4. Pod morskim horizontom opazujemo ponekod še tanke vložke z isto morsko favno (Lipica, Lokev).

5. Sicer redki opazovani rudisti so bili v pokončni legi z ozirom na smer plasti.

Stratigrafski položaj plasti v bazi paleogena je bil sporen. Povzemimo kratko še enkrat mnenja o tem:

Stache je prehodne plasti med kredo in terciarom izločil kot enoto zase. Spodnji paralični del je deloma že priševal daniju, zgoraj pa suessoniju. Terciar bi se torej pričenjal šele z glavnim haracejskim apnencem nad morskim horizontom, točneje pravzaprav šele z izrazitim morskim alveolinskim in numulitnim apnencem. Sicer pa je Stache menil, da meje med kenozoikom in mezozoikom ni primerno predstaviti z enostavno mejno črto, ampak s celo vmesno formacijo (1888).

D'Ambrösi (1931) je ločil Stachejev liburnik na kredo, spileko in eocen. Spileko bi ustrezal spodnjemu eocenu, višje plasti pa že luteciju. Istega mnenja je Meunier-Chalmas (Salopek, 1953),

ki pa je na podlagi fosilov prištel kozinske plasti montiju. Salopek (1953) in Rakovec (1949) nasprotujeta kredni starosti usedlin.

Po H a u g u (1920) je le malo sistemov, katerih omejitev bi povzročila tako velike razlike v mnenjih kot ravno paleogen. Glede spodnje meje paleogenega meni isti avtor, da sta danij in montij dve ločeni stopnji. Opazovati jih moremo na številnih mestih po svetu. Danijska favna vsebuje še mnogo senonskih oblik, med njimi so pogostni rudisti. Montij vsebuje še kakšen ostanek kredne favne, pač pa popolnoma izginejo rudisti. Včasih je prehod krede v paleogen povsem neobčuten ter zastopan z morskimi konkordančnimi plastmi. Tako navaja za Lombardijo C i t a (1953) zvezno sedimentacijo med kredo in eocenom brez posebnih izpremememb faciesa. Ločitev je možna le mikropaleontološko.

Razmere v Istri in Dalmaciji so po H a u g u analogne kot v Pirenejih, kjer morski razvoj tudi postopno prehaja v lagunarnega.

Po G i g n o u x u (1950) danes velja, da danij pripada kredi, terciar pa se pričenja z montijem, katerega tipični zastopniki so v pariškem bazenu in v Belgiji. Montij z landenijem (tanecij in sparnasij) in ipresom predstavlja spodnji eocen. Tudi S a c c o (1924) in D'A m b r o s i (1931) uporabljata samo eocen v širšem smislu; sem vključujeta tudi paleocen. Ves spodnji del eocena obsežeta s spilekom. V severni Italiji se pričenja terciar s spilekom, ki vsebuje že numulite in zahodnoevropskemu ipresu sorodno favno moluskov. Po H a u g u (1920) pa je paleocen splošno uporabljen za najnižji del paleocena.

Kljub splošno uporabljeni delitvi paleocena na eocen in oligocen ni nobenega razloga, da ne bi za spodnji del eocena, ki ga predstavljajo montij, tanecij in sparnasij, obdržali pojem paleocena.

Direktna primerjava paleocenskih kakor tudi danijskih plasti z različnih krajev severne hemisfere ni mogoča zaradi raznolikosti tedanje sedimentacije ter neštetih možnosti facialnih kombinacij. Splošna poteza je menjavanje paralicno-lagunarnih in litoralnih tvorb, sladkovodnih in kontinentalnih ter brakičnih z vmesnimi morskimi interkalacijami med obema imerzijama. Vzrok temu so bila orogenetska gibanja, ki so se v območju Thetisa pričela konec krede ter se zaradi lokalnih faktorjev od kraja do kraja različno odražala v razvoju. Zato je razvoj te prehodne dobe mezozoika v terciar v podrobnostih močno različen. Sedimenti so bili lokalno različno imenovani, n. pr. garumnj, aachenij, valdonij, nimfij, vitrolij, volvicij, itd. (S a c c o , 1924). Stratigrafsko horizontiranje je otežkočeno, ker prevladujoča lokalna sladkovodna favna za to v splošnem ni primerna.

Pri zvezni sedimentaciji med kredo in terciarom je na ozemlju Primorskega kraša zastopan celotni paleocen. Regresija se je potem takem pričela že v zgornji kredi. Avtohtonji rudisti v morskom horizontu postavljajo vse nižje plasti v izmeničnem sladkovodnem in brakičnem razvoju v najvišji oddelek krede. Debelina teh skladov znaša pri Vremskem Britofu okrog 170 m. Sladkovodno-brakične plasti z vključki premoga tuk nad morskim horizontom pričenjajo terciar. Pripadajo montiju, kot jih je horizontiral že M e u n i e r - C h a l m a s . Landeniju in ipresu pri-

padajo višje, pretežno brakično-morske plasti, ki prehajajo navzgor po stopno v morske sedimente lutecija. Podrobna razčlembja paleocena oziroma spodnjega eocena pa je še odprt vprašanje.

Za skupino plasti, ki torej stratigrafsko pripadajo različnim horizontom, pač pa so po značilnostih razvoja enota zase s skupnimi potezami, je vsekakor primereno posebno lokalno ime. Zato moremo obdržati stari naziv liburnijska stopnja v istem smislu kot ga je uporabljal Stache. Deliti pa jo moramo na spodnji, danijski in zgornji, paleocenski del. Menim pa, da ni primereno obdržati naziv »kozinske plasti« le za spodnji paleocenski del liburnika, kot je predlagal Stache. To bi pomenilo stratigrafski pojem le za en del liburnijske stopnje, v kateri sicer nastopajo petrografska in paleontološka enaka plasti v nekaj horizontih. Primerneje bi torej bilo z izrazom kozinske plasti ali še bolje kozinski facies označevati vse bituminozne apnene plasti s premogom ter favno stomatopsisov, kozinij in haracej ter še drugo sladkovodno in kopensko favno, ki so udeležene v liburniku.

Premogovni korizonti v Primorskem krasu pripadajo tako daniju kot paleocenu. Oba horizonta, ki jih ekspluatirajo v Vremskem Britofu, sta torej kredne starosti.

### Južna skupina

Južna skupina obsega pojave premoga v Istri. V nasprotju s severno skupino je premog vezan na terciarne plasti, ki leže diskordantno na kredni podlagi.

Premog ekspluatirajo le v premogišču Sečovlje v Slovenskem primorju ter v raških premogovnikih v jugovzhodnem delu Istre.

Sečoveljsko premogišče obsega manjšo kadunjo v jugozahodnem krilu tržaško-koprške paleogenske sinklinale, vzdolž bujske kredne antiklinale. Produktivne plasti so na površini skoraj v celoti erodirane oziroma prekrivane z aluvialnimi naplavinami rečice Dragonje. Zato jih moremo opazovati le v jami.

Prvo vrtino so v premogišču izvrtali leta 1935 ter našli nekaj tankih slojev premoga. Intenzivna raziskovalna dela so nato omogočila prvo produkcijo že v letu 1938. Po vojni potopljeni rudnik je bil leta 1953 osušen ter je še v fazi obnove in raziskav. Spomladis 1957. leta je v rudnik ponovno nenasno vdrla voda.

Rudnik leži neposredno ob morski obali ter je glavni izvozni jašek le 5 m nad povprečno morsko gladino.

#### 1. Splošne geološke razmere okolice Sečovelj

Apnenci severnega krila bujske kredne antiklinale pripadajo po D'Ambrosiju (1941) senonu in zgornjem turonu. Na njih so pogostni žepi boksita.

Aluvialno dolino rečice Dragonje gradi predvsem droben glinast in peščen material, nanesen s flišnega ozemlja.

Debelina aluvija doseže na ustju doline Dragonje po podatkih vrtin tudi do 100 m. Zasipanje doline je v zvezi z grezanjem zahodnoistrske obale v zadnjih geoloških obdobjih; po Meliku (1935) in Saccu (1924) šele nekako od diluvija dalje. Točen petrografski sestav globljih delov aluvija ni znan. V profilih italijanskih vrtin je označen kot prst, ilovica in tudi prod.

Na spodnjem delu krednega pobočja iznad sečoveljske doline najdemo denudacijske ostanke terciarnih usedlin, ki vpadajo pod dolinski aluvij.

Profil spodnjega dela diskordantnih terciarnih usedlin jugozahodno od Sečovelj je naslednji: Svetlosiv peščen apnenec na kredi vsebuje miliolide pa tudi alveoline in različne moluske. Više se menjavajo tanke plasti peščenega apnenca s plastmi svetlorjavega trdega apnenca z miliolidami. Lokalno nastopa tudi izredno trd drobnozrnat apnenec s školjkastim lomom brez favne. V svetlorjavem ploščastem peščenem apnencu pogosto najdemo kardije ter zelo številne ceritije, ponekod prav nad kredo tudi melanide. Sledi ponovno peščeni različki s številno favno moluskov, med njimi *Natica* sp. in *Perna* sp., z množico miliolid in alveolin ter z redkimi orbitoliti. Više se ponovi svetlorjav trd apnenec z miliclidami in alveolnimi ter vmesnimi plastmi svetlorjavega kompaktnega apnenca skoraj brez favne. Foraminifere in moluski so neenakomerno porazdeljeni, više je vedno več alveolin, orbitolitov ter tudi numulitov. Debelina ohranjenih plasti na površini doseže do 25 metrov.

V peščenem apnencu s kardiji in drugimi moluski sem našel tudi korale. Omenja jih tudi Stache (1899).

Terciarni sedimenti na pobočju bujske antiklinalce so torci pretežno razviti že v najnižjih horizontih kot miliolidni in alveolinski apnenci. Brakični in morski razvoj se torej uveljavlja več ali manj že neposredno na stiku s kredo. Le lokalno, zlasti bolj proti zahodu, opazujemo prav v najnižjih plasteh še sladkovodne oblike (*Goniobasis* sp., *Melania* sp.) in šele nekoliko više foraminifere. Proti jugovzhodu pa se ti horizonti postopoma tanjšajo ter sega numulitni horizont vedno bliže k kredni podlagi. V območju Kaštela se zato na prvi pogled vsiljuje domneva, da imamo tu vzdolžni tektonski kontakt numulitnega apnenca ob kredni podlagi. Isto je domneval tudi že Stache (1864). Vendar na neposrednem kontaktu ni znakov tektonike.

Jugozahodno od Sečovelj so plasti z numuliti in alveolinami v splošnem relativno više nad kredno podlogo, proti jugovzhodu pa se tej približujejo. Zato sklepam, da v tej smeri transgredirajo morske plasti preko spodnjih.

Transgresivno prekrivanje starejših paleogenskih plasti je znano tudi iz drugih delov Istre. Stache je našel južno od Pazina morske foraminiferne apnence na kredi (1864); isti pojav omenjajo še Petrascheck (1926/27), Salopek (1953) in Šikič (1952).

Stache (1871) je ob dolini Dragonje našel poleg ceritijev še trebušaste gastropode, katere je imel za *Ampullaria* sp. Domneval je, da je tu razvit nekoliko bolj brakični člen kozinskih plasti. Dopusčal pa je tudi, da so fosili morska *Natica* sp., vendar se je po analogiji z razmerami pri

Pazinu bolj nagibal k prvemu (1889). Pri tem pa je očvidno prezrl možnost, da sega morski razvoj preko starejših plasti.

Nad numulitnim apnencem sledi fliš, ki ga zastopajo predvsem laporaste plasti z vložki peščenjaka. Izrazitejši peščen horizont je v območju Sečovelj v spodnjem delu fliša. Med laporje se vključujejo tanke plasti peščenega apnanca. Numulitni in alveolinski apnenec izdanjata izpod fliša tudi v neposredni okolici Izole.

## 2. Vrtine

Med leti 1933 in 1943 so Italijani sistematsko preiskali okolico Sečovelj. Skupno so izvrtali 143 vrtin. Zajeli so ozemlje med Dragonjo na jugu ter črto Krkavče—Korte—Morgan—Ravne na severu.

Podatki vrtanja se niso v celoti ohranili. Profili 21 vrtin so neznani, za 18 vrtin, o katerih je ohranjen profil, ni znan položaj. Profili vrtin so premalo natančni, točneje so podane le debeline premoga ter vmesnih vložkov. O najbolj vzhodnih vrtinah v dolini Dragonje iz leta 1943 imamo le ustne podatke.

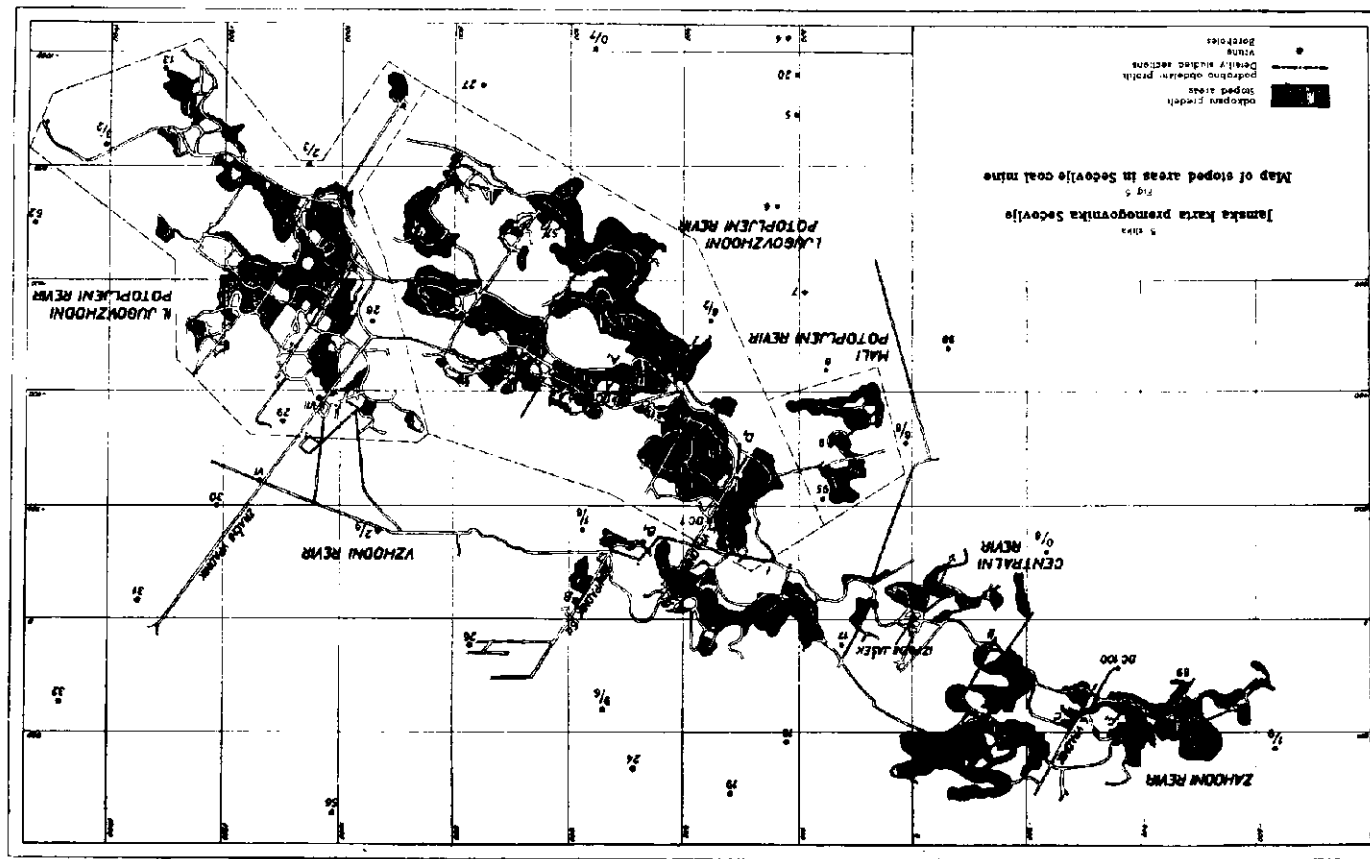
Vrtine so skoraj povsod pokazale več tankih slojev premoga neposredno nad kredo. Največ slojev je v vrtini 32, in sicer 20. Sledi vrtina 12 s 16 sloji ter vrtina 14 z 12 sloji. Dokaj vrtin je bilo tudi negativnih ali le z nepomembnimi sledovi premoga. V splošnem pojema debelina premoga ter število slojev v smeri proti dnu kadunje. Vrtine so bile v povprečku globoke nekaj sto metrov. Najgloblja je bila vrtina 55 s 586 m.

V letu 1955 smo izvrtali še dve vrtini južno in jugozahodno od Izole, da bi preiskali severno krilo sečoveljske sinklinale, ki ga nakazujejo izdanki foraminifernih apnencev pod flišem pri Izoli. Vrtini sta podali zanesljiv in podrobčen profil terciarnih plasti.

Pod flišem sta pokazali nekaj metrov debel glavkonitni horizont, ki tvori prehod fliša k foraminifernim apnencem. Pod glavkonitnim je numulitni horizont v debelini nekaj deset metrov. Svetlorjav kompakten apnenec vsebuje v glavnem numulite in litotamnije, nekaj alveolin in orbitolitov. Pod njim je alveolinski horizont, kjer prevladujejo alveoline poleg orbitolitov in niže zlasti miliolide. Med makrofaunu so pogostni morski moluski, zlasti ceritiji, kardiji, perne in natike. Navzdol udeležba alveolin postopoma pojenja ter prevladujejo miliolide, ki karakterizirajo do 10 m debel miliolidni horizont. Poleg miliolid vsebuje še brakično-morske moluske ter redko že tudi sladkovodne zastopnike. Najnižji del plasti je sladkovoden z značilno favno. Kredni apnenec, v katerega je segla zlasti vrtina II/55 dokaj globoko, je enakomeren in vsebuje posamezne rudiste.

## 3. Geološka struktura in tektonika sečoveljske kadunje po podatkih Jame in vrtin

Geološke razmere v jami so v kratkem naslednje. Neposredno na razčlenjeni podlagi belega krednega apnanca leže apnene plasti s sloji premoga, ki so povečini tanki in nestalni. Najdebelejši je običajno najnižji sloj, ki v dostopnem delu jame ne preseže 90 cm, v opuščenih revirjih pa



je dosegel tudi do 2 m. Višji sloji so tanjši. Najvišje žile premoga se jejo še nekako do višine preko 10 metrov nad kredno podlago. So tanke ter jalovinaste. Odkopavajo le najnižje sloje, po številu 2–5. Deli premoga, ki imajo zadostno debelino sloja za odkop, so porazdeljeni dokaj nepravilno. To velja predvsem za zahodni, centralni in vzhodni revir, medtem ko so v I. jugovzhodnem revirju bogatejše cone dinarsko usmerjene. Jamska karta podaja sliko odkopanih površin, čeprav v podrobnostih ni popolna (5. sl.).

Asimetrična sečoveljska kadunja ima približno dinarsko smer. Severno krilo je nekoliko bolj strmo, južno pa je položnejše s povprečnim naklonom okrog  $15^{\circ}$ . Os sinklinale ima smer Strunjan–Padena. Podatki vrtin nakazujejo izrazitejšo sinklinalo v obalnem delu, proti notranjosti pa se podlaga izravnava.

Struktturna karta, ki je bila izdelana po podatkih vrtin, kaže neenakomeren potek kredne podlage z obširnimi kadunjastimi vdolbinami, zlasti v globljem in položnejšem delu sinklinale. Poleg tega širokogreliefa je razčlenjenost kredne površine še drobnejša. Vzpetine, hrbiti in čeri se menjavajo z vdolbinami in jarki. Dimenzijski teh oblik so od nekaj deset metrov navzdol. Relief kredne podlage lepo ponazarja nekaj stenskih posnetkov iz jame Sečovlje v 6. sliki.

Relief je bil povzročen v glavnem z denudacijskim oblikovanjem nekdanje površine. Pri ponovni inundaciji senonske kopnine se je organska in anorganska sedimentacija pričela najprej v kadunjastih vdolbinah. Profil v 7. sliki nazorno kaže odvisnost števila slojev in celotne debeline premoga od reliefa kredne podlage. Najnižji sloji, ki so običajno tudi najdebelejši, so več ali manj omejeni le na manjše kadunje na kredni podlagi, višji, tanjši pa zavzemajo večje površine.

Jamske razmere v smerni proggi vzhodno od potopljenega revirja kaže 8. slika.

Tektonska aktivnost v jami se kaže z radialnimi prelomi in s tangencialnimi premiki.

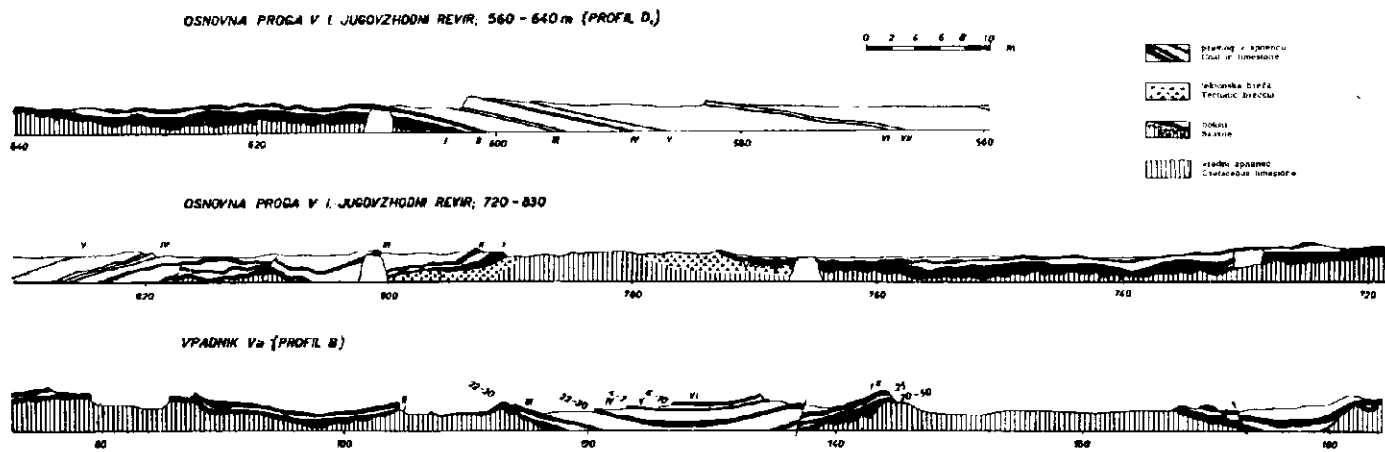
Številni lokalni prelomi so večidel vertikalni ali strmi. Prevladuje dinarska smer. Prémiki znašajo največ do 10 m. Pogreznjeno je običajno spodnje krilo glede na vpad plasti.

Pomembnejše so posledice delovanja tangencialnih sil. Breče v podlagi produktivnih plasti so izključno tektonski. Površina krede je gladka ter prevlečena s tanko plastjo skrilavega premoga. Na tej drsni ploskvi često opazujemo izrazite brazde, katerih smer poteka pravokotno na sinklinalno os. Drsne ploskve in zrcala so tudi v spodnjem delu produktivnih plasti pogostna.

Dimenzijski tangencialnega premika znašajo le nekaj metrov. Značilno je, da premog ni nikjer zelo zdrobljen, kar je popolnoma nasprotno kot v Vremskem Britofu. Tudi po tem moremo sklepati na majhno intenzivnost premikov. Prečne sile v sistemu apnenec–premog so se sprostile na kontaktu obeh v glavnem tik nad kredo, delno pa tudi ob višjih slojih, zlasti ob talinski meji.

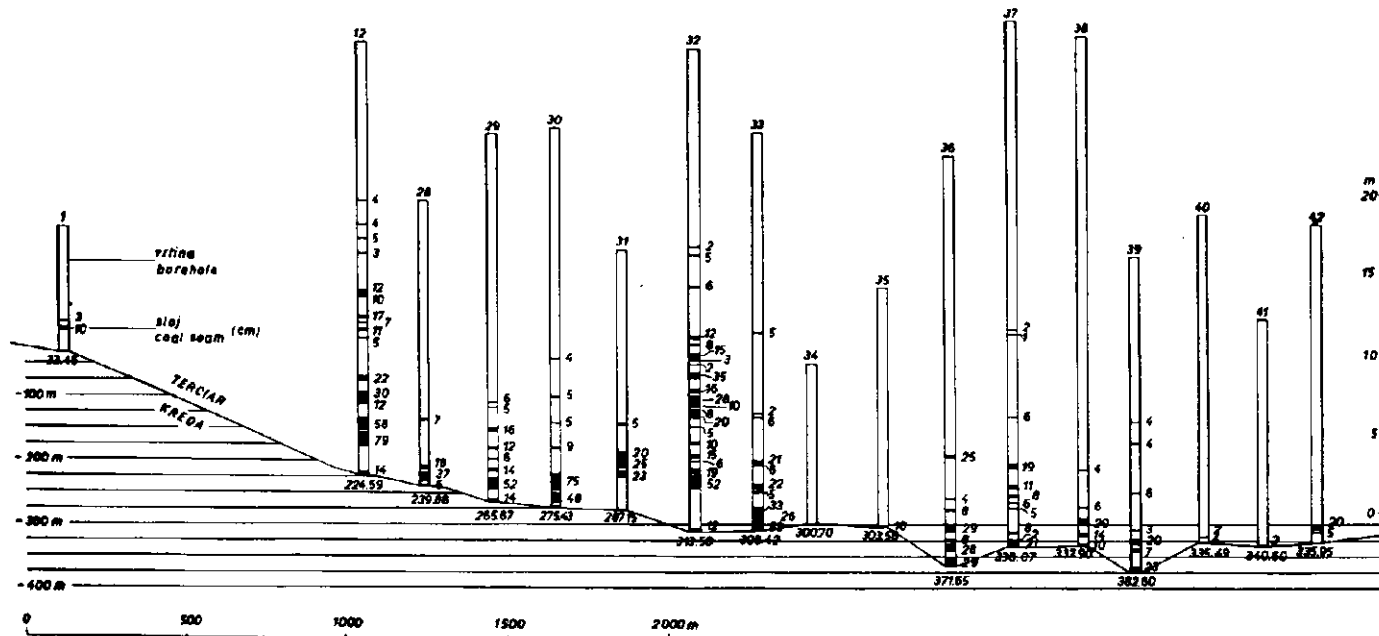
6. slika  
Značilni stenski posnetki iz premogovnika Sečovlje

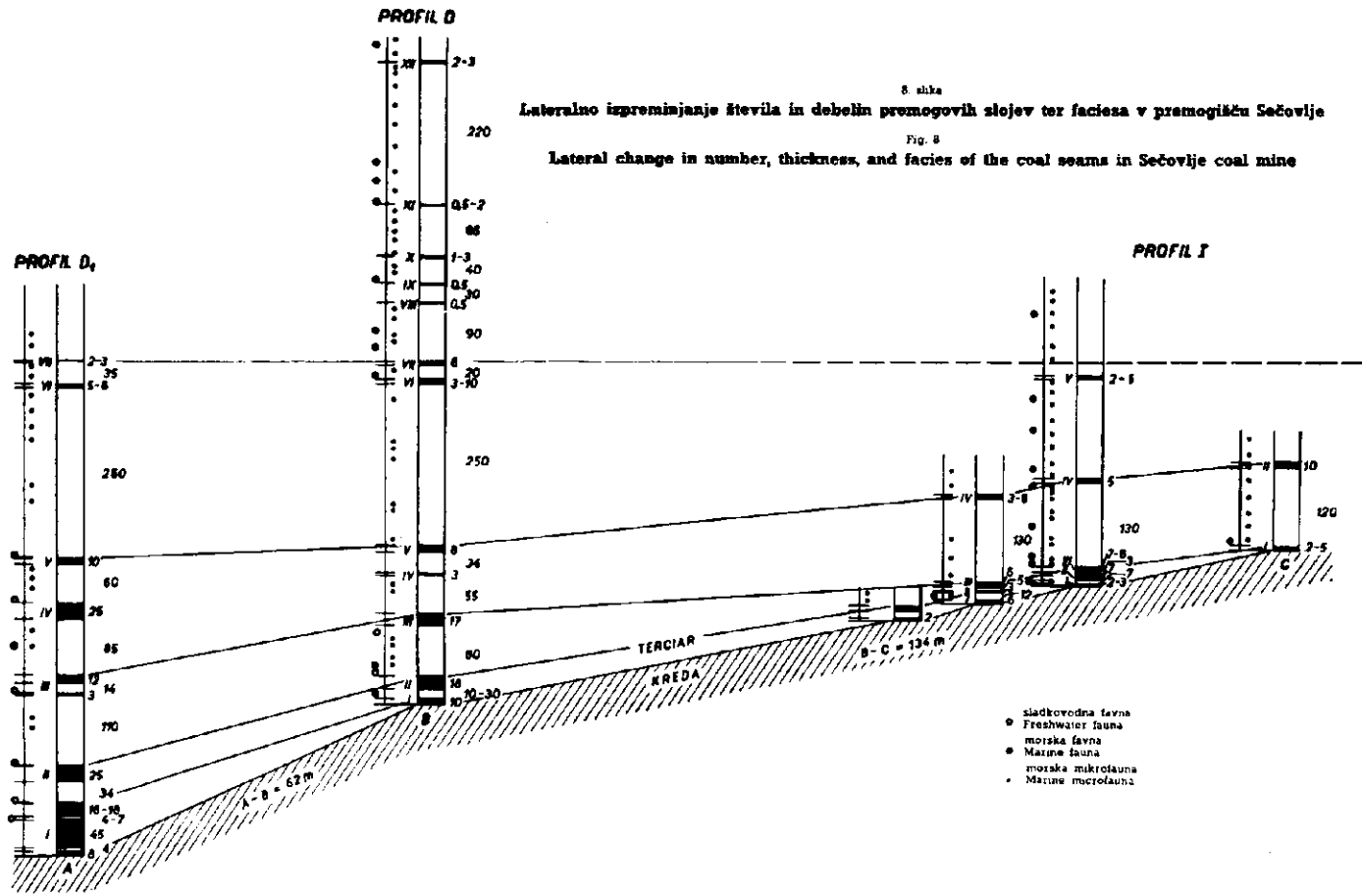
Fig. 6.  
Characteristic views of walls in Sečovlje coal mine



## 7. slika

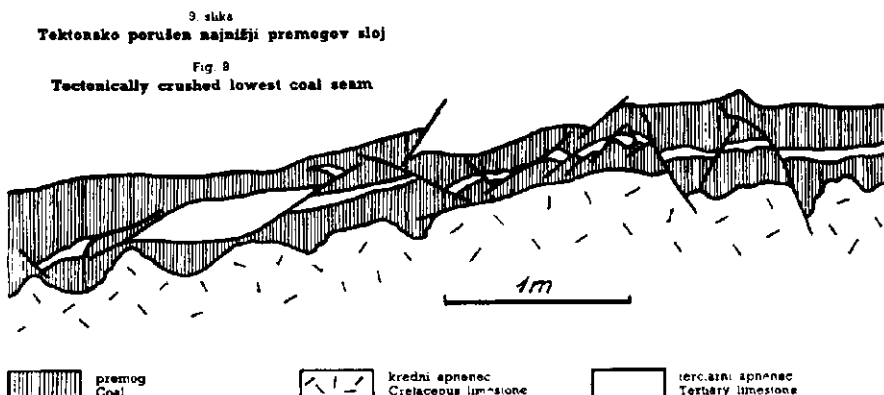
Fig. 7  
Section through Sečovlje coal beds





Premiki so najverjetneje posledica glavne alpidske orogeneze, ko je prišlo do kontrakcije tedaj že izoblikovane tržaško-koprsko sinklinale z vsemi odloženimi terciarnimi usedlinami. Tektoniske pojave v jami je mogoče tolmačiti z medplastovnimi premikanji ob upogibanju sinklinalno oblikovanih plasti. Tangencialni premiki so starejši od radialnih in posvebnih, kajti prečni prelomi sečejo drsne ploskve, kvečjemu so več ali manj sinhroni.

Posledica pritiska je tudi pojav migracije premoga; le-ta je s svojega prvotnega mesta lokalno potoval ter tu in tam zapolnil razpoke v kredni podlagi. Zaradi stranskih pritiskov so se premogovi sloji ponekod odebili, ponekod stanjali ali celo popolnoma reducirali. Isto velja za vmesne jalovice. Del tektonsko porušenega najnižjega premogovega sloja kaže 9. slika.



#### 4. Fosili

**Favna.** Sestav favne kaže poleg sladkovodnih tudi močno udeležbo brakično-morskih oblik, kar je pomemben nov moment v poznavanju razvoja najnižjih transgresivnih paleogenskih plasti na ozemlju severozahodne Istre.

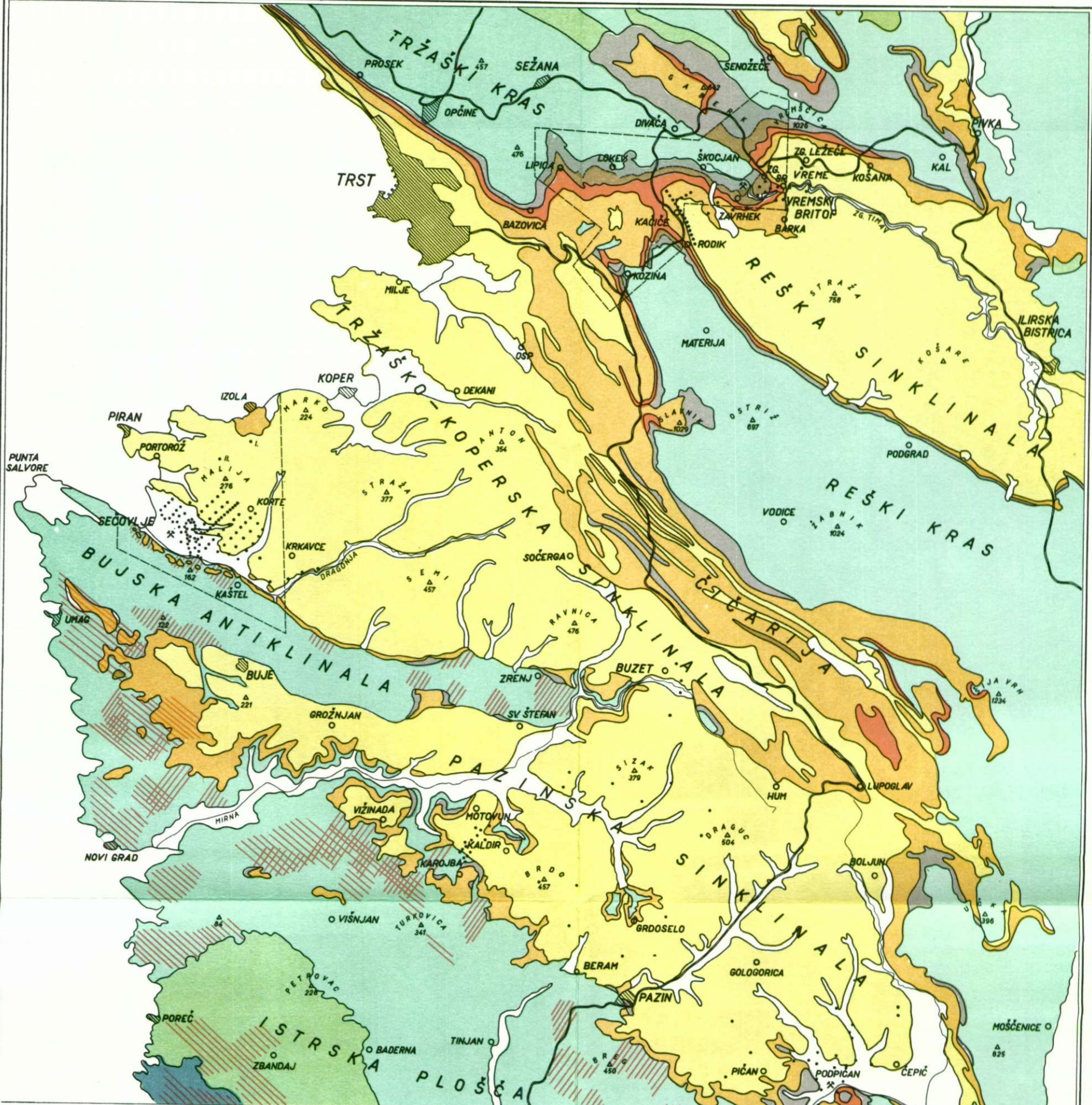
Največ favne sem nbral v jami sečoveljskega rudnika, nekaj pa v jedrih vrtin. V splošnem je slabo ohranjena ter močno zraščena z apnencem.

V okviru možnosti sem določil favno povečini samo generično, kar zadostuje za karakterizacijo faciesa pri nastajanju premogišča. Literatura, ki sem jo imel pri določevanju na razpolago, je označena v seznamu z zvezdico (\*). Tudi z mikrofavno se podrobneje nisem ukvarjal; navajam le družino oziroma genus.

Podajam pregled makrofavne spodnjega dela paleogenskih plasti brez podrobnejšega opisa posameznih oblik:

Morska favna:

Školjke: *Perna* sp., *Cytherea* sp., *Cardium* sp., *Pholadomia* sp. (?), *Psammobia* sp., *Thracia* sp. (?),



**Geološka karta Primorskega krasa in Istre**  
**Geologic map of the Slovenian karst region and Istra**

Po različnih virih; črtkano omejena območja kartiralo avtor  
After various sources; with dotted lines encountered areas mapped by author

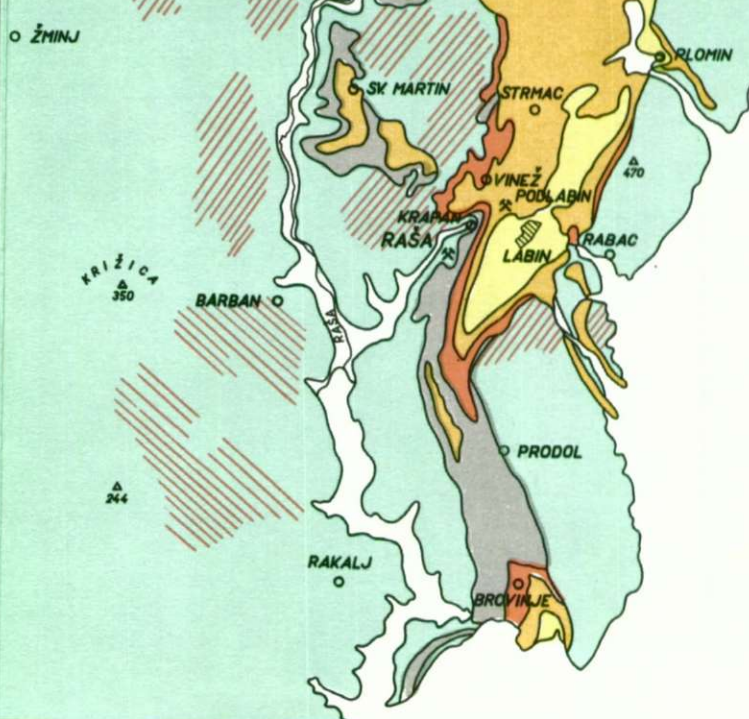
0 1 5 10 km

dolinska naplavina Valley Alluvium
pliocen Pliocene
fliš Flysch
alveolinski in numulitni apnenec Alveolina and Nummulite limestone
miliardni apnenec Milliardia limestone
liburnik v splošnem Liburnian in general
paleocenski del liburnika Paleocene part of Liburnian

danijski del liburnika Danian part of Liburnian
zgornjekredni apnenec Upper Cretaceous limestone
spodnjekredni apnenec Lower Cretaceous limestone
juraski apnenec Jurassic limestone
območja terra rosse in bauxita Terra rossa and bauxite areas

♂ obratujoci premogovniki  
Operating coal mines

\* vrtine  
Boreholes



Polži: *Cerithium* sp. (6 različnih primerkov), *Cerithium* cf. *subscalare* St., *Cerithium* cf. *melchioris* St., *Cerithium* aff. *flexicosta* St., *Natica* sp., *Turritella* sp.

Sladkovodna (in brakična) favna:

Školjke: *Cyrena* sp.

Polži: *Hydrobia* sp., *Bythinia* sp., *Auricula* sp., *Lymnaeus* sp., *Kalomastoma* cf. *tergestinum* St., *Valvata cosinensis* St., *Stomatopelta* sp., *Buliminus* sp. (?), *Helix* sp. (?), *Planorbis* sp. (?), *Melania* sp. (4 različni primerki), *Goniobasis characearum* St., *Melanopsis* cf. *jasonis* St.

Seznam makrofavne obsega 35 oblik, od katerih 7 pripada školjkam, 28 pa polžem. Sestavljena je iz morskih, brakičnih in sladkovodnih zastopnikov, ki pripadajo 23 rodovom. Med ceritiji sem ločil 10 vrst, od katerih sem le tri primerjal z oblikami, ki jih navaja Stache (1889). Ostali so glede vrste nedoločeni ter označeni s številkami. Isto velja za melanide.

Fosili redko nastopajo množično. Lokalno so precej nakopičeni ceritiji in melanije ter še bolj perne, ki tvorijo pravcate lumakele. Tu in tam so nakopičeni tudi morski fosili, zlasti velike školjke *Cytherea*.

V splošnem velja, da foraminifer v spodnjih delih premogonosnih plasti ni, više pa njihova udeležba postopoma narašča. Višek dosežejo v foraminifernih apnencih, ki vsebujejo v glavnem alveoline in numulite. Vendar pa najdemo foraminifere tudi v najnižjem delu produktivnih plasti. V prvi vrsti so zastopane *Miliolidae*, *Peneroplidae* in *Alveolinidae*. Med miliolidami opazujemo rodove: *Bioculina* sp., *Triloculina* sp., *Quinqueloculina* sp.

Med peneroplidami sta zastopani v glavnem: *Spirolina* sp., *Peneroplis* sp.

Nekatere spiralno zavite oblike sličijo rotalidam, vendar predstavljajo le nedorasle oblike spirolin. Po Cita (1953) je genus *Globorotalia* značilen za najnižji terciar v severovzhodni Italiji, ki se po tem loči od zgornje krede z globotrunkanami.

Miliolide in peneroplide nadomeščajo više alveoline, ki so v začetku še majhne ter se pojavljajo v gnezdih, više pa večje ter bolj raznolike. Mednje se postopoma vključujejo numuliti ter spočetka majhni, nato večji zastopniki orbitalitov, zlasti *Orbitolites conplanata*.

Seznam raznih vrst foraminifer, zlasti alveolin, podajajo: Stache (1889), Sacco (1924), D'Ambrisi (1931), Salopek (1953) in drugi.

V določenih plasteh nekatere foraminifere prevladujejo ter moremo sklade pod flišem razdeliti na horizonte, imenovane po prevladujoči foraminiferi. Delitev pa ni vedno idealno izvedljiva, ker se favna meša. To velja zlasti za miliolide in alveoline, ki nastopajo pogosto skupaj.

V plasteh, ki jih karakterizira sladkovodna favna, dobimo tudi ostrakode.

V severozahodni Istri imamo torej najnižji paleogen zastopan tudi v morskem razvoju s favno, ki je podobna favni klasičnih paleogenskih nahajališč zahodne Evrope (Haug, 1920). Isto velja tudi za brakično in sladkovodno favno. Sečoveljska favna je v primeri z brakično in morsko

favno tanecija in sparnasija zahodne Evrope zaenkrat siromašnejša. Značilna pa je pogostna *Perna* sp., ki je Haug ne navaja med vodilnimi morskimi oblikami za paleocen zahodne Evrope, pač pa je znana iz drugih krajev Istre. Stache je jo je najprej imel za kongerijo, pozneje pa jo je določil kot *Perna istrica* (1859, 1871). Openheim navaja *Perna postalensis* (1896). Tudi Salopek navaja številne pernide iz labinskega bazena (1953).

O morskih konhilijah iz ostale Istre je le malo podatkov. Omenja jih Stache pri Labinu in Pazinu (1864, 1872) in tudi pri Krapnju in Vižnadi, zelo verjetno tudi pri Prodolu (1871). Morske polže je našel tudi v sečoveljskem območju, kjer pa jih je imel za sladkovodne (1864, 1871).

Iz okolice Raše navajajo ceritije, zlasti *Cerithium giganteum*, Salopek (1953) ter italijanski avtorji.

Iz številnih Stachejevih razprav moremo sklepati, da je Stache v srednji Istri sicer tudi opazoval morsko-brakično favno, da pa ji je — vsekakor pod vplivom sladkovodnega razvoja produktivnih plasti pri Kozini in na Tržaškem krasu — posvečal pre malo pozornosti.

**Flora.** Fosilno floro najdemo v jami dokaj pogosto, najčešče na prehodu premoga v krovino. Povečini je le slabše ohranjena. Največ je različno oblikovanih listov, poleg še drugih nejasnih rastlinskih fragmentov.

Pod sloji so pogostri poogleneli rastlinski deli, ki po obliku ter legi nakazujejo korenine nekdanjih rastlin. Ostanki so vedno tanki in nežni ter segajo največ 20 do 30 cm globoko pod premog.

Zbrano floro sem poslal v obdelavo asistentu beograjske Univerze. Nikolai Pantić, ki je zaenkrat določil naslednje oblike:

*Cycadophyta* gen. et spec. indet., *Myrica lignitum* Ung., *Banksia longifolia* Ett., *Banksia* sp., *Laurus* sp., *Eucalyptus oceanica* Ung., *Andromeda protogaea* Ung., *Monocotyledones* div. gen. et spec. indet.

Kot značilnost te flore navaja Nikola Pantić, da je zastopano ozko kožasto listje »poltavskega« tipa, katerega recentne zastopnike najdemo predvsem v tropskih delih Afrike in Avstralije. Elementi zmernejšega, »turgajskega« tipa manjkajo. To kaže, da pripada sečoveljska flora tropski »poltavski« flori paleogen. Točnejša biostratigrafska primerjava ni mogoča, ker nimamo primerjalne paleogenske flore. Vendar je potrebno omeniti podobnost sečoveljske flore z rastlinskimi ostanki na planini Promini (gornji oligocen) in s floro Häringa. Znatna razlika med obema florama pa je, da v Sečovljah manjkata vrsti *Sequoia couttsiae* in *Sequoia sternbergii*, ki sta na Promini in v Häringu na prvem mestu.

Med kalcificirano floro najdemo dokaj pogosto členkaste *Dasydiaceae* (?) ter še druge z apnencem inkrustirane oblike, ki pripadajo nekim nizko organiziranim rastlinam. Pojavljajo se vedno z morsko favno.

Pomembna značilnost sečoveljskega okoliša je tudi popolna odsotnost haracej!

Ostali podatki o fosilni flori Istre niso številni. Stache omenja pri Pazinu floro *Dryandra* in *Banksia* (1889, 1864), poleg tega še *Dryan-*

*droides* in *Sapotacites* (1872) ter dalje poleg številnih haracej še *Typhaceae* ter halugo *Hypuridella* (1889). V raškem okolišu je našel še odtise listov (1889), severno od Buj pa navaja v plasleh s problematično *Ampullaria* sp. liste dikotiledon ter druge rastlinske ostanke (1871).

Sledove rastlinskih ostankov v laporjih s tankimi premogovnimi sloji omenja na teritoriju Učke in Čičarije Salopek (1953). Ostanke rodu *Cupressus* so našli pri Pazinu hrvaški geologi (Anić in drugi, 1952).

### 5. Facies premogonosnih plasti

Fosili določajo v glavnem dva faciesa: sladkovodnega in več ali manj morskega. Vmesni brakični facies zastopajo predvsem melanide in kardiji. Ceritiji so vedno v najožji zvezi z morskimi moluski kakor tudi alveolinami ter jih moramo imeti za morske oblike. Ostale morske oblike spremljajo vedno tudi foraminifere.

Medtem ko morske miliolide najbrž lahko žive tudi v brakičnem okolju, so peneroplide in druga mikrofavna morske. Po Glaessnerju (1948) brakične foraminifere iz predoligocena sploh niso znane. Nasprotno trdi Petrascheck (1926), da se morejo miliolide prilagoditi tudi brakični vodi. Glaessner navaja, da žive miliolide in peneroplide v do 5 sežnjev globoki, topli vodi ter da nekatere foraminifere (n. pr. *Quinqueloculina*) žive danes v vodi z zelo nizko saliniteto. Po Salopeku (1953) se tudi alveoline prilagode brakičnemu okolju.

Po fosilni vsebini in litološkem značaju kamenin ugotavljamo naslednje značilnosti premogišča:

1. Facies spodnjega dela plasti s premogom se menja. Pri tem obstaja medsebojna odvisnost z morfologijo podlage ter številom in debelino premogovih slojev.

2. V vdolbinah kredne podlage, za katere je značilno večje število premogovih slojev, prevladuje sladkovoden razvoj. Z uveljavljanjem morskega vpliva se manjša debelina premogovih slojev na račun vmesnih plasti. Oba razvoja se v vertikalni smeri tudi ozko menjavata. Prehod faciesov je večidel oster.

3. Tam, kjer je kredna podlaga izbočena, je razvoj morski že v najnižjih delih, premogovi sloji pa so tanki. Morsko-brakične plasti transgredirajo preko izpolnjenih vdolbin na kredni površini.

4. Facies premogovih slojev se menja tudi lateralno. To velja zlasti za najnižji sloj, ki zvezno sledi kredni podlagi tako v vdolbinah kot na izbočenih delih.

5. Debelina sladkovodnih plasti doseže največ nekaj nad deset metrov. Višji miliolidno-alveolinski horizont je debel v območju premogovnika Sečovlje nekako 10–45 m, numulitni horizont v območju vrtin pa 80–120 m.

6. Tako po favni kot flori moremo sklepati na toplo tropsko klimo med sedimentacijo premogovnih plasti, ki je na prehodu v terciar v splošnem prevladovala v mediteranskem območju.

## 6. Petrografia kamenin v premogišču

**Kredni apnenec in breča.** Kredni apnenec je bel, ponekod tudi sivkast ali rdečkast, kompakten in drobnozrnat. Plastovitosti ne kaže.

Pogosto je pod premogom groba apnena breča. O porazdelitvi breč na kredni površini dostopne jamske zgradbe niso dopuščale zanesljivih podatkov. Kjer je breča debelejša, so običajno premogovi sloji tanjši. Ponekod doseže breča debelino preko 2 m. Po zrnavosti se kamenina menja od drobne do grobe, v kateri dosežejo kosi nekaj decimetrov. Sestavlja jo pretežno kredni apnenec, lokalno tudi prihribina premogovih slojev. Vezivo je v glavnem premogasto, ponekod tudi boksit ter le redko bel zdrobljen apnenec.

Breča je nedvomno tektonskega nastanka. Ob premikanjih vzdolž kredne podlage so se vzpetine in nosovi na kredni površini porušili, zdrobili ter pomešali s premogom pa tudi s sivo boksitno preperino, ki je bila odložena v vdolbinah na apnencu. Kosi apnence so se pri kotaljenju tudi delno zaoblili.

**Prikamenina premogovih slojev.** Ločimo v glavnem dva različka apnence:

1. drobnozrnat trd in kompakten apnenec z ravnim ali školjkastim prelomom ter ostrimi robovi,
2. več ali manj zrnat trd in kompakten apnenec, zelo redko peščenjak z nepravilnim lomom.

Apnenec je rijav, siv in rumen ali tudi temen v odvisnosti od organske primesi. S premogom se prerašča zlasti tam, kjer so sloji debeli in nakopičeni; tak je navadno tudi mehkejši.

Drobnozrnat apnenec je povečini svetlejši. Vsebuje le sladkovodno favno, zlasti drobne gastropode. Gradi v glavnem najnižje plasti s premogom; tanjše plasti z enako favno ali brez nje se pojavljajo tudi v višjih delih nekaterih profilov.

Zrnati različki so značilni za brakično-morski razvoj višjih transgresivnih plasti. Tu in tam ga opazujemo v tankih plasteh tudi v spodnjem delu.

Med kameninami z organsko primesjo razločujemo makroskopsko:

1. premogast apnenec kot ozko preraščenje apnence z drobnimi žilicami in vključki premoga v debelini od nekaj milimetrov do najmanjših še vidnih dimenzij,
2. bituminczni apnenec z drobno porazdeljeno organsko primesjo, ki je makroskopsko ne vidimo, pač pa je apnenec temen,
3. sapropelski apnenec kot gost, rijav, pogosto skrilav apnenec; svež ima močan vonj po nafti in žvepljovem vodiku.

Redko nastopa tudi drobna, neizrazita breča, ki med zrni in vezivom ne kaže petrografske razlike. To je psevdobreča, katere nastanek sega v začetni stadij nastajanja apnanca.

Pod mikroskopom je drobnozrnat apnenec, pretežno enakomerno kripto- do mikrokristalast apnen pelit z redkimi bolj debelo kristalastimi vključki naknadno kristaliziranega kalcita.

Pogosto je apnena substanca okroglasto izoblikovana z nejasno psevdooolitno strukturo.

V peščenem apnencu neposredno nad nekaterimi sloji premoga vidimo pod mikroskopom tudi prvotna psamitska apnena zrna. Struktura različkov je klastična, vendar zaradi prekristalizacije že več ali manj zabrisana. Za klastično naravo primarne kamenine govori tudi prisotnost organske substance samo v mikroznatem vezivu med zrni.

Tudi v apnencih ob višjih slojih prevladuje pod mikroskopom neizrazita zrnata struktura, po kateri bi mogli sklepati na prvotni, diagenetsko izpremenjen drobnozrnat apneni peščenjak.

Zrna pa so često nejasno omejena, kosmičasta. Ti okroglasti kripto-kristalasti ali mikrokristalasti agregati bi mogli biti – vsaj ponekod – tudi konkrecionarne ali psevdooolitne oblike, nastale v glavnem zaradi določenih pogojev sedimentacije in poznejše kristalizacije. Po C a y e u x u (1935) in C a r o z z i j u (1953) bi ustrezali ti apnenci psevdooolitnim različkom (»calcaires grumeleux«). Sicer pa je prvotna struktura apnenih kamenin zaradi diagenetskih vplivov pogosto več ali manj zabrisana (N i g g l i, 1952).

Miliolidni in alveolinski apnenci kažejo pod mikroskopom drobnozrnato osnovo s številnimi foraminiferami in fragmenti moluskov. So tipični organogeni apneni pelit-psamiti.

Medtem ko karakterizira kripto- in mikrokristalaste apnene pelite pretežno sladkovodna favna, je za zrnate ali celo reliktne psamitske različke značilna brakično-morska favna. Premog nastopa v enih kakor v drugih.

Sladkovodni apnenci so običajno čisti, brez prmesi gline ali drugih mineralov. V splošnem so fitogene usedline, nastale biokemično zaradi življenskih procesov (fotosinteze) raznih vodnih organizmov. Vpliv organizmov je indirekten; rastline odvzemajo vodi ogljikov dioksid, zato karbonat izpade. V sladkovodnih usedlinah iz Sečovelj ne najdemo ostankov alg, še manj haracej ter tudi zelo redko favno. Videti je, kot da pri njihovem nastanku organski elementi niso bili udeleženi. Po C a r o z z i j u (1953) doslej ni povsem pojasnjen nastanek kriptokristalstih lakustralnih apnencev.

Anorganski nastanek teh apnencev je najbolj verjeten. Z lahko topljivih krednih apnencem so v kadunjaste dele kredne površine dotekale vode z obilo raztopljenega karbonata. Ta se je mogel usedati iz prenasičenih raztopin prvenstveno zaradi izhlapevanja, mogoče tudi ob pomoči fizioloških vplivov organizmov. O vplivu bioloških faktorjev pri tem ni dosti znanega. Po C a r o z z i j u se pri razkroju organske substance nastali amoniak veže z ogljikovo kislino, kar povzroča izpadanje kalcijevega karbonata. Z močno dejavnostjo bakterij pojasnimo tudi nastanek sulfida v boksitih in v sečoveljskem premogu; verjetno je bila podobna njihova vloga tudi pri sedimentaciji apnanca.

Enakomerno zrnati apnenci kažejo na mirno enakomerno sedimentacijo. Od časa do časa so se uveljavili pogoji, ugodni za kopiranje izhodnega premogovega materiala. Premog je povečini ostro omejen od

apnenih kamenin, ki so tik pod premogom često neizrazito brečaste in kažejo na relativno poplitvenje. Ob ponovni ostri izpreamembi sedimentacijskih razmer, najbrž ob nenadnih dotokih voda v kadunje, je bilo kopičenje organske substance prekinjeno. Mehansko transportirana drobna apnena zrna najdemo kot peščenc različke v neposrednem krovu nekaterih premogovih slojev. Proces usedanja karbonata se je nato ponovil do ponovnega nastopa fitogene sedimentacije.

Brakično-morska sedimentacija v območju premogovih slojev je litološko izražena z neenakomerno zrnatimi apnenci, ki so kemičnega ali biokemičnega nastanka, vsebujejo pa tudi pretransportirane apnene delce. Sedimentacija je zajela v primeri s povsem lokalnim začetnim limničnim stadijem širši predel ter je bila nemirnejša. Premogovi sloji niso vedno vezani na plitvo limnično okolje. Nastajali so tudi med relativno globljo brakično-morsko sedimentacijo. To kaže morska favna v jalovicah ter neposredni prikamenini premoga. Pod takšnimi sloji tudi ni premogove baze s koreninami.

Sedimentacija v bazenu je bila torej prehodna lakustralno-lagunarna, premogišče pa je limnično in paralično.

**Sapropelski apnenci.** Sveži sapropelski apnenci imajo značilen močan duh, so rjave barve, včasih skrilavi ter slični bituminoznim skrilavcem. Sorazmerno dosti jih je bilo v obeh vrtinah pri Izoli.

Pod mikroskopom vidimo organsko primes kot rjav pigment, s katerim je apnenec impregniran, ali pa je v njem šlirasto razporejen. Pri klastičnih strukturah je organska snov vezana v glavnem na osnovo med zrni. V sečoveljski jami smo opazovali tudi drobne kapljice črnorjave asfalske substance.

Osnovne kemične značilnosti bitumenske primesi smo določili na združenem vzorcu sapropelskega apnanca iz vrtine Izola II/55. S kislinsko obdelavo smo dobili 7 % kerogena. Posušen pri 100°C je črn, amorfen in trden ter se rad vzge. Sestav je naslednji:

	%	% (vpp)
vлага	2,0	
pcpcl	26,8	27,3 (vp)
ekstrakt v benzol-alkoholu (1 : 1)	17,0	23,9
C	48,3	66,1
H	5,0	6,8
N	1,05	1,45
O	9,88	12,16
Scel.	9,87	13,5
S v pepelu	5,25	
S piritno	0,05	

V posušenem ekstraktu in ostanku po ekstrakciji smo določili še žveplo:

	% S	% pepela
ekstrakt	8,2	nedoločeno
ostanek	10,4	3,6

Ekstrakcija vzorca v benzol-alkoholu (1 : 1) je dala izkoristek 0,4 %. Ekstrakt je vseboval 8,62 % žvepla ter 0,99 % dušika.

Destilacijski poizkus v Fischerjevi retorti (do 520° C) je pokazal:

katran	1,3 %
tiljna voda	0,9 %
plin in izgube	1,8 %

Razmerje C/H znaša približno 10, C/N pa 46, kar poleg visokega žvepla in dušika kaže na sapropelsko naravo in anaerobni razkroj prvotnega organskega materiala.

Po Carozziju (1953) so sapropelski apnenci limnične in morske usedline, v katerih je razkroj vegetalne kot animalne substance potekal ob odsotnosti kisika. Anaerobne razmere so predpogojo za tvorbo sapropela. Po Niggliju (1952) so nastali v žveplovodikovem okolju, kjer so potekali reduktivni procesi pod vplivom bakterij. Tudi Cayeux (1935) obravnavata sapropelske apnence kot posebno skupino kamenin, nastalih pri pogojih, kakršnih v današnjih morjih v popolnosti ni več.

V vrtini II/55 smo našli neposredno pod flišem še mehko bitumensko rjavorenino substanco, ki je v dolžini 1 do 2 m zapolnjevala drobne tektonске razpoke v glavkonitnem apnencu. Niže so bile razpoke zapolnjene s črnim asfaltom, ki je drobno impregniral več ali manj vse foraminiferne apnence do premoga. Vsebina asfalta navzdol nekoliko pojema. Nedvomno imamo opravka s pojavom migracije bitumenske substance iz matične kamenine, ki je premog.

Pojav opisanih sapropelskih in asfalskih produktov poleg premoga kaže, da so v spodnjem delu paleogenskih plasti obstojali posebni sedimentacijski pogoji, ki so vodili k nastanku bitumenskih substanc. Ti procesi se odražajo tudi v sestavi premoga. Zveza med pogoji nastanka premoga in asfalskih produktov v istem sedimentacijskem okolju je več ali manj nujna.

**Boksite.** V jami najdemo siv boksit. Neposredna lega na krednih apnencih ter ponekod zvezen prehod v premog oziroma apnenec priča, da je boksitna substanca prva transgresijska usedlina na denudirani kredni površini. S premogom je torej singenetska ter po pogojih sedimentacije z njim ozko povezana.

Boksite imajo oolitno ali grobo pizolitno strukturo. Vsebujejo precej neenakomerno porazdeljenega železovega sulfida, često v oblikah, ki nakazujejo podolgaste fitogene relikte. Zelenkasti kristali melanterita pa tudi sadre po kamenini so v jami pogosten pojav.

Na površini je boksit rjavorumen pa tudi rdečkast in vijoličast, z enako strukturo ter drobnimi vključki rjavega železovca. Siv boksit je na površini redek. Pripisovali so mu hidrotermalni nastanek (Petronio, 1927). Svoj čas so sive boksite v Istri izkorisčali za dobivanje galice.

Nekaj vzorcev boksite smo kemično in diferencialno-termično analizirali. V mineraloškem sestavu prevladuje böhmit.

Struktura in sestav boksite nakazujeta okolje pri njegovi sedimentaciji. Večji del boksitne substance je bil koncentriran v vdolbinah krednega reliefa v kopni fazi. Drugi del je bil odložen v vodi, bodisi neposredno ali pa presedimentiran. V skladu s tem opazujemo tudi nečiste zrnate in brečaste različke.

Cavinato (1947) ugotavlja za boksite izključno lakustralni facies, brez ozira na tip nahajališča oziroma matično substanco. Morski in drugačen razvoj pa je možen pri sekundarnih boksitnih ležiščih.

Železo, glinica in kremenica so bili transportirani najbrž tako v raztopini kot v koloidni obliki, mogoče tudi v suspenzijah. Pogoji raztopljanja in transporta hidroksidov in hidrosilikatov v različnem okolju so komplikirani. Te substance so se v Sečovljah usedale v glavnem v sladki vodi, kjer je prišlo do nastanka ooidne strukture boksite, tvorbe sulfida in odlaganja prvočnega premogovega materiala takorekoč istočasno.

Mikroskopski pregled nekaj vzorcev boksite iz jame pokaže izredno drobnozrnato rumenkasto substanco s povsem nejasno anizotropijo. V tej homogeni osnovi so številni okroglasti ooidi z enakomerno, le na periferiji nekoliko gostejšo strukturo. V njih so več ali manj koncentrično razporejeni obročasti vključki železovega sulfida. Ta je pretežno drobnozrnat, brez pravih kristalnih oblik in izredno lahko oksidira; sulfati na boksu so pogostni. Po teh znakih kakor tudi po rjavkasti barvi ter slabih refleksijih prištevam večji del sulfida kemično malo stabilni modifikaciji melnikovita. Poleg tega zastopa sulfid v manjši meri še pirit, mestoma v jasni kubični kristalni oblikih. Nastal je iz prvotnega melnikovita.

Okroglasti ooidi nimajo jedra. Običajna razlaga njihovega nastanka z usedanjem substance na osnovna jedra, suspendirana v nemirnem vodnem mediju, torej odpade. Cavinato (1947) in Carozzi (1953) navajata, da nastanek ooidov v boksitih še ni pojasnjen.

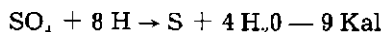
Ooidi so morali nastati že pri izločanju gelov iz hidrosolov oziroma tik po sedimentaciji v zgodnje epigenetski fazi. Nedvomno je nastajanje ooidov in železovega sulfida istočasno. Železove spojine so prešle pod določenimi pogoji delno v sulfidno obliko, preostale boksite komponente pa so se pri tem oblikovale v okroglaste, konkrecijske oblike, katerim se je podredila tudi razporeditev sulfidov.

Predpogoj za nastanek sulfidov je prisotnost žveplovega vodika. Ta nastaja v izključno anaerobnem okolju, ki je moralno potem takem prevladovati v boksitni usedlini med usedanjem.

Nastajanje sulfidov v subakvatskih usedlinah je običajno posledica delovanja bakterij. Različne vrste heterotrofnih bakterij razkrajajo organ-

sko substanco, ki vsebuje žveplo (beljakovine), pri čemer se tvori žveplov vodik. Večji pomen pa ima nastajanje žveplovega vodika pri bakterialni redukciji sulfatov.

Redukcija sulfatov je možna samo v anaerobnih razmerah. Vrši se lahko v morju kakor tudi v brakični ali sladki vodi; pri tem poteka endotermni proces po shemi (B a i e r , 1942):



Potreben vodik dajejo organske substance oziroma njeni razkrojeni produkti. Zato se razvije sulfid v največji meri tam, kjer je organska substanco nakopičena.

Žveplov vodik reagira z železovimi spojinami, ki so v vodi raztopljene, pri čemer se obarja železov hidrosulfid. Pri tem pridejo v poštov takso soli kot hidrosoli; od prvih v glavnem ferrosoli, ki so enako kot žveplov vodik nestabilne ob prisotnosti kisika, potreben pa je  $\text{pH} > 7$  ter primerna koncentracija žveplovega vodika. Pri  $\text{pH} < 7$  se sulfid obarja le pri izredno visokih koncentracijah (R u t t n e r , 1942). Ferrihidroksid je navadno v koloidni obliki kot hidrosol ob zaščitnem učinkovanju humusnih koloidov. Železo more biti transportirano tudi kot humat ali adsorbtivno vezano na humusne koloide. Koloidne oblike so obstojnejše kot prave raztopine, zato često barske vode tudi ob prisotnosti kisika vsebujejo še znatne količine železa.

Železov sulfid izpade najprej kot črn amorfni hidrofilni monosulfid, hidrotroilit ( $\text{FeS}\cdot\text{nH}_2\text{O}$ ). S tem, da izgubi vodo ter privzame žveplo, preide v bisulfidno obliko, melnikovit, ta pa dalje v pirit ali markazit. Singenetski nastanek teh treh različkov je odvisen od značaja okolja: v kislem se tvori rombski markazit, v nevtralnem ali slabo kislem kubični pirit in v bazičnem melnikovit (C a r o z z i , 1953).

Ker nastaja melnikovit iz prvotnega monosulfidnega gela le v alkalnem okolju, je moralo le-to potem takem prevladovati v bazenu med odlaganjem prvih premogovih usedlin. Epigenetsko pa je melnikovit prešel lokalno tudi v pirit, za kar predpostavlja M a c k o w s k y  $\text{pH} > 7$  (1943). Okolje je bilo torej alkalno.

Podobno kot pirit so mogli nastati še sulfidi nekaterih kovin, ki so prisotne v manjši množini (V, Ni, Mo, Cu).

Na zgornjem nivoju žveplovodikove cone se običajno razvijajo tudi aerobne žveplene bakterije, ki ga oksidirajo (N i g g l i , 1952). Pri tem nastaja prosto žveplo in žveplena kislina, ki reagira z raztopljenimi solmi ter tvori ponovno sulfate, prosto žveplo pa more preiti v sestav organske substance.

Z intenzivnim razvojem žveplovega vodika pri nastajanju premoga, pa tudi z direktnim delovanjem žvepljenih bakterij si moremo razlagati tudi visoko vsebnost piritnega ter zlasti organskega žvepla v sečoveljskem in sploh v kraških premogih.

## OSTALI POJAVI PREMOGA NA OZEMLJU SREDNJE ISTRE

Literaturni podatki o premogu v območju srednje Istre so maloštevilni.

*S t a c h e* (1864) poroča o bituminoznih plasteh pri Buzetu, ob jugozahodnem robu tržaško-koprske sinklinale ter v območju Kuka, kjer so bila tudi stara raziskovalna dela na premog. V dolini Mirne in pritokov v območju Sv. Štefana so bile več col debele žile premoga. Pri Grdoselu sta bila dva do 90 cm debela premogova sloja. *Š i k i č* navaja tam 6 vložkov premoga (1954).

Izdanke pri Pazinu ter raziskovalna dela pri Karojbi, Motovunu, v okolici Buzeta, Sluma ter Kuka omenja *P e t r a s c h e k* (1926/27).

Po *D'A m b r o s i j u* so bili v vrtinah pri Karojbi posamezni sloji debeli nekaj decimetrov (1931). Tudi *H e r z o g* omenja številne izdanke in pojave premoga v miliolidnih apnencih ozemlja Vižinada–Karojba–Kaldir, vendar raziskovalna dela niso dala nikjer pozitivnih rezultatov (1932).

Po *Š i k i č u* vsebujejo v območju celotne srednje Istre spodnje paleogenske usedline v morsko-brakičnem razvoju le tanke žile premoga (1952, 1954). Nekaj sledov premoga v morskih apnencih Čičarije navaja tudi *S a l o p e k* (1953). *A n i č* in drugi (1952) navajajo transgresivni položaj morskih sedimentov na zahodnem robu pazinske kadunje. Premog je bil ugotovljen z vrtinami le v osrednjih delih sinklinale.

Iz podatkov sledi, da sladkovodni facies paleocenskih plasti tudi v srednji Istri sorazmerno hitro nadomesti brakična in morska sedimentacija z le slabo razvitimi vložki in sloji premoga. Geološki pogoji nastopanja premoga na ozemlju srednje Istre so potemtakem v glavnem slični kot v območju Sečovelj.

## STRATIGRAFSKI POLOŽAJ PRODUKTIVNIH PLASTI V SEVEROZAHODNI ISTRI

Po *S t a c h e j u* (1889) so baza eocena glavni alveolinski apnenci. *D'A m b r o s i* (1931, 1942) jih uvršča v srednji lutecij, apnence z miliolidami in alveolinami v spodnji lutecij, numulitne apnence v srednji in zgornji lutecij, fliš v oversij in del priabona. Isto imata za list Labin *L i p p a r i n i* ter za list Gorica *M a r t i n i s*. *P e t r a s c h e k* (1926/27), *S c h u b e r t* (1912) in *R a k o v e c* (1949) menijo v glavnem isto. *S a l o p e k* (1953) uvršča miliolidne apnence k zgornjemu paleocenu. *A n i č* et al. (1952) prištevajo sladkovodne usedline pri Karojbi najvišjemu paleocenu.

Za sečoveljske produktivne plasti je torej veljalo, da spadajo nekako v prehod paleocena k eocenu. Ker pa je razvoj foraminifernih apnencev lahko pogojen facialno in zato ne predstavlja vedno določenega horizonta, ta zaključek ni bil zanesljiv.

Stratigrafski položaj plasti s premogom v Sečovljah moremo približno določiti tudi po debelini odloženih usedlin pod flišem, ki je v območju

Istre in Primorskega krasa na veliki površini razvit enakomerno v znatni debelini. Predpostavljamo, da je flišna sedimentacija na vsem ozemlju nastopila istočasno. Debeline posamičnih horizontov paleogenskih skladov pod flišem za različne lokalitete podaja 2. tabela.

Table 2

2. tabela

Debeline horizontov (m)	Sečovlje	Izola II/55	Vremski Britof	Rodik	Lipica	Karloba	Labinski bazen
numulitni							
apnenci	80—120	50	50—150	30	300	30—70	200
gl. alveolinski							
apnenci	20	35	100—300	400			
milolidni							
(+alveolinski apnenci)	10—25	10	200—250	100	100		50—100
produktivni						2—20	
(kozinski)	0—15	5	150—200	120	300		70—200
apnenci							
skupna							
debelina	110—180	100	500—900	650	700	32—90	320—500
povprečno	145	100	700	650	700	60	410

Primerjajmo debelino paleogenskih plasti med kredo in flišem za območje Vremskega Britofa, kjer je bila sedimentacija zvezna, ter za Sečovlje, kjer nas zanima starost najnižjih terciarnih usedlin, oziroma pričetek ponovne imerzije. Pri tem predpostavimo enako hitrost usedanja litološko sličnih usedlin. Debelina plasti pod flišem v Primorskem krasu znaša okrog 700 m, v območju Sečovlj pa le okrog 150 m, to je slabo četrtno debeline vseh plasti, ki so bile odložene v območju zvezne sedimentacije. Emerzijska faza v območju Sečovlj je trajala torej približno tri četrtnine časa med koncem krede in pričetkom flišne sedimentacije, ki je nastopila po D'Ambrosiju v zgornjem luteciju ali celo spodnjem oversiju (list Pazin). Pri tem predpostavimo pričetek emerzije ob koncu krede; po Salopeku (1953) utegne biti tudi višji.

Pričetek ponovne inundacije ozemlja severozahodne Istre bi potem takem ustrezal nekako prehodu paleocena v eocen, če ne celo že spodnjemu eocenu, kar se v splošnem ujema z dosedanjim mnenjem starejših avtorjev. Zaradi postopne transgresije morja pričetek sedimentacije ni bil povsod istočasen, kakor tudi ne nastop emerzije ob koncu krede.

Plasti s premogom v Sečovljah torej stratigrafsko ne ustrezajo produktivnim plastem Primorskega krasa. Le v najnižjem delu so v debelini do nekaj metrov razvite v faciesu, ki sliči kozinskemu.

#### IV. PREMOGI

Szadeczy - Kardoss je leta 1939 prvi karakteriziral eocensko-paleocenske premoge jadransko-donavskega ozemlja kot posebno skupino z naslednjimi značilnostmi:

1. visoka vsebnost žvepla;
2. izredno močno poenotena substanca;
3. visoka vsebnost kalcija in magnezija ter tudi žvepla v pepelu;
4. humulitno-sapropelitni značaj premoga, ki daje dosti katrana z zmerno vsebino fenolov (Beck, 1948).

Ta premogišča kažejo še naslednje posebnosti: nakopičenje prvotnega organskega materiala na skraseli podlagi, neenakomerni in nestalni premogovi sloji ter kot neposredna prihribina apnenec, včasih tudi glina, terra rossa in boksit.

Razen tega so obravnavani premogi nenormalni tudi v kemičnem oziru. Istočasno kažejo lastnosti visoke in nizke stopnje karbonifikacije ter vsebujejo zlasti obilo organsko vezanega žvepla. Tudi v tehnološkem pogledu se povsem značilno obnašajo (Lavrenčič, 1956). Zato je njihova uvrstitev problematična.

##### 1. Nastanek mikrolitotipov in maceralij ter odvisnost od okolja

Različni tipi ter vrste premoga so pogojeni v glavnem s posebnostmi regije, dobe in faciesa. Okolje v premogiščih je bilo nestalno tako lateralno kot časovno ter odvisno od najrazličnejših faktorjev. Ako smatramo petrografske komponente premoga kot facialne različke, potem je za njihovo izoblikovanje merodajna le prva faza nastajanja šotišča (diageneza), kajti vprvici geokemične faze (metamorfoze) so bili za celotni sloj enaki. Iz petrografskega sestava moremo obratno sklepati nazaj na facies pri nastajanju premogovega sloja.

1 mm debel pas premoga ustreza pri koeficientu usedanja 10 do 20 (Teichmüller, 1952) prvotni 1 do 2 cm debeli plasti nakopičenega rastlinskega materiala. Pri predpostavki, da je bilo za 100 m rjavega premoga potrebno okrog 1.000.000 let (Mackowsky, 1951), ustreza debelini 1 mm 10 let. V tej dobi so se mogli pogoji sedimentacije v premogišču občutno menjati ter smo upravičeni govoriti o diferencah faciesa.

Po razmerju H/O kakor tudi vsebnosti C sklepa Mackowsky (1951), da so v premogu neenako zrele komponente. Vzroke je iskati torej v začetni fazi zorenja premoga. Pogoji razkroja organske substance so glede na stopnjo aerobije različni. Predpostavljamo, da so različki z relativno manj kisika nastajali v bolj anaerobnem okolju kot različki z večjo vsebino kisika. Ker pa je temu vzrok v glavnem le višje ali nižje prekritje z vodo, moremo govoriti tudi o »mokrih« oziroma »suhih« pogojih nastanka. Vitrit ima sorazmerno malo kisika ter velja kot bolj »mokra« tvorba v primeri s fuzitom, ki vsebuje več kisika ter velja kot ekstremno »suga« tvorba. Tudi zrnat mikrinit velja kot različek »mokrega« okolja, ker ga najdemo večji del v vitrinitu sapropelskih premogov.

Po Mackowsky (1951, 1955) so torej vitrit in klarit ter durit z zrnatim mikrinitom izrazito anaerobni, fuzinit, semifuzinit, sklerotinit ter durit s kosmičastim mikrinitom izrazito aerobni. Vmesni položaj priпадa telinitu, deloma tudi semifuzinitu ter vmesnim stopnjam. Istočasno nastopanje različno zrelih maceralij v premogu tolmači z neenako hitrostjo razkroja prvotne organske substance, kar skuša spravljati v sklad z različno hitrostjo grezanja. Po petrografskeih karakteristikah sklepa na tako imenovani sedimentacijski ritem premogovega sloja. Komponente premoga z vitrinitom in finozrnatim mikrinitom govore za relativno močnejše prekritje z vodo, oziroma večjo hitrost grezanja sedimentacijskega bazena. Nasprotno je fuzinit znak zastoja grezanja. Vprašanje durita s kosmičastim mikrinitom pušča odprto. Vse različke smatra kot avtohtone. Alohtonost pripisuje le anorganskim primesem, ki naj bi bile indikator relativno močnejšega grezanja. Sedimentacijski ritem ponazorji Mackowsky s položno, neenakomerno nagnjeno črto (1955).

Po Stacheju so nastajali vsi duriti v humidnih pogojih, to je več ali manj v vodi. Semifuzinit in sklerotinit pa sta vezana na začetno oksidacijo rastlinskega materiala, to je na suho fazo (Freund, 1952).

Povsem aerobno naravo pripisuje fuzinitu tudi Teichmüllerjeva (1950), ne glede na način postanka. Zrnat kot kosmičast mikrinit ima kot tipična za močno anaerobno nevtralno ali alkalno okolje (Ertle, 1954). Loči telmatski facies s plitvo vodo, pollimnični in limnični facies, pri čemer se spreminja okolje od močno aerobnega, kislega do anaerobnega nevtralnega oziroma alkalnega.

Tudi po Kramasinnu (1950) je zrnat različek mikrinita tipičen za anaerobno okolje, kosmičasti mikrinit pa kaže na bolj aerobne pogoje nastanka. Strogo aerobijo ugotavlja za fuzinit, zlasti za tako imenovani razkrojni fuzinit. Loči več faciesov, katere spravlja v sklad z različno hitrostjo grezanja sedimentacijskega območja.

Szadeczy-Kardoss (1956) na svoj način klasificira močvirške tipe ter pogoje nastanka posameznih maceralij, kjer imajo zlasti vitrinitiske komponente izredno široko območje.

### Poizkus karakterizacije slojev s krivuljo slojnih profilov

Facialno dokaj definirane komponente so torej aerobni fuzitno-sklerotinitni različki ter anaerobni vitrinitno-mikrinitni različki. Od anorganskih komponent pridemo še singenetski pirit, deloma tudi siderit. Oba nastajata le pri popolni odsotnosti kisika ter sta zato značilna indikatorja anaerobnih pogojev.

Kot način grafičnega prikaza mikroestava premogovih slojev ter facialnih izprememb med sedimentacijo vpeljem krivuljo slojnega profila. Diagram oziroma krivulja ponazarja izpreminjanje pogojev pri nastajanju sloja v odvisnosti od okolja. Podlaga je podrobna mikroskopska izmera sloja.

Postopek je naslednji: Profil sloja izmerimo s pomočjo integracijske mizice na zveznih kosovnih preparatih po centimetrih. Iz podatkov rišemo diagram, pri večji natančnosti najprej v merilu 1 : 1, sicer 1 : 4 ali tudi 1 : 2. Komponente razporedim tako, da na eni strani označujejo aerobne, na drugi anaerobne razmere. Vmesni člen so organski kot anorganski klastični različki. Fuzinit, semifuzinit, sklerotinit in durit s kosmičastim mikrinitom združim pod aerobno skupino. Različki z vitrinitom so v smeri naraščanja primesi zrnatega mikrinita vedno bolj značilni za anaerobne razmere. Peščeni in glinasti vključki ter vmesne stopnje s fragmenti aerobnih komponent kažejo na razgibano vodo oziroma več ali manj plitvo okolje. Uvrstим jih kot vmesni člen v območje delne aerobije. V smeri anaerobije se veča globina bazena ter mirnost in enakomernost sedimentacije. Sem uvrstil še gline oziroma premogaste skrilavce ter sapropelske premoge (kenel, boghed). Na tej podlagi ločim tudi pretežno kopni facies, dalje plitvi ter subakvatski facies. Najširši interval pripada srednjemu, plitvemu faciesu, ki obseže največji del navadnega trakastega premoga.

Kopni razvoj bi mogli v skladu z oznakami Teichmüllerjeve (1950) in Ertleja (1954) poimenovati tudi strogo telmatski. Srednji, plitvi razvoj bi ustrezal telmatskemu, telmatsko-pollimničnemu, deloma tudi limničnemu faciesu Teichmüllerjeve oziroma Karmasina. Subakvatski razvoj je vezan na odprte vodne bazene, tako limnične kot morske, kjer nastajajo sapropelske usedline.

Različki suhega, kopnega faciesa so avtohton, če so nakopičeni v večji množini, fragmenti pa so vsekakor preneseni. Vitrinit je vedno strogo avtohton, ker je malo mogoče, da je prenenen ter alohton odložen. Heterogeni različki, kot duriti ali vmesne stopnje, vsebujejo vedno alohtone fragmentarne delce aerobnih različkov. Tudi eksinit je ali avtohton ali alohton. Območje heterogenih komponent je torej dokaj široko.

Durit s kosmičastim mikrinitom uvrstil zaenkrat v aerobno skupino. Duro-klariti kakor tudi jalovinski, pretežno glinasti različki so upoštevani na dveh mestih po strukturi in okolju, v katerem se nahajajo. Peščenjaki ali brečaste premogaste jalovine nakazujejo prej plitvo kot globoko okolje. Glinasta primes premogastega skrilavca pa se je sedimentirala v relativno mirni vodi. Take različke pogosto spremišljajo drobnozrnat singenetski pirit.

Splošen razpored različkov v odvisnosti od okolja pokaže 10. slika. Po tej razporeditvi vnašam tudi podatke mikroskopske izmere. Seveda je za razne petrografske in zrelostne tipe premoga potrebna smiselnata razdelitev različkov.

Izmera se nanaša le na en sam profil v premogovem sloju. Izmeriti moramo več profilov.

## 2. Sečoveljski premog

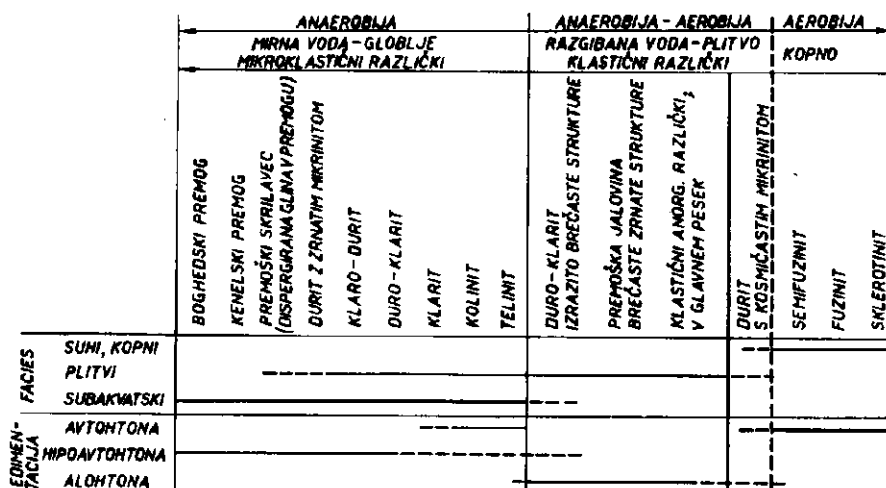
**Makroskopski opis.** Premog je neizrazito trakast. Redki trakovi svetlega premoga so tanki ter lečasti v debelini 1–3 mm ter največ 10 mm. Vsebuje mestoma precej razpršene anorganske primesi, ki pripada železovemu sulfidu, karbonatu in boksitu. Sulfid je porazdeljen v drobnih

podolgstih vključkih, pa tudi bogato razpršen v premogu. Karbonat nastopa kot drobni lečasti vključki pa tudi širši trakovi ali tanke premostaste jalovice. V najnižjem sloju so trakasti vključki boksitne substance, ki v obliki posameznih ooidov segajo ponekod precej visoko v premog. V razpokah najdemo tudi sadro.

Tekstura premoga je tanko plastovita in poudarjena z vložki anorganskih primesi.

10. slika  
Odvisnost petrografskeih različkov premoga od okolja

Fig. 10  
Relationship between petrographic coal constituents and facies



Barva čistega premoga je črna, raza temnorjava, barva prahu rjava. Svetli trakovi imajo močan sjaj. Ostala premogova substanca ima v splošnem precejšnji sjaj, ki pa se izpreminja v odvisnosti od anorganskih primesi. Prelom je nepravilen, pri svetlem premogu drobno paralelepipeden. Krojitev premog nima. Je povsod trd in kompakten, nekoliko porušen le ob lokalnih prelomih. Zlasti v spodnjem sloju opazujemo sledove plastične deformacije premoga ter vtiskanje v razpokano podlago.

**Petrografski sestav in facies.** Mikroskopsko sem preiskal tako zrnaste preparate v analizni granulaciji  $< 0,75$  mm, kakor tudi kose. Preiskoval sem pod mikroskopom Leitz KPM, največ z imerzijskim objektivom 8 mm,  $25 \times$ ,  $A = 0,65$ . Uporabljal sem glicerin, ki ima proti cedrovemu olju nekatere prednosti. Kvantitativno sem analiziral na Leitzovi integracijski mizici.

Petrografska je premog kombinacija klarita, vitrita, duroklarita in fuzita. Poslednja dva mikrolitotipa sta kvantitativno nepomembna. Pre-

vladujeta prva dva, zlasti klarit. Obilna so preraščanja z anorgansko primesjo.

Vitrit nastopa v tankih pasovih. Je pretežno enakomeren, redko čist. Vsebuje drobce eksinita, anorgansko primes ter izjemno tudi sklerotinit.

Klarit prevladuje v širokih pasovih z različno vsebino eksinita, ki pojema na eni strani do vitrita, na drugi pa lokalno naraste do sporita. Eksinit je zastopan s polenom in kutikulami, največji del pa predstavlja maceralija, ki ne ustreza običajnim različkom eksinita. Vsebuje nepomembne fragmente inertinita. Struktura klarita je trakasta, pogostoma tudi zrnata, mrežasta ali nepravilna.

Duro-klarit vključuje med eksinitom še redke fragmente fuzinita in semifuzinita. Struktura je trakasta pa tudi brečasta. Najdemo ga le v bližini fuzita.

Fuzit je zelo redek ter nastopa v premogu v tankih lečah. Sestavlja ga večidel fuzinit, delno tudi semifuzinit.

Mineralna preraščanja s karbonatom, boksitom in piritom so pogostna zlasti v spodnjih slojih. Preraščanja variirajo od drobnih impregnacij do grobih vključkov. Struktura je trakasta, zrnata ali mrežasta. Pogosto prchaja klarit postopoma v jalovinaste različke.

Vitrinit nastopa pretežno kot enakomeren homogen kolinit. Telinit je redek ter je prvotna struktura le slabo nakazana.

Maceralija, ki zastopa eksinit, nastopa v trakastem klaritu v obliki drobnih podolgastih ali redko večjih lečastih vključkov. Zapolnjuje tudi razpoke v vitrinitu. Je sivorjava z rjavkastorumenenkastimi notranjimi refleksi, sorazmerno mehka, brez reliefs in strukture ter sliči rezinitu. Različek je ponekod močno nakopičen ter tvori šlirasto osnovo s fragmenti vitrinita. Struktura često kaže na plastično oblikovanje substance. V benzol-alkoholu (1 : 1) se topi. Po kemičnem sestavu se dobro ujema z bitumenom sapropelskih apnencev (12. tab.).

Maceralije ne moremo uvrstiti k nobeni od doslej definiranih komponent eksinita. Lastne oblike, ki bi dopuščale sklep na določeno botanično pripadnost, nima. Razen na primarnem nastopa tudi na sekundarnem mestu, kjer se po obliki prilagodi razpoložljivemu prostoru. Ker je bistvena komponenta premogove substance, jo je treba uvrstiti med petrografske sestavine kot nov različek.

Novo maceralijo poimenujem bituminit ter jo uvrstim pod splošni pojem eksinita, poleg sporinita, alginita, kutinita in rezinita. Višoke vsebnosti bitumena, ki ga ekstrahiramo iz sečoveljskega premoga, moremo praktično vezati na to komponento.

Bituminit je produkt posebnih pretvorbenih procesov v premogišču. Zorenje premoga potemtakem ni bilo samo proces karbonifikacije, pač pa tudi pretvorb, imenovanih bituminiranje. Rezultat teh procesov je nastanek substanc z naravo bitumenskih ogljikovih vodikov. Ker so v premogu pod enakimi pogoji pritiska in temperature nastale različne komponente, sklepamo v glavnem na vzročno zvezo z izhodnim organskim materialom.

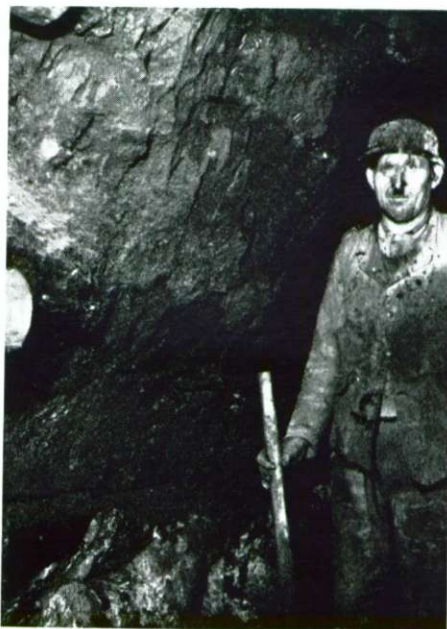
I. TABLA — PLATE I.

15. slika

Vremski Britof — Zgornji sloj glavne skupine; premog je zdrobljen, brez plastovitosti.

Fig. 15.

Vremski Britof — The upper seam of the main group; the coal is crushed, without stratification.

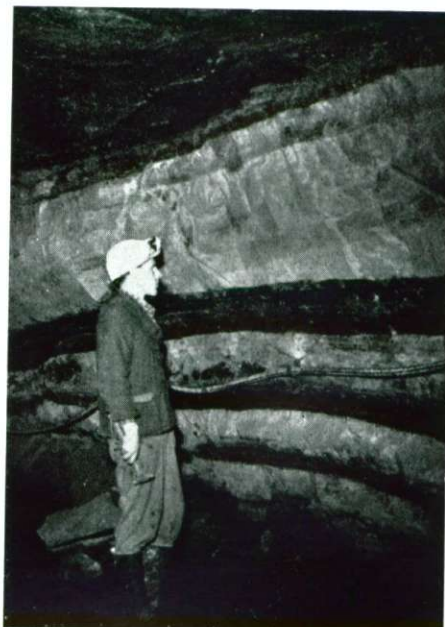


16. slika

Sečovlje — Najnižji del produktivnih apnenih plasti s tankimi sloji premoga.

Fig. 16.

Sečovlje — The lowest part of the coalbearing limestone beds with some thin coal seams.



II. TABLA — PLATE II.

17. slika

Sečovlje — Relief kredne podlage najnižjega premogovega sloja.

Fig. 17.

Sečovlje — Cretaceous eroded surface under the lowest coal seam.



18. slika

Sečovlje — Profil D. Številne alveoline in morski moluski nad 12 slojem premoga.

Fig. 18.

Sečovlje — Section D. Numerous Alveolinae and marine Molusca above the 12th coal seam.

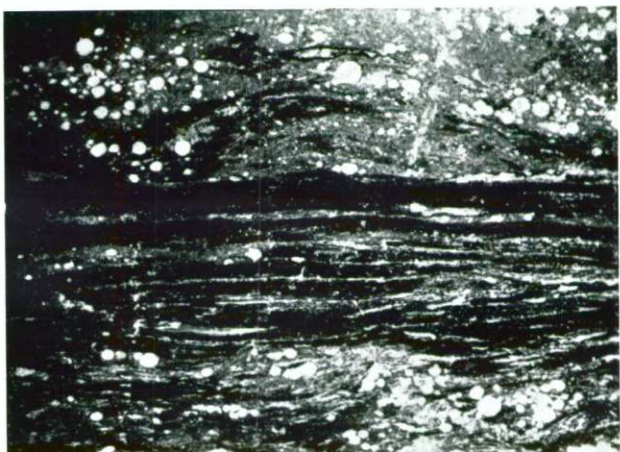


19. slika

Sečovlje — Pov. 4,5 X. Ooidni boksit in trakovi premoga.

Fig. 19.

Sečovlje —  $\times 4,5$ . Bauxite oöides in banded coal.



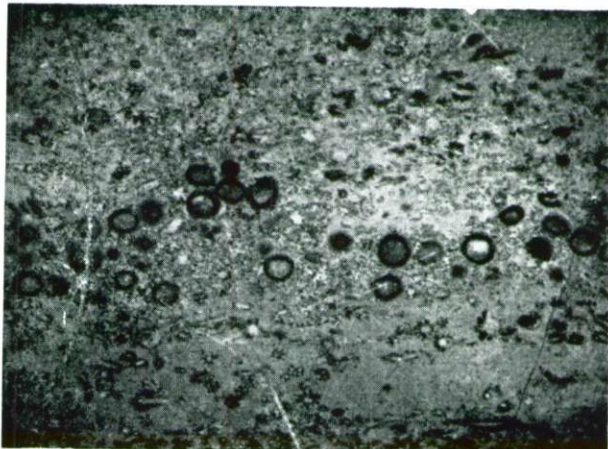
### III. TABLA — PLATE III.

20. slika

Vremski Britof — Pov. 4,5  $\times$ . Haračejski apnenec.

Fig. 20.

Vremski Britof —  $\times$  4,5. Chara limestone.

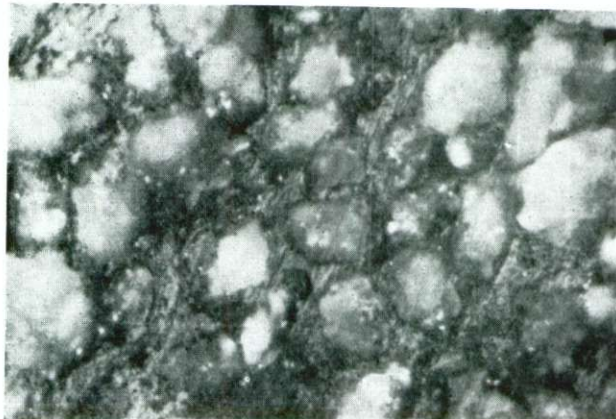


21. slika

Sečovlje — Profil B. Pov. 125  $\times$ . Apnena psamitska zrna v premogu neposredno nad 2. slojem.

Fig. 21.

Sečovlje — Section B.  $\times$  125. Psamitic grains of limestone, immediately above the 2nd seam.



22. slika

Sečovlje — Profil C. Pov. 125  $\times$ . Mikrokristalast apnenec z žilico asfalta.

Fig. 22.

Sečovlje — Section C.  $\times$  125. Asphalt vein in microcrystalline limestone.



IV. TABLA — PLATE IV.

23. slika

Sečovlje — Profil II — 2. sloj; glicimerz., pov. 225  $\times$ . Klarit z bituminitom na primarnem mestu.

Fig. 23.

Sečovlje — Section II — 2nd seam; glyc. immersion,  $\times 225$ . Clarite with bituminite in situ.



24. slika

Sečovlje — Profil II — 1. sloj; glicimerz., pov. 225  $\times$ . Impregnacija z drobnozrnatim piritom ter vključki bituminita na sekundarnem mestu.

Fig. 24.

Sečovlje — Section II — 1st seam; glyc. immersion,  $\times 225$ . Fine-grained pyrite impregnation and bituminite inclusions on secondary place.

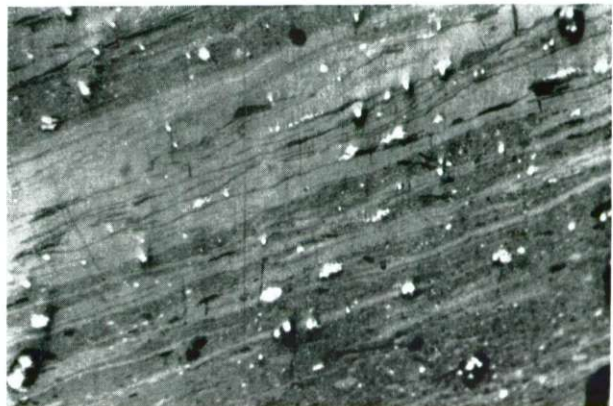


25. slika

Sečovlje — Profil B — 1. sloj; glicimerz., pov. 225  $\times$ . Vitrinit z žilicami bituminita ter trakasto porazdeljena boksitna primes.

Fig. 25.

Sečovlje — Section B — 1st seam; glyc. immersion,  $\times 225$ . The inclusions of bituminite in vitrinite and banded bauxite.



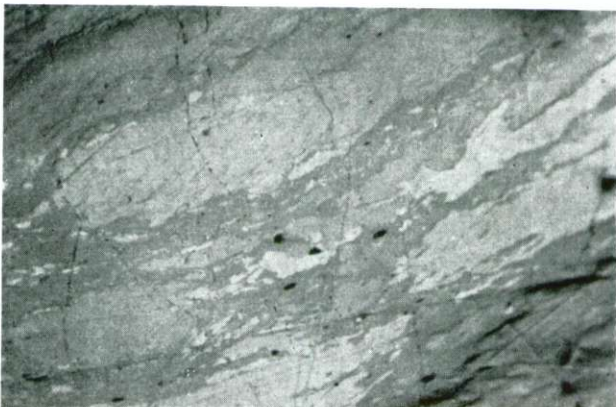
V. TABLA — PLATE V.

26. slika

Vremski Britof — 1. sloj, zg. skupina; glic. imerz., pov. 225  $\times$ . Različki inertinita v vitrinitu.

Fig. 26.

Vremski Britof — 1st seam, upper group; glyc. immersion,  $\times 225$ . Inert ingredients in vitrinite.

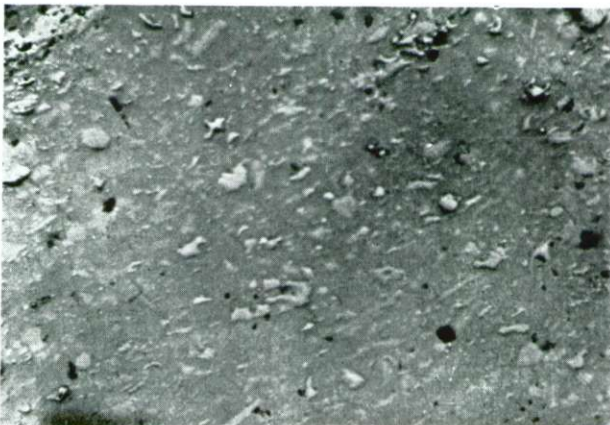


27. slika

Vremski Britof — 2. sloj, gl. skupina; glic. imerz., pov. 225  $\times$ . Vitrinertit s fragmentarnim inertnitom.

Fig. 27.

Vremski Britof — 2nd seam, main group; glyc. immersion,  $\times 225$ . Vitrinertite with fragments of inertinite.

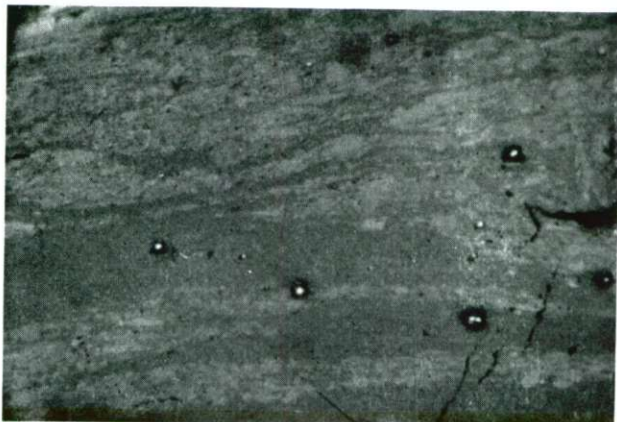


28. slika

Vremski Britof — 1. sloj, zg. skupina; glic. imerz., pov. 225  $\times$ . Vitrinertit z obilno drobnozrnatega inertnitita (mikrinita).

Fig. 28.

Vremski Britof — 1st seam, upper group; glyc. immersion,  $\times 225$ . Fine-grained inertinite (micrinite) in vitrinertite.



VI. TABLA — PLATE VI.

29. slika

Raša — »Kredni« sloj; glic. imerz. pov. 250  $\times$ . Klarit s strukturo, ki kaže prvotno plastično stanje substance.

Fig. 29.

Raša — »Cretaceous« seam; glyc. immersion,  $\times 250$ . Clarite structure, showing the former plastic state of substance.

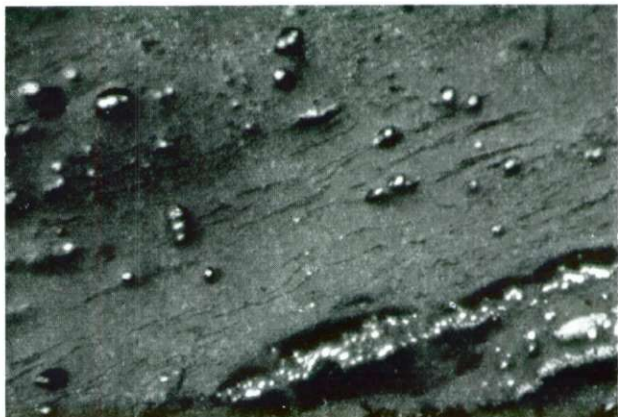


30. slika

Raša — »Kredni« sloj; glic. imerz., pov. 225  $\times$ . Žilice bituminita, drobno razpršena anorganska prime- in pirit v vitrinitu.

Fig. 30.

Raša — »Cretaceous« seam; glyc immersion,  $\times 225$ . The bituminite veins, finely dispersed mineral matter, and pyrite in vitrinite.



31. slika

Raša — »Kredni« sloj; glic. imerz., pov. 225  $\times$ . Singenetski karbonat v vitrinitu.

Fig. 31.

Raša — »Cretaceous« seam; glyc. immersion,  $\times 225$ . Syngenetic carbonate in vitrinite.



Proces bituminiranja je možen tako v morskem kot lakustralnem okolju.

O podobnih maceralijah kot bistvenih komponentah premoga doslej v literaturi ni zanesljivih podatkov. V premogu iz Anzeindaza (Diablerets) je našel Beck (1948) temnosive oblike v kolinitki osnovi ter domneval na prvotno pripadnost smolnim telesom. Te ich müllerjeva omenja v klaritu premogišča Serbariu na Sardiniji dosti bituminoznih celičnih ekskretov in neobliskovanih bitumenskih delcev. V eocenskih nemških premogih je našla droben temen bitumen ter sledove plastičnega stanja premogove osnove, kar spravlja v sklad s tvorbami gyttja v odprtih vodnih bazenih. Temna bitumenska telesa, podobna mikrosporam, omenja tudi v moskovskih rjavih premogih, enako tudi v pliocenskih premogih iz Wetteraua. Bitumenska telesa ter neobliskovan šlirast bitumen so posebno značilni za bitumenske gyttje. Tudi rjavi premogi iz Burgbrohla in Erpela na Renu, ki so tipični algasti premogi, imajo kot osnovo temen, neobliskovan bitumen in le malo vitrinitnih vključkov, prav tako premogi iz Roča (1950, 1952).

Sečoveljski bituminit tudi ni identičen z bituminitom, ki ga omenja Szadeczky-Kardoss (1956), pač pa prej z njegovim kerogenom. Po Potoniéu (1951) bi spadal bituminit med stabilne metabitumene. Ti morejo razen iz živalskih in rastlinskih maščob ter beljakovin (labilni protobitumen) nastati z dejavnostjo mikroorganizmov tudi iz ogljikovih hidratov (sekundarni labilni protobitumen).

Vključki polena ter tankih, dolgih kutikul v sečoveljskem klaritu se ločijo od bituminita po nekoliko temnejši sivorjavi barvi ter močnejšem reliefu. Kvantitativno sta sporinit oziroma kutinit povsem nevažna.

Fuzinit je večinoma porušen in fragmentaren. Ima tipično strukturo z debelimi stenami in okroglimi odprtinami. Refleksija je močna, relief izrazit. Periferno prehaja v več ali manj izrazit semifuzinit. Redki fragmenti obeh maceralij so tudi v klaritu. Kvantitativno sta fuzinit in semifuzinit popolnoma nepomembna.

Nastanek fuzitskih različkov danes še ni pojasnjen. V splošnem sta priznana tako imenovani razkrojni fuzinit, nastal zaradi delovanja organizmov v aerobnem okolju ter fuzinit, ki je nastal zaradi požarov v šotičih. Različek v Sečovljah kaže prej značilnosti prve skupine.

Sklerotinit zastopajo tipične spore ter sklerociji. Med sporami ločimo več vrst, različnih po obliku, velikosti in debelini sten.

Spore nastopajo skoraj vedno v skupinah v vitrinitu, pa tudi v semifuzinitu.

Mikrinita v sečoveljskem premogu ni. Le zelo redko najdemo podobne, nejasne svetle vključke v vitrinitu.

Anorganske primesi v premogu so v glavnem singenetske. Boksit in apnenec nastopata v obliki trakov in vključkov pa tudi drobnozrnatih impregnacij pogosto skupaj, zlasti v spodnjem sloju. Železov sulfid je zgodnje epigenetski. Nastopa v obliki drobnih zrnčic ali drobnozrnatih okroglastih konkrecij ter je neenakomerno ter obilno porazdeljen po

premogu zlasti v nižjih slojih. Sulfid je pirit pa tudi drobnozrnat melnikovit oziroma melnikovit-pirit. Že obravnavani nastanek sulfidov kaže na alkalno okolje v začetni fazi nastajanja premogišča. Ker reakcije niso potekale kvantitativno, sta prisotna oba različka.

Epigenetske zapolnitve razpok s kristaliziranim karbonatom so redke.

V štirih profilih v premogišču sem meril vse dostopne sloje premoga po zgoraj opisani metodi. Upoštevane komponente razdelim takole:

aerobna skupina:

1. semifuzinit,
2. fuzinit,
3. sklerotinit;

anaerobna skupina:

1. telinit,
2. kolinit,
3. klarit z nad 5 % eksinita,
4. klarit z več ali manj eksinita ter primesjo drobno porazdeljene anorganske substance,
5. duro-klarit z več kot 5 % inertinita,
6. močna preraščenja premogove substance z anorgansko primesjo,
7. boksit z malo primesjo premoga,
8. karbonat z malo primesjo premoga,
9. železov sulfid (kot prevladujoča komponenta).

Slojni profil enega izmed številnih izmerjenih pokaže 11. slika. Najmanjši merjeni interval je približno 1 mm.

Profilne krivulje vseh slojev kažejo izključno območje anaerobne sedimentacije v relativno globlji vodi. Trakasta narava premoga pride do izraza v menjavanju vitrinita s klaritskimi različki ter jalovinskimi vključenji. Aerobne komponente so izjeme; debelini dveh vključkov fuzita sta 4 in 6 mm. Tanki lečasti vključki ter spremljajoči duro-klarit govore za alohtonost teh komponent. Prisotnost fuzinita pa kaže tudi na aerobne razkrojne pogoje v premogišču, vsekakor v močno omejenem obsegu.

Grafično je podana tudi subjektivno ocenjena množina železovega sulfida v šestih stopnjah, med 1 % in 20 %. V nižjih slojih je sulfida več kot v višjih, poleg tega ga je več v zgornjih delih slojev, kar pa se povsod ne potrjuje.

Kvantitativno udeležbo vitrinita in bituminita sem izmeril na nekaj slojih po običajnem postopku maceralne analize. Dobljene vrednosti (pri privzeti spec. teži bituminita 1,2) podaja 3. tabela.

Table 3

3. tabela

Profil	Sloj	vitrinit	bituminit	Anorganske sestavine in preraščenja
B	6	74,9	11,1	14,0
	5	64,7	21,5	8,8
	4	83,7	12,8	3,5
	3	65,0	13,8	21,2
	2	54,4	14,4	33,2
	1	71,2	16,8	12,0
	A	82,3	10,6	7,1
A	5	87,0	11,2	2,3
	1	72,8	12,8	14,4
	B z bituminitom bogat izbran vzorec	58,8	27,4	14,2

Povprečna utežna udeležba bituminita je okrog 13 %, izjemno pa utegne narasti tudi preko 25 %. Vsebnost bituminita v višjih slojih nekoliko pada.

Sestav in mikrofacies premoga kažeta na humulitno-sapropelitni tip premogišča. Sedimentacija se je vršila v glavnem v prostih vodah. Poleg višjega rastlinstva so bile udeležene zlasti vodne rastline, najbrž predvsem alge pa tudi beljakovinasti mikroorganizmi kot rastlinski in živalski plankton. Za udeležbo poslednjih, domnevno tudi zoogenih, n. pr. planktonskih komponent, bi govorila bitumenska substanca v premogu. Okolje je bilo v celoti anaerobno ter alkalno ali kvečjemu nevtralno, kar je dopuščalo bogato dejavnost anaerobnih bakterij, na katero moramo vezati obilico žvepla. Pri redukcijskih procesih je nastajal žveplov vodik. V takih pogojih je potekal proces zorenja organske substance delno tudi v smeri nastanka bitumenskih produktov poleg vitrinitskih komponent. Danes prevladuje mnenje, da med nafto in premogom v genetskem oziru ni bistvenih razlik. Ligninski material in tudi celuloza višjega rastlinja so po znanih načelih prešli v glavnem v huminske produkte, maščobne snovi in beljakovine pa verjetno v več ali manj polimerizirane spojine oziroma bitumenske ogljikove vodike. Zaradi delovanja bakterij pa more preiti v bitumenske produkte tudi celuloza (Potonie, 1951); Teichmüller, (1950). Obe substanci moreta biti pri sličnem organskem izhodnem materialu tudi le končna produkta različno potekajočih procesov (Nigli, 1952).

Genetsko pripada torej sečoveljski premog usedlinam mirne vode in sicer profundalnim humusnim gyttjam.

### 3. Premog iz Vremškega Britofa

**Makroskopski opis.** Trd kompakten premog najdemo le izjemno. Je neizrazito trakast z drobnimi lečastimi vključki fuzita ter premogastega apnenca. Tekstura je homogena, prelom raven. Večji del pa je premog

zaradi tektonskih vplivov drobno skrilav, zdrobljen in prhek. Posebnost je naravno briketiran premog v porušenih conah. Briket ima majhno trdnost. Zaradi obilne primesi ilovice je pogosten tudi popolnoma mehak jalovinast premog. Ilovico so v zdrobljen premog nanesle podzemne vode.

Premog je sivočrn s črno-rjavo razo ter enako barvo prahu. Sijaj je dokaj močan, na zdrobljenih vzorcih medel.

**Petrografski sestav in facies.** Pri mikroskopiranju sem uporabljal v glavnem zrnaste preparate, ker kosov za izmero slojnih profilov v zdrobljenem premogu skoraj ni bilo mogoče odvzeti. Težave je povzročala priprava preparatov mehkega glinastega premoga.

Petrografski sestav premoga je enostaven. Od mikrolitotipov so udeleženi vitrit, vitrinertit ter fuzit.

Premog je kombinacija vitrinita z inertnimi maceralijami, pri čemer opazujemo razne vmesne prehode od brezstrukturnega kolinita na eni strani do tipičnega fuzinita na drugi.

Vitrinertitu pripada praktično skoraj vsa premogova substanco. Vitrinitna osnova vključuje semifuzinit, fuzinit ter neizrazit mikrinit v obliki fragmentov in večjih teles do makroskopsko vidnih leč. Struktura je trašasta ali mikrobrečasta.

Vitrinitu z manj kot 5 % inertnih primesi pripadajo posamezni ozki pasovi v premogu. Skoraj vedno vsebuje drobce fuzinita.

Fuzit sestavljajo različki fuzinita ter razni stadiji semifuzinita. Nastopa v obliki največ nekaj centimetrov dolgih in ozkih leč.

Jalovinske različke zastopajo preraščenja s karbonatom ter onečiščenja z ilovico.

Kolinit, ki prevladuje, je homogen in enakomeren ter svetlo sivkasto-modrikast. Telinit je strukturno več ali manj izrazit.

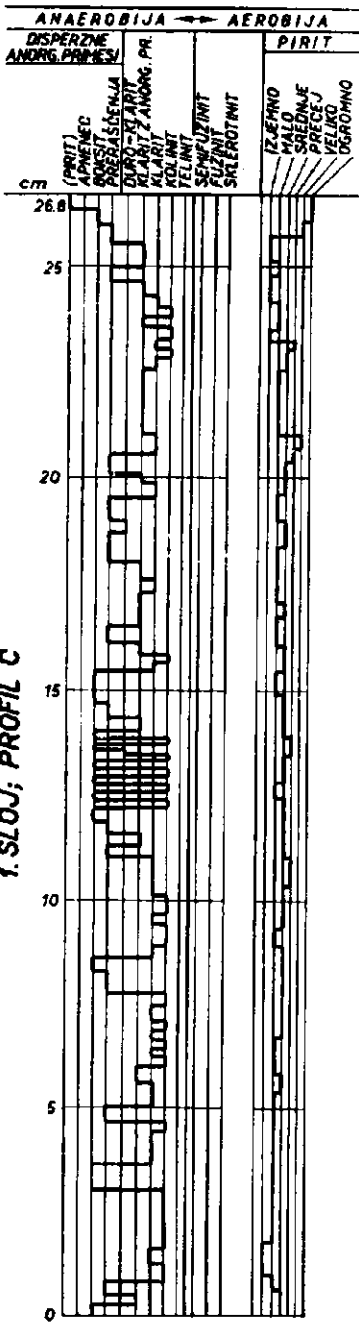
Semifuzinit je izredno raznolik. Opazujemo vse prehode med sivkastimi različki z neznatnim reliefom do izrazitega fuzinita. Fuzinit je tipičen, s precej debelimi stenami.

Sklerotinit zastopajo zelo redki sklerociji, katere smo opazovali le v semifuzinitu. Spor gliv ni.

Kosmičastemu mikrinitu prištevamo drobce in tudi večja telesa brez strukture in reliefsa. Njihova velikost je lokalno znatna. Po dosedanjih definicijah znaša velikost zrn kosmičastega mikrinita sicer le do nekaj stotink milimetra, vendar velikost maceralije pri ostalih značilnostih ne more biti merodajna. Kosmičasti mikrinit je v najožji zvezi s fuzinitom in semifuzinitom, katera nedvomno izhajata iz prvotne lesne rastlinske substance.

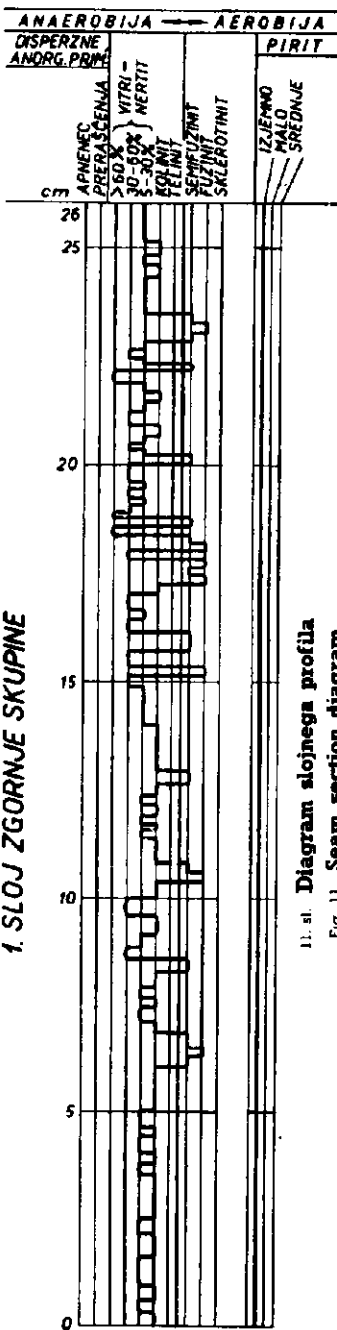
Po Teichmüllerjevi (1950) se je najbrž kosmičasti mikrinit dokončno izoblikoval šele z metamorfozo. Pripisuje mu nastanek iz gelov v jezerskih usedlinah. Mackowsky (1953, 1955) si o izvoru kosmičastega mikrinita ni na jasnom. Po Karmasinu (1952) je kosmičasti mikrinit nastal iz humusnega vitrinitkskega materiala, podobno kot razkrojni fuzinit, le da je bil izpostavljen daljši oksidaciji. Podrobni pogoji nastanka inertnih maceralij doslej še niso zadosti pojasnjeni. Velja le, da je njihov nastanek možen na več načinov v izključno aerobnem okolju.

## SEČOVLJE



1. SLOJ; PROFIL C

## VREMSKI BRITOF



1. SLOJ ZGORNJE SKUPINE  
1. sl. Diagram slojinega profila  
Fig. 11 Seam section diagram

Neposredna zveza inertnih maceralij v vremskem premogu govori v prid dosedanjim domnevam o izvoru kosmičastega mikrinita iz lesne substance pod pogoji, ki so analogni pogoju nastanka semifuzinita in fuzinita. Njihov nastanek mora biti le posledica določenega procesa, ki je v odvisnosti od lokalnih faktorjev različno intenzivno potekal ali pa bil prekinjen v različnih stadijih. V vremskem premogu se potemtakem potruje ozka genetska zveza maceralij fuzinit–semifuzinit–kosmičasti mikrinit s skupnim izvorom iz prvotnih rastlinskih delov, najbrž pod aerobnimi pogoji in pod vplivom organizmov.

Od anorganskih primesi je udeležen v premogu predvsem apnenec, tako singenetski kot epigenetski. Vsebuje vedno drobno porazdeljeno premogovo snov, zlasti drobne vključke inertnih maceralij. Najderno tudi drobne vertikalne razpoke, zapolnjene s steklasto kolinitno substanco ter med epigenetski kristalast kalcit vključen vitrinit. Vitrinitna substanca je bila torej tudi transportirana in odložena, najbrž kot humat v koloidni obliki. Mehanska migracija premoga v drobne, tektonsko nastale razpoke, ni verjetna.

Le za štiri sloje je bilo mogoče zmeriti celotni profil. Ostale sloje sem mikropetrografsko obdelal po metodi izmere povprečnih zrnastih vzorcev z višino 5 cm.

Pri slojnih profilih sem upošteval naslednje komponente:  
aerobna skupina:

1. semifuzinit,
2. fuzinit;

anaerobna skupina:

1. telinit,
2. kolinit,
3. vitrinertit s 5 do 30 % inertnega,
4. vitrinertit s 30 do 60 % inertnega,
5. vitrinertit z nad 60 % inertnega,
6. preraščenja s singenetskim apnencem,
7. apnenec.

Slojni profil za en sloj pokaže grafično 11. slika.

Iz diagramov vidimo prevladajoče območje anaerobne sedimentacije. Avtohtonih horizonov aerobnega fuzinita in semifuzinita v območju merjenih profilov ni; ti bi morali imeti večjo lateralno stalnost pa tudi večjo debelino od opazovanih vložkov. Vitrinit je avtohton, vitrinertit hipoavtohton, pri čemer je fragmentarni inertinit alohtonoma sedimentiran. Le-ta kaže na nemirno sedimentacijo ter strujanja v bazenu. Sklepamo, da je bil plitev obrežni del šotišča, kjer so nastajale aerobne maceralije, izven ožjega območja današnjega premogišča.

Izmera zrnastih preparatov ne dopušča genetskih zaključkov, pač pa daje natančno sliko o kvantitativnem sestavu premoga. Normalno metodo sem izpremenil v toliko, da sem upošteval merjena zrna v okviru

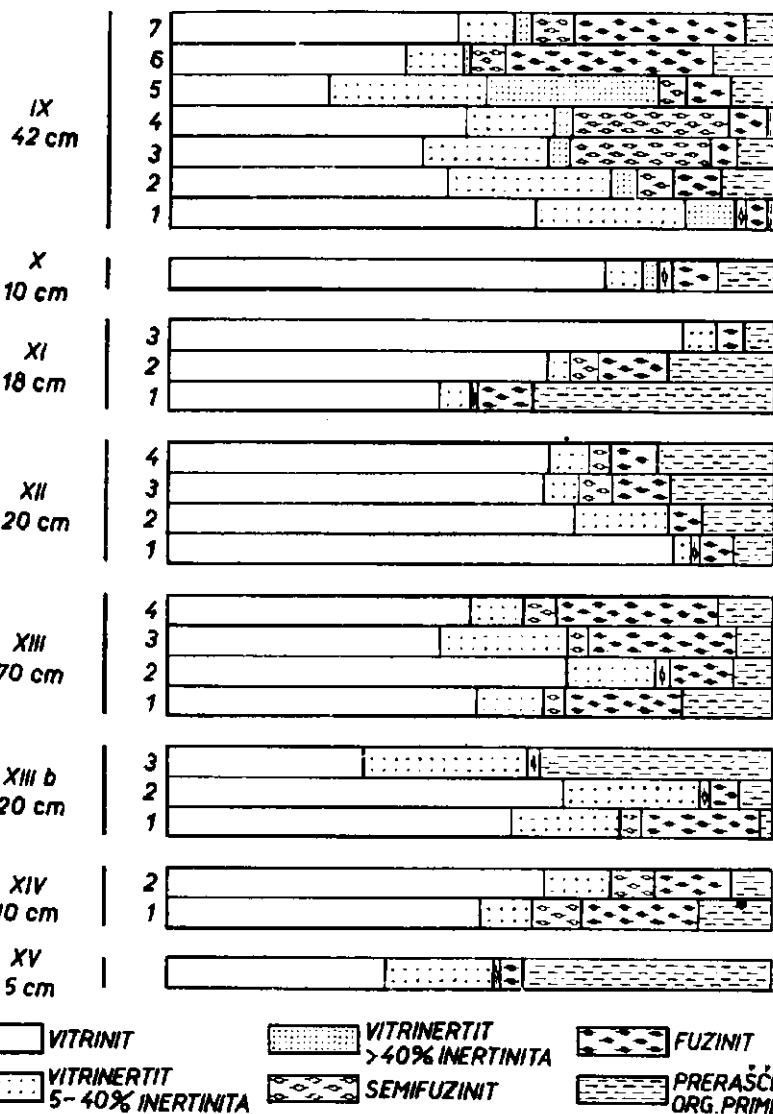
12. slika

Kvantitativni mikropetrografski zestav nekaterih  
slojev premoga v rudniku Vremski Britof

Fig. 12

Quantitative micropetrographic composition of some  
coal seams in Vremski Britof coal mine

SLOJ



VITRINIT      VITRINERTIT  
>40% INERTINITA      FUZINIT  
 VITRINERTIT  
5-40% INERTINITA      SEMIFUZINIT      PRERAŠČENJA ZAN-  
ORG. PRIMESJO >20%

zornega polja kot celoto. Ločil sem naslednje komponente, za katere podam tudi običajne oziroma privzete specifične teže:

	spec. teža
1. vitrinit	1,30
2. inertinit; 5–40 % inertnega	1,35
3. inertinit; nad 40 % inertnega	1,40
4. fuzinit	1,50
5. semifuzinit	1,35
6. preraščenja z apnencem nad 20 % in apnena jalovina	2,15

Kvantitativni mikropetrografski sestav za nekatere sloje premoga iz profila vodne proge podam grafično v 12. sliki.

Iz analiz sledi, da je sestav premogovnih slojev neenakomeren. V spodnjih slojih je nekoliko večja udeležba homogenih, čistih maceralij, v zgornjih slojih pa je več heterogenih fragmentarnih komponent.

Povsod znatna udeležba alohtonega fragmentarnega inertinita kaže na stalno prisotnost aerobnih pogojev v širšem območju šotišča.

Značilnost vremskega premoga je izredno majhna udeležba pirita. Nastopa izjemno v drobnih zrncah po vitrinitu ter je le lokalno nekoliko bolj nakopičen. V inertinitu ga ni.

Vsebina celokupnega žvepla v premogu je okrog 10 %; od tega večina v organski obliki. V šotišču so obstajale anaerobne razmere z nastankom žveplovega vodika oz. žvepla, ki je prešlo v sestav organskih spojin. Vzrok odsotnosti železovega sulfida bi moglo biti pomanjkanje železa v sedimentacijskem bazenu ali preveč kislo okolje, kjer se sulfid teže obarja. Ker pa bi kislo okolje zavrllo bakterialno aktivnost, sklepam na le majhno vsebnost železa v bazenu. Ta zaključek podpira tudi zelo malo železa v pepelu premoga.

Odsotnost sapropelskih komponent v vremskem premogišču skušamo tolmačiti z neprimerimi sedimentacijskimi ter biološko-kemičnimi pogoji, ki niso vodili v smeri bituminiranja. Najbrž nista bila primerena prvotni organski material ter značaj sedimentacijskega bazena. V primeri s stagnirajočimi kadunjami pod neposrednim morskim vplivom v območju Sečovelj, kjer je bila verjetno tudi udeležba zoogenega organskega materiala večja, je bila domnevno stopnja anaerobije v vremskem okolišu manjša.

#### 4. Raški premog

**Spošno.** Premog iz Raše je med kraškimi premogi najbolj poznan. Je predmet intenzivnega proučevanja z vidika kemije in tehnologije. Njegove anomalne lastnosti so ozko vezane na izredno visoko vsebnost žvepla, ki po Kreulenu (1952) in Kavčiču (1956) nadomešča v sestavu organskih spojin kisik. Kreulen pravilno predpostavlja, da bo mogoče kaj več reči o zrelosti in kemični konstituciji raškega premoga šele, ko bo podrobnejše poznan izvor premoga.

Premogišča nisem podrobno obdeloval. Splošne geološke razmere so podane v pregledu geologije Istre. Razmere v premogišču so podobne kot v Sečovljah, le da so dimenzijs večje. Sladkovodni, brakični in morski vplivi se menjavajo. Vseh slojev premoga, ki so tudi dokaj debeli, je blizu 40. Najnižji premogov sloj leži neposredno na krednih apnencih ter se prilagodi erodirani, skrašeni podlagi. Za eksplotacijo primernih je okrog 10 slojev, ki so razdeljeni v več skupin s po nekaj sloji v skupni debelini 1–3 metre.

Raški premog je izredno homogen, pretežno svetlega sijaja brez vidne pasovitosti. Je črn s temnorjavom razo in barvo prahu. V najnižjem »krednem« sloju je premog često zelo trd, v višjih slojih je mehkejši in drobljiv. Prelom je v glavnem nepravilen. Tu in tam vidimo rumenkaste vključke drobno porazdeljenega sulfida.

**Petrografska sestava in facies.** Izredno homogenost premoga omenja že Petrascheck (1926/27). Beck (1948) je mikroskopsko preiskal vzorec premoga. Enako Abramski (1948), ki je primerjal sestav s koksavostjo. Bežno omenja petrografska sestava tudi Kreulen (1952).

Mikroskopsko sem preiskal vzorce različnih slojev. Izredna enakomernost premoga zaenkrat upravičuje posplošenje dobljenih rezultatov.

Petrografska pripada premog vitritu in klaritu. Vitrit prevladuje. Vključuje anorgansko substanco, eksinit in mikrinitu slične maceralije. Z naraščanjem vključkov prehaja vitrit v klarit. Durit in fuzit kakor tudi vmesne stopnje niso udeleženi. Vsebina eksinita je vedno zelo majhna. Kvantitativna izmera kaže povprečno okrog 35 % klarita, ostalo vitrit in 5 do 10 % jalovinskih različkov z več kot 20 % anorganskih primes.

Vitrinit kot prevladujoča maceralija je pretežno enakomeren. Zanimive so zapolnitve razpok z drugotnim kolinitem. Lokalno opazujemo neizrazito strukturo telinita. Pogostna je izredno drobno porazdeljena anorganska prime. Z naraščanjem te prime postaja struktura mestoma zrnata ali celo brečasta. Razpršena anorganska prime ter zrnata struktura vitrinita je značilnost v glavnem le najnižjega premogovega sloja.

Eksinit v klaritu pripada polenu, kutikularnim oblikam in bituminitu. Polen je malošteviljen. Podolgovitim, tankim oblikam sivorjave barve z izrazitim reliefom pripisujem kutikularno naravo. Najdemo tudi povečini drobne podolgaste vključke bituminita, ki je identičen z opisano maceralijo iz Sečovelj. Kvantitativno ni posebno pomemben. V spodnjem sloju ga je več kot v višjih slojih. Redko ga opazimo na drugotnem mestu v razpokah vitrinita. Za oceno kvantitativne udeležbe bituminita je obseg preiskav premajhen.

Bitumske komponente v premogišču potrjuje naravni asfalt, ki ga tudi najdemo v premogovniku. Substanca ima videz temnega asfaltnegga bitumena. Pod mikroskopom ustreza bituminitu.

Tu in tam opazujemo v vitrinitu tudi sivkaste vključke z nejasnimi notranjimi refleksi. Verjetno gre za smolaste vključke (Hamrla, 1955) kar podpirajo tudi podatki o »trinkeritu« (Jenčič, 1955).

Fuzinit in semifuzinit nista prisotna niti v najmanjših fragmentih.

Sklerotinit zastopajo spore v gručah po vitrinitu. Po debelini in obliki lupine, reliefu in refleksiji je zastopanih več vrst. Združene v skupine dajejo videz sklerocijev.

V vitrinitu višjih slojev najdemo tudi svetle, nejasne vključke, ki se po značilnostih približujejo mikrinitu. Količinsko so nepomembni.

Anorganske primesi v premogu so kalcit, boksit in železov sulfid. Boksit je vezan v glavnem na najnižji sloj ter je lokalno precej nakopičen. Boksitne impregnacije poudarjajo zrnato ali šlirasto strukturo premoga.

Karbonat je stalna primes v premogu. Singenetski karbonat v obliki drobno porazdeljenih kosmičastih zrn je pogosto v neposredni zvezi z boksitnimi disperzijami. Večji del karbonata je epigenetski v obliki tankih žil.

Železovega sulfida v obliki zrn, skupkov in kopuč je največ v spodnjem sloju, manj v višjih slojih. Poleg pirita je zastopan tudi drobnozrnat rjavkastorumen različek piritnega gela.

Po sestavu je torej raški premog sličen sečoveljskemu. Tudi pogoji nastanka premoga so morali biti močno podobni. Prevladujoči vitrinit z obilico singenetskega pirita ter popolna odsotnost fuzinita in semifuzinita govore za anaerobne razmere. Prvotno plastično stanje substance jasno kaže šlirasta struktura osnove zlasti v spodnjih slojih, kjer je domnevno tudi relativno največ bituminita.

Petrografske karakteristike podpira tudi kemični sestav premoga (Dermej et al., 1955). Razmerje C/N kot merilo sapropelskih pogojev razkroja v premogišču (Niggli, 1952) daje visoko vrednost okrog 38. Visok odstotek dušika (2 %) je najbrž posledica močne dejavnosti bakterij. Nekatere vrste bakterij morejo akumulirati znatne množine dušika (Ranaka, Sahama, 1950). Visoka vsebina dušika sama že govori za anaerobne pogoje razkroja organske snovi, kajti v aerobnem okolju dušik odide v obliki raznih več ali manj topnih produktov ter se ne ohrani. Bakterije tudi dvigujejo alkalinost okolja s tem, da tvorijo amoniak iz dušikovih spojin, da izrabljajo ogljikovo kislino ter reducirajo sulfate.

Ker opazujemo v višjih slojih manj pirita ter skoraj nobenega bituminita, prevladuje pa vitrinit z relativno znatno udeležbo spor ter neizrazitega kosmičastega mikrinita, sklepamo, da so bili sapropelski pogoji pretvorbe organskega materiala intenzivnejši v spodnjih slojih.

## KEMIJA PREMOGOV

### 1. Splošno

Sečoveljski in vremski premog smo obširno kemično preiskali. Zasledovali smo morebitne izpreamembe sestava v posameznih slojih, delih slojev ter utežnih frakcijah. Tu navedem le glavne podatke. Za raški premog je dovolj podatkov v literaturi.

Pripravo vzorcev smo izvedli v laboratorijih Geološkega zavoda. Frakcionirali smo v zmesi benzina, tetrakloretana in bromoformata pri specifičnih težah: 1,3 (1,35), 1,5, 1,7 in 1,9.

Ekstrakcije so bile izvedene v Soxhlet aparatu z benzol-alkoholom 1:1 do brezbarvnega topila. Koks smo določili po metodi Radmacherja. Ogljik in vodik po Denstedtovi metodi, dušik po modificiranem postopku Kjeldahla (ing. Dermelj). Kisik je dobljen iz diference. Celokupno žveplo smo določili po metodi Seuthheja, piritno po Radmacherju in Mantelu. Poslednje za kraške premoge odpove ter daje 10–20-krat prenizke rezultate.

Vrednosti za vlago so nekoliko previsoke zaradi nepopolne odstranitve organskih topil.

Osnovni reakciji, kislinska s KOH ter ligninska s  $\text{KNO}_3$  pokažeta:

	KOH (In)	$\text{HNO}_3$ (1:9)
Sečovlje	rjavo	vinsko rumeno
Vremski Britof	brezbarvno	brezbarvno
Raša	brezbarvno	brezbarvno

Ekstrakt pri ekstrakciji z benzol-alkoholom (1:1) je za Sečovlje rjav z aromatičnim duhom, za Vremski Britof temen s komaj vidno modrikasto fluorescenco topila, za Rašo temen.

## 2. Scčovlje

**Imediatna, elementarna in tehnološka analiza.** Podatke analiz za nekaj skupin slojev z dveh mest v premogišču, ločenih na frakcije, daje 4. tabela. Merodajna je najlažja frakcija, v kateri je vitrinit nakopičen. Pri vzorcih C frakcije –1,3 zaradi anorganskih primesi ni. Povprečen sestav premoga oziroma frakcije –1,3 vsebuje 11. tabela.

Visoka vsebina žvepla dopušča dvojno razlago sestava; ali ga prispejemo k ogljiku ali h kisiku. Tako dobimo dva različna zrelostna stadija premoga. Na nižjo zrelost bi kazala visoka vsebnost hlapnega. Ta pa je vezana na bitumenske komponente v premogu.

Kreulen (1952) je sklepal, da je žveplo v sorodnem raškem premogu vezano v aromatskih obročih. Isto je ugotovil Kavčič (1956). Predpostavljamo, da žveplo nadomešča v sestavu organskih spojin kisik. Strukturno-kemično moremo na ta način razložiti tudi nizko vsebino vlage v premogu, ki s povprečkom okrog 4 % ni v skladu z visoko vsebnostjo hlapnega.

Ekstrakcije v benzol-alkoholu (1:1) so dale okrog 12 % ekstrakta, v kloroformu okrog 8 %. Vsebina bitumena, ki se ekstrahirja, je po podatkih za sorodni raški premog odvisna od postopka in topila. V ekstrakt gre najbrž predvsem bituminit. Količina se približno ujema s kvantitativno izmerjeno vsebnostjo bituminita.

Določili smo zgornji toplotni efekt 8 vzorcev zračno suhega premoga, kar daje sežigne toplotne suhe, čiste substance med 7095 in 7520 Kal, povprečno 7350 Kal.

Povprečna vsebnost celokupnega žvepla v frakciji –1,3 z okrog 11 % je dokaj stalna, v težjih frakcijah pa variira. Z višjimi sloji vsebina pada. Po mikroskopski oceni sodeč gre ta diferenca na račun manjše udeležbe

**Kemični sestav slojev premoga iz Sečovelj po frakcijah**  
**Chemical composition of Sečovlje coal seams fractions**

Table 4.

4. tabela

Vzorec Sample			Immediatna analiza								Elementarna analiza				
Profil Section	Sloj Seam	Frakcija Fraction	vlaga Mois- ture	pepel Ash	koks Coke	$S_{cel}$	bitumen Bitumen	hlapno Volatiles	$C_{fix}$	Kzg***	C	H	$S_{cel}$	O	N
			vpp*	vp*			vpp**	vpp**							vpp
A	I-II	-1,3	6,96	3,15						6965	69,8	6,20	11,7	11,64	0,66
		-1,5	6,30	10,04	54,20	11,8	12,28	51,25	48,75						
		1,5-1,9	5,37	24,95	58,95	12,5	6,10	54,70	46,30						
	III-VI	-1,3	3,75	3,01						7333	69,9	5,94	11,2	12,33	0,63
		-1,5	6,70	7,82	50,08	11,4	13,50	53,43	46,57						
		1,5-1,9	7,55	31,58	56,07	8,9	9,07	64,24	35,76						
	VII-X	-1,3		5,80							71,8	5,22	11,1	11,13	0,75
		-1,5	6,55	8,08	51,34	11,2	13,67	52,89	47,11						
		1,5-1,9	7,45	26,49	56,51	9,9		59,10	40,90						
C	I	-1,5	4,75	8,47	53,29	12,1	10,86	51,03	48,97	6743	70,0	5,66	13,2	10,29	0,84
		1,5-1,9	4,60	27,68	58,17	11,7	8,83	57,85	42,15						
	II-IV	-1,5	4,78	10,55	53,35	12,3	10,98	52,98	48,02	6561	70,6	6,52	13,7	8,28	0,88
		1,5-1,9	4,56	25,68	57,24	12,9	8,97	56,79	43,21						
	V-VI	-1,5	6,30	9,45	52,34	11,9	12,15	53,65	46,35	6496	70,4	5,84	13,1	9,87	0,79
		1,5-1,9	4,75	26,27	56,00	10,95	11,20	59,53	40,47						

\* brez vlage; dry basis.

\*\* brez vlage in pepela; dry-ash-free basis.

\*\*\* kcal/kg.

piritnega žvepla v gornjih slojih. Sulfatno žveplo je le malo udeleženo. Organsko žveplo je dobljeno iz diference; pripada mu najmanj 90 % od celokupnega žvepla.

Swelling indeks kot parameter spekljivosti znaša pri nižjih slojih 1, pri višjih doseže 2,5 do 3. Dilatacija in kontrakcija sta majhni; v reološkem oziru je premog vseskozi neugoden. Molekularno razmerje  $\frac{H}{O + N}$  kot indeks za presojo koksnih sposobnosti znaša 7,4, medtem ko se za normalne koksne premoge ta vrednost giblje med 8 in 12.

Destilacijski poizkus v Fischerjevi retorti (do 520°C) je bil napravljen za dva vzorca frakcije -1,35. Tiljni koks (61 %) je sintran. Vsebnost katrana (18,4 %) je visoka, kar je v zvezi z bitumenom v premogu.

**Sestav pepela in redki metali v premogu.** Povprečno vsebuje frakcija -1,3 le 4 % pepela, frakcija 1,3–1,5 okrog 8,5 % in frakcija 1,5–1,9 okrog 26,5 % pepela. Sestav pepela različnih slojev z dveh mest v premogišču podaja 5. tabela.

Iz iste tabele vidimo, da so na lahko frakcijo vezani v glavnem V, Ni, Mo; bolj na težjo frakcijo Cr, od frakcije neodvisna pa sta Mn in Ti. Sklepamo, da so V, Ni in Mo vezani na organsko substanco, kar se ujema z ugotovitvami Ottejeve (1953).

Domnevamo, da so redki metali v premogu v obliki sulfidov ali pa so adsorbirani na bitumen. Soli teh metalov so bile za časa usedanja rastlinskega materiala prisotne v sedimentacijskem bazenu kot suspenzije ali raztopine. Znano je, da so nekateri asfalti pa tudi nafte izredno bogati z vanadijem in nikljem. Rankama in Saha (1950) navajata 38,2 % V v pepelu asfalta ter 21,4 % V v pepelu premogov iz Argentine. Na asfaltru ter bituminozne kamenine so vezani zlasti V, Ni in Mo.

6. tabela kaže faktor obogatjenja redkih metalov v primerjavi z recentnimi rastlinami (Otte, 1953) pri povprečnem pepelu 10 % ter koeficientu usedanja 1/10. Neznatna obogatjenja so pri Mo, Ni in Ti, razredčenja pri Cr in Mn. Pri vz porejanju vsebnosti redkih metalev s faciesom ugotovimo za metale, ki so vezani na lahko frakcijo, večje vsebnosti pri limničnem razvoju.

### 3. Raša

Obširne kemične analize raškega premoga so objavljene (Dermelj, 1955); zaradi primerjave povzamem osnovne povprečne podatke v 11. tabeli.

Pepela je 4–16 %. Največ ga je v najnižjem sloju. Ekstrakcija v benzolu daje 0,8–3,85 % (vpp); največ v najnižjem sloju. Od celokupnega žvepla 11,2 % odpade 0,75 % na piritno in 0,1 % na sultatno žveplo; 10,4 % je organsko vezanega.

Premog najnižjega, »krednega« sloja odstopa po lastnostih od višjih slojev. Sestav pepela 6 vzorcev tega sloja z različnih mest, treh višjih slojev in naravnega bitumena, kaže 7. tabela. Neenakomeren sestav je v glavnem posledica različne udeležbe boksitne primesi, ki je največ v najnižjem sloju. V pepelu asfalta je zlasti dosti vanadija.

**Sestav pepela premoga**  
**Composition of ash**

Table 5.

Profil	Sloj	Frakcija	vlaga	pepel	SiO <sub>2</sub>	Al <sub>2</sub> O <sub>3</sub>	Fe	CaO
A	I	—1,5 +1,5	4,16 5,31	27,0 25,3	19,3 23,8	36,2 33,7	18,1 20,6	2,82 3,26
	II	—1,5 +1,5	6,18 4,92	7,78 23,1	21,2 30,6	22,2 33,4	25,0 18,5	5,21 1,99
	III	—1,5 +1,5	6,70 11,30	8,40 23,0	23,5 13,8	25,3 12,2	13,8 9,6	10,38 26,1
	IV + V	—1,5 +1,5	6,80 5,50	5,04 24,3	23,1 30,2	24,1 28,2	15,3 15,20	9,74 7,97
	VI	—1,5 +1,5	7,11 7,81	9,85 39,8	20,7 16,4	20,7 6,70	12,3 4,55	16,32 26,3
	VII	—1,5	6,09	7,99	18,5	17,1	16,6	14,63
	VIII	—1,5 +1,5	6,38 6,53	9,76 37,1	21,8 15,7	16,4 3,60	16,5 4,30	14,45 27,76
	IX	—1,5 +1,5	4,61 7,15	6,48 23,10	24,1 33,0	23,8 27,7	15,9 11,0	9,77 9,40
	X	—1,5	4,43	6,85	24,1	8,56	25,8	5,07
C	I	—1,5 +1,5	4,13 4,28	8,47 26,02	14,86 29,2	25,0 28,7	21,0 17,1	9,43 6,96
	II	—1,5 +1,5	4,70 4,57	10,01 23,11	22,46 23,44	24,59 24,4	18,72 18,25	9,60 9,45
	III	—1,5 +1,5	4,40 5,08	9,06 23,32	20,8 15,32	24,7 22,5	20,53 18,43	9,51 14,10
	IV	—1,5 +1,5	3,85 4,57	11,92 23,04	17,43 20,0	28,6 34,3	24,0 25,1	5,61 3,08
	V	—1,5 +1,5	5,14 6,18	10,28 30,55	19,16 17,24	27,5 27,7	19,67 12,5	9,00 14,51
	VI	—1,5 +1,5	4,67 4,64	7,45 26,90	21,1 17,6	18,43 19,3	15,60 13,3	14,47 19,7

**iz Sečovelj  
of Sečovlje coal**

5. tabela

MgO	Ti	V	Cr	Mo	Mn	Ni	Ca : Mg
0,77	1,12	0,11	0,028	0,002	0,007	0,025	4,37
1,02	0,83	0,069	0,053	0,005	0,004	0,032	3,78
1,62	0,59	0,15	0,031	0,016	0,007	0,038	3,82
1,37	0,99	0,030	0,045	0,003		0,025	1,66
1,55	0,82	0,054	0,031	pod 0,001	0,004	0,022	7,63
0,93	0,48	0,18	0,035	0,002			33,2
2,16	0,60	0,036	0,031	pod 0,001	0,007	0,025	5,18
1,79	0,94	0,020	0,039	0,009			3,16
1,54	0,56	0,080	0,025	0,012	0,006	0,025	12,54
1,45	0,43	pod 0,01	0,018	pod 0,001	0,006	0,011	21,5
2,20	0,57	0,042	0,031	0,014	0,007	0,018	7,63
2,17	0,59	0,12	0,021	0,005	0,004	0,031	7,33
1,24	0,32	pod 0,01	0,012	pod 0,001	0,003	0,011	26,6
2,66	0,72	0,067	0,033	0,017	0,003	0,030	4,19
1,27	0,80	pod 0,01	0,072		0,003	0,021	8,8
1,29	0,35	0,070	0,020	pod 0,001	0,005		4,8
2,24	0,79	0,14	0,055	0,019	0,005	0,034	4,96
1,71	0,84	0,059	0,13		0,008	0,032	4,85
2,01	0,72	0,24	0,048	0,021	0,005	0,044	5,72
0,94	0,74	0,059	0,10		0,006	0,050	12,0
1,99	0,66	0,27	0,053	0,061	0,004	0,040	5,72
0,98	0,64	pod 0,01	0,082		0,006	0,027	17,2
1,93	0,95	0,19	0,048	0,030	0,005	0,044	3,45
1,23	0,94	0,058	0,14		0,006	0,050	2,59
2,15	0,86	1,15	0,038	0,025	0,007	0,036	4,95
1,42	0,86	0,023	0,082		0,005	0,023	12,2
2,08	0,61	0,13	0,030	0,042	0,004	0,035	8,28
2,18	0,61	0,031	0,074			0,024	10,8

**Vsebnost redkih metalov v pepelu premoga iz Sečovelj ter faktor obogatjenja**

**Rare metals content in the ash of Sečovljje coal and factor of enrichment**

Table 6.

6. tabela

Frakcija —1,5

Redki metali	Povprečna vsebnost %	Reducirano na premog		Vsebnost metalov v recentnih rastlinah (Otte, 1953)	Faktor obogatjenja
		s povpr. pepelom 10 % %	s povpr. koeficientom usedanja 1/10 %		
Ti	0,8	0,08	0,0008	0,001	8
V	0,1	0,01	0,001	0,0001—0,001	0—10
Cr	0,05	0,005	0,0005	0,005	—10
Mo	0,007	0,0007	0,00007	0,0009	1,3
Mn	0,005	0,0005	0,00005	0,001—0,02	—20—400
Ni	0,03	0,003	0,0003	0,00015—0,00033	0—2

Sestav pepela nekaterih slojev premoga iz Raše  
 Composition of ash from some Raša coal seams

Table 7.

Jama Podlabin

7. tabela

Šloj	pepel %	SiO <sub>2</sub>	Al <sub>2</sub> O <sub>3</sub>	Fe <sub>2</sub> O <sub>3</sub>	CaO	MgO	Ti	Mn	V	Cr
1. (močno jalovinast)										
1.	52,6	40,6	34,5	7,8	1,3	1,32	1,00	0,014	0,32	0,60
1.	15,3	9,49	15,2	14,6	14,2	7,32	0,40	pod 0,001	0,20	0,28
1.	15,2	10,1	23,5	19,1	20,6	0,83	0,78	0,003	0,65	0,18
1.	9,7	4,14	6,7	11,8	22,3	9,8	0,19	pod 0,001	1,30	0,39
1.	5,1	12,2	3,5	50,0	15,7	—	0,41	pod 0,001	1,40	0,22
1.	12,1	17,8	43,8	8,3	20,7	3,69	0,61	0,09	0,33	0,52
2.	11,4	8,24	7,6	29,8	19,5	2,59	0,35	pod 0,001	0,46	0,20
5.	3,8	6,33	11,5	7,6	32,3	4,26	0,25	pod 0,001	0,09	0,16
10.	11,1	3,62	1,67	1,8	35,0	3,48	0,45	pod 0,001	0,13	0,04
Asfaltni bitumen	1,69	5,59	5,6	cca 50	18,9	1,0	—	—	1,95	0,37

#### 4. Vremski Britof

**Imediatna, elementarna in tehnološka analiza.** 8. tabela kaže sestav nekaterih premogovih slojev z različnih mest jami Jadran IV in Zavrhek, ločenih po frakcijah. Povprečen sestav premoga podaja v primerjavi s sečoveljskim in raškim premogom 11. tabela.

Zaradi karbonatov v premogu je odstotek hlapnih snovi nekoliko previsok.

Odstotek vodika je za višino ogljika normalen, dušika pa je sorazmerno precej. Visoka vsebnost žvepla je dokaj enakomerna ter neodvisna od lege sloja. Piritnega in sulfatnega žvepla je zelo malo. Skoraj v celoti je žveplo organsko vezano. Ekstrakcije dajo izkoristek povprečno 1,1 % (vpp).

Zgornji topotni efekt vzorcev zračno suhega premoga frakcije -1,35 daje vrednosti med 8049 in 8338 Kal, kar ustreza sežigni topotli med 8435 in 8620 Kal, povprečno 8500 Kal.

Spekljivost in koksavost vremanskega premoga sta ugodni. Swelling indeks svežega premoga znaša 7–8 %, pri oksidiranih vzorcih takoj pada celo na 1. Dilatacije so različne, pri svežih vzorcih v splošnem visoke, pri drugih z istim indeksom nizke. Kontrakcija znaša 17–20 % brez ozira na vrednost indeksa in dilatacije. Pri majhnem številu poizkusov tega zaenkrat še ni mogoče razložiti.

Destilacijski poizkus na dveh vzorcih daje povprečno 8,35 % katrana, visoko vsebino koksa (83,5 %) in malo tiljne vode (1,3 %). Podobne rezultate dajejo normalni črni premogi z enako vsebino ogljika in hlapnega.

**Sestav pepela in redki metali v premogu.** 9. tabela podaja sestav pepela skupin premogovih slojev z vodne proge v jami Jadran IV. Največji del kremenice, glinice, žeze in titana je vezan na lahko frakcijo, kar govori za singenetski značaj primesi. V težji frakciji prevladuje le kalcij. Pomembna je nizka vsebnost žeze. Magnezij je – kot v Sečovljah – vezan na lahko frakcijo ter ne gre paralelno s kalcijem; sklepamo, da magnezij ni kot karbonat v jalovini, ampak v premogovi substanci.

Med elementi v manjših koncentracijah so V, Cr in Ni močneje udeleženi v lažji frakciji, iz česar sklepamo, da so prvenstveno vezani na organsko snov. Stopnjo obogatenja kaže 10. tabela. Koncentrirani so isti metali kot v Sečovljah, vendar so obogatenja pri nekaterih večja. V skladu z razmerami v Sečovljah domnevamo, da so bile limnične anaerobne razmere v premogiščih kopičenju redkih metalov bolj ugodne kot brakično-morske.

#### KLASIFIKACIJA PREMOGOV

Problem splošno uporabne klasifikacije premogov še ni rešen. Razne vrste različno zrelih premogov z neenako kemično konstitucijo je težko zadovoljivo karakterizirati. V ta namen so bili uporabljeni najrazličnejši parametri.

Kemični sestav slojev premoga iz Vremskega Britofa po frakcijah

Chemical composition of Vremski Britof coal seams fractions

8. tabela

Table 8.

Vzorec		Imediatna analiza								Elementarna analiza						
Sloj	Frakcija	vlaga	pepel	S <sub>cel</sub>	S <sub>pir</sub>	S <sub>sulf</sub>	S <sub>org</sub>	hlapno	C <sub>fix</sub>	bitum.	Kzg	C	H	N	O	S <sub>cel</sub>
			vp					vpp				vpp				
<b>Jama Jadran IV</b>																
zg. skupina																
zgornji																
sloj	-1,35	0,77	3,95	9,3	sled	sled		21,02	87,98	1,30	8180	80,07	4,67	1,25	4,32	9,69
gl. skupina	-1,35	0,62	3,72	11,1	sled	sled		24,45	75,55	0,65	8117	80,0	4,41	1,12	2,92	11,55
zgornji	-1,5	0,73	5,33	10,1	0,03	0,024	9,05	28,92	71,08							
sloj	1,5-1,9	1,04	30,07	8,6	0,19	0,085	8,33	32,91	67,09							
gl. skupina	-1,35	0,73	3,52	9,1	sled	sled		18,25	81,75	1,06	8220	83,0	4,58	0,97	2,01	9,44
srednji	-1,5	0,56	4,63	8,9	0,019	0,022	8,86	22,77	77,23							
sloj	1,5-1,9	0,84	23,0	6,5	0,054	0,04	6,41	31,71	68,29							
gl. skupina																
spodnji																
sloj	-1,35	0,49	7,1	8,60	sled	sled		22,84	77,16	1,02	7615	84,2	4,45	0,95	2,14	9,26
<b>Jama Zavrhek</b>																
I. prem.																
hor.																
gl. sloj	-1,35	0,97	3,99	8,9	sled	sled		23,18	76,82	2,89	8075	81,0	4,34	0,96	4,43	9,27
II. prem.	-1,35	0,36	3,09	8,7	sled			25,90	74,10	0,61	8338	82,7	4,50	0,98	2,84	8,98
hor.	-1,5	0,61	5,01	7,8	0,012	0,017	7,77	26,14	73,86							
gl. sloj	1,5-1,9	0,58	29,0	5,14	0,03	0,023	5,09	44,45	55,55							

**Sestav pepela premoga iz Vremskega Britofa**  
**Composition of ash of Vremski Britof coal**

Table 9.

9. tabela

Jama Jadran IV; vodna proga

Skupina	Sloj	Frakcija	vлага pepel	SiO <sub>2</sub>	Al <sub>2</sub> O <sub>3</sub>	Fe	CaO	MgO	Ti	V	Cr	Mo	Mn	Ni
krovniinska	zg. del 2+3	—1,35	0,39 5,35	12,94	15,38	2,02	34,00	4,79	0,29	1,67	0,21	-0,001	-0,001	—
		+1,35	1,55 23,8	6,83	5,14	0,80	39,40	0,88	1,12	0,25	0,048	-0,001	-0,001	0,009
	sr. del 4+5+6	—1,35	0,89 5,29	19,68	16,20	2,46	13,88	4,60	0,35	1,80	0,27	-0,001	-0,001	0,049
		+1,35	4,89 18,8	10,53	7,56	1,59	33,86	0,80	0,19	0,54	0,19	-0,001	-0,001	0,040
zgornja	sp. del 7+8	—1,35	1,12 6,5	10,09	11,01	1,36	18,94	5,02	0,22	1,95	—	-0,001	-0,001	—
		+1,35	8,47 20,1	10,58	7,77	1,50	32,23	0,79	0,20	0,87	0,22	-0,001	-0,001	0,034
	zg. del 9+10	—1,35	0,33 4,22	22,76	23,08	2,56	11,46	4,21	0,53	1,80	0,26	-0,001	-0,001	0,13
		+1,35	1,34 18,2	8,49	8,02	2,93	34,23	0,71	0,20	0,74	0,079	-0,001	-0,001	0,046
glavna	sp. del 11+12	—1,35	0,41 4,19	2,90	13,08	0,91	23,90	1,67	0,25	1,02	0,23	-0,001	-0,001	0,053
		+1,35	2,70 26,1	0,67	1,62	0,34	47,36	0,57	0,043	0,050	0,038	-0,001	-0,001	0,013
	13	—1,35	0,62 3,73	19,55	19,71	2,94	12,39	4,86	0,43	2,73	0,20	-0,001	-0,001	0,18
		+1,35	1,81 15,3	5,71	5,24	1,10	39,09	0,71	0,11	0,61	0,16	-0,001	-0,001	0,041
talninska	14+15	—1,35	1,10 4,91	6,94	22,61	3,14	16,99	4,00	0,28	4,18	0,53	-0,001	-0,001	0,12
		+1,35	3,25 17,2	32,62	30,36	2,60	12,33	0,87	0,56	0,99	0,32	-0,001	-0,001	0,076

**Vsebnost redkih metalov v pepelu premoga iz Vremskega Britofa  
ter faktor obogatenja**

**Rare metals contents in the ash of Vremski Britof coal  
and factor of enrichment**

Table 10.

10. tabela

Frakcija – 1,35

Redki metali	Povprečna vsebnost %	Reducirano na premog		Vsebnost metalov v recentnih rastlinah (Otte, 1953) %	Faktor obogatenja
		s povpr. pepelom 5 %	s povpr. koeficien-tom useda-nja 1/10 %		
Ti	0,34	0,017	0,0017	0,001	1,7
V	povpr. 2,5 max. 4,15	0,125 0,221	0,0125 0,0221	0,0001 – 0,001	12,5 – 125 22 – 222
Cr	povpr. 0,27 max. 0,53	0,013 0,026	0,0013 0,0026	0,005	– 3,8 – 1,9
Mo	≤ 0,001	≤ 0,00005	0,000005	0,0009	– 188
Mn	≤ 0,001	≤ 0,00005		0,01 – 0,02	– 200
Ni	povpr. 0,10 max. 0,18	0,005 0,009	0,0005 0,0009	0,00015 – 0,00033	3,3 – 1,5 6 – 2,7

Pri klasifikaciji po elementarni analizi moremo vse tri premoge dokaj dobro uvrstiti, ako upoštevamo namesto kisika vsoto kisika in žvepla. Za sečoveljski in raški premog je vsebnost vodika nekoliko visoka, pri vremskem pa je za njegovo količino ogljika prenizka. Tako padeta po Seylerjevi shemi prva dva visoko v »per« območje, vremski pa med mnogo zrelejše »sub« različke. Podobno je v Mottovi klasifikacijski shemi (Francis, 1954).

V Francisovem klasifikacijskem diagramu (1954) se osnovni parametri C, H, O + S (+N),  $K_{1R}$  ter hlapno dobro ujemajo. Sečoveljski premog spada po položaju v diagramu, ki ga kaže 13. slika, v 1. podskupino netrdnega rjavega premoga blizu prehoda v trdne rjave premoge. Raški premog pripada isti skupini, vendar 2. podskupini trdnega rjavega premoga na prehodu k 3. podskupini (subbituminous coal). Oba ležita v perhidričnem območju. Vremski premog spada že v skupino »bituminoznih« premogov (bituminous), nekako v prehod med skupinama 1. in 2. v subhidričnem območju.

Ako torej manjkajoči kisik nadomestimo z žveplom, pripadata raški in sečoveljski premog še območju rjavih premogov z nekoliko večjo vsebnostjo bitumenskih komponent, vremski pa manj karbonificiranim črnim premogom s povečano udeležbo inertnih komponent.

V diagramu vidimo še položaj asfalskega bitumena iz Raše, bitumena (kerogena) iz sapropelskih apnencev ter ekstrakta (v benzol-alkoholu) iz sečoveljskega premoga. Sestav teh različkov kaže 12. tabela.

Strukturno-kemične preiskave obravnavanih premogov v smeri, ki jo je nakazal van Krevelen (1956) z metodo statistično-konstitutivne analize, bi mogle bolj pojasniti ali osvetliti njihov izreden značaj ter jih točno opredeliti. Nekaj podatkov, ki jih je izračunal van Krevelen (Kreulen, 1952) za raški premog, ne osvetljuje dovolj zrelosti premoga, ki je ostala zaenkrat po kemični poti še nedoločena.

### 1. Uvrstitev po klasifikacijskem sistemu CODE

Dokaj razširjen način klasifikacije nima znanstvenega pomena, pač pa je uporaben za tehnično-trgovsko uvrstitev premogov. Vsaka točna klasifikacija premoga mora biti izvedena izključno le na vitrititu kot karakteristični, enotni komponenti premoga. CODE klasifikacija pa zajema premog kot celoto ter dopušča celo do 10 % pepela.

Nekoliko večja je vrednost klasifikacije, ako upoštevamo najlažjo frakcijo premoga, v kateri je nakopičena vitritna komponenta. To sem upošteval tudi v danem primeru.

Sečoveljski premog s klasifikacijskim številom 711 spada v skupino VI, ki jo označuje slaba spekljivost in koksavost ter sintran, slabo napihnjen koks.

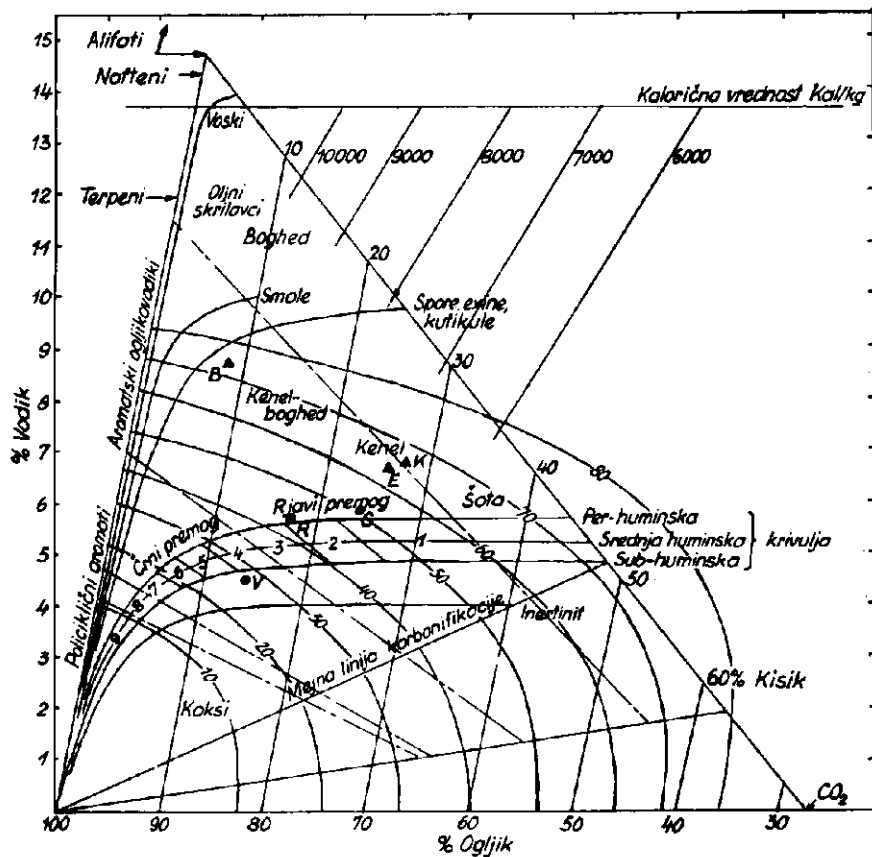
Za raški premog navaja Lavrenčič (1956) število 634, za slabo koksav premog »krednega« sloja tudi nižje število.

13. slika

**Premogi in bitumenski različki v Francisoovem klasifikacijskem diagramu**

Fig. 13

**Coals and bituminous constituents in Francis's rational classification chart**



- S Sečovlje
- R Roša
- V Vremski Britof

- ▲ B Noravni bitumen, Roša
- ▲ K Kerogen iz saprop. opnenco, Sečovlje
- ▲ E Ekstrakt iz sečoveljskega premoga (benzol-alkohol 1:1)

**Povprečne elementarne karakteristike premogov**  
**Average ultimate characteristics of coals**

Table 11.

Frakcije — 1,3

11. tabela

	Sežigalna toploča (zračno suho) kcal/kg	hlapno			C <sub>fix</sub> hlapno	C	H	S <sub>cel</sub>	N	O	O + S	C + S	C H	O H	O + S H
		C <sub>fix</sub>	H <sub>fix</sub>	S <sub>fix</sub>											
Sečovlje	7095 — 7520	50	50	1	70,4	5,9	11,0	0,75	11,95	22,95	81,4	12	2	3,9	
Raša	7750 — 8025	49	51	1,04	77	5,7	11,2	2,0	4,1	15,3	88,2	13,5	0,7	2,7	
Vremski Britof	8435 — 8620	26	74	2,84	81,8	4,5	9,9	1,1	2,7	12,6	91,7	18	0,6	2,75	

**Kemični sestav bitumenskih različkov**  
**Chemical composition of bituminous substances**

Table 12.

12. tabela

	vlaga	pepel	extrakt benz.-alk. 1:1	C				S <sub>cel</sub>	N	O	O + S
				vpp	H	S <sub>cel</sub>	N				
Asfaltni bitumen iz Raše	0,0		1,69	99,0	83,1	8,7	7,6	0,12	0,48	8,08	
Ekstrakt sečoveljskega premoga (benz.-alk. 1:1)			0,0		67,6	6,62	11,9	0,66	13,12	25,02	
Ekstrakt sapropelskega apnenca (benz.-alk. 1:1)							8,62	0,99			
Bitumen iz sapropelskega apnenca	2,0	27,3	23,9	66,1	6,8	13,5	1,44	12,16	25,66		

14 slika

Položaj premogov v C r. diagramu za »normalne« premoge  
(po van Krevelenu)

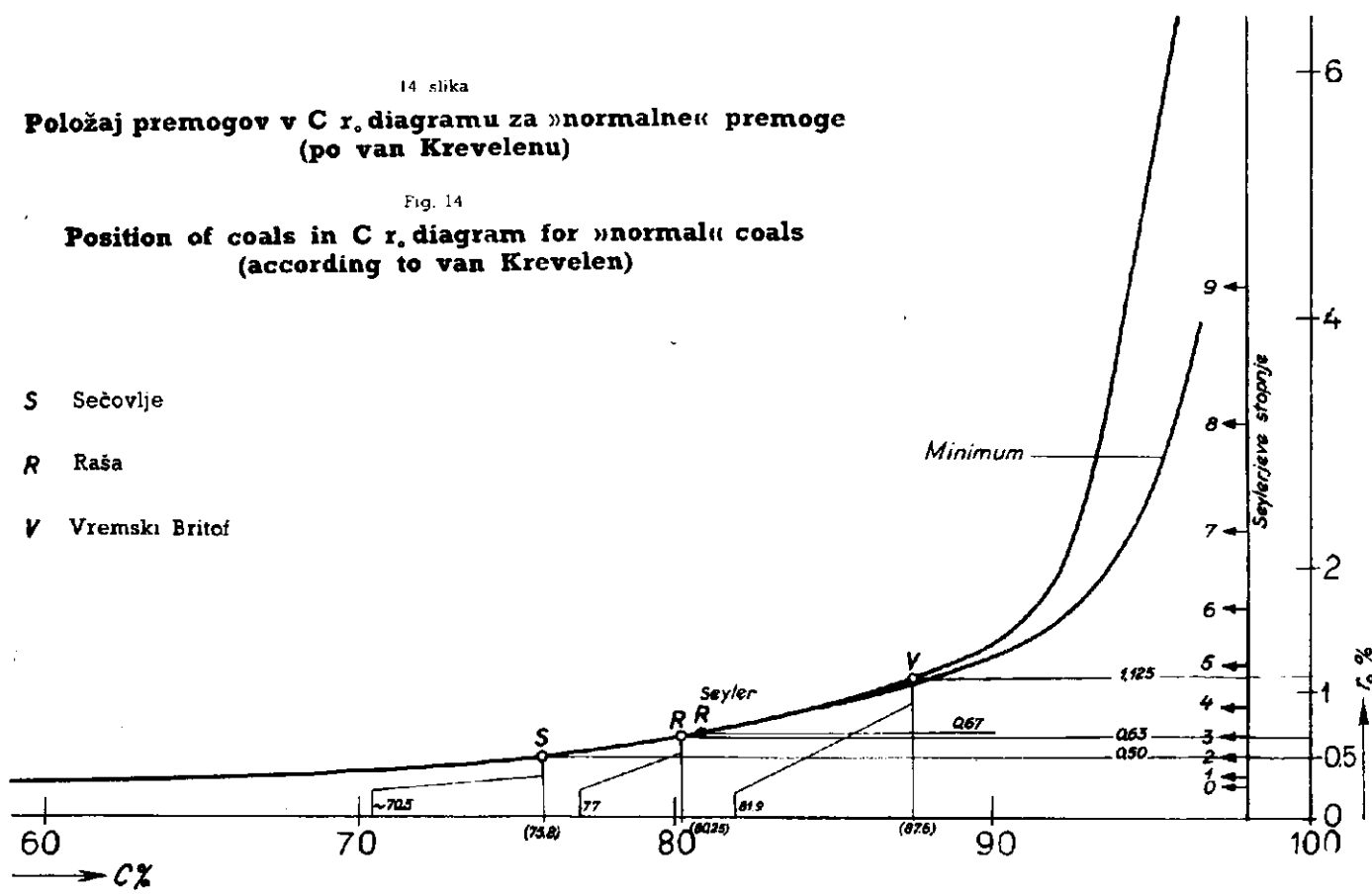
Fig. 14

Position of coals in C r. diagram for »normal« coals  
(according to van Krevelen)

S Sečovlje

R Raša

V Vremski Britof



Vremski premog s klasifikacijskim številom 434 spada v skupino Vb, ki obsega koksave črne premoge z 20–30 % hlapnih snovi.

Raški in sečoveljski premog pripadata še območju manj zrelih premogov s slabo spekljivostjo ter zelo slabo koksavostjo. Če to velja za sečoveljski premog, nikakor ne velja za raškega, kar kaže omejeno veljavnost in vrednost klasifikacijskega sistema CODE.

## 2. Merjenje moči odboja svetlobe

Med fizikalnimi parametri sem določil le moč odboja svetlobe obravnavanih premogov. Za premoge z normalno kemično konstitucijo zaenkrat velja, da je odboj svetlobe optična konstanta, neposredno proporcionalna doseženi zrelosti.

Znano je, da je Seyler prišel do zaključka o nezveznem stopnjevanju refleksije z rastočo zrelostjo premoga. Seylerjevo ugotovitev, ki je obetala za študij konstitucije premogov velik pomen, so v začetku nekateri raziskovalci potrdili, drugi ovrgli. Danes velja, da nezveznosti odboja svetlobe v odvisnosti od zrelosti premoga ni. Obstaja pa neposreden odnos med odbojem svetlobe in strukturno-kemično zgradbo premoga (Van Krevelen, 1956). Preračunavanja Van Krevelena kažejo, da je refleksija v zvezi z benzolovimi jedri in prostimi elektroni v ravneh teh jader. Kreulen (1952) je domneval, da utegne vitrit z organskim žveplom, ki je vezano v obročih, moč odboja svetlobe občutno znižati. Na znižanje moči odboja v premogu, ki je bogat z organskim žveplom, sklepa tudi Stach (1955) ter smatra pojav kot eno od možnosti za odstopanja od Seylerjevih trditev. Na nižjo moč odboja nekaterih z žveplom bogatih premogov iz Porurja sklepa tudi Teichmüllerjeva (1955), ki pa navaja povečan odboj umetno sulfuriranih premogov (1954).

Doslej edino meritev na raškem premogu je izvedel Seyler, ki je dobil vrednost  $r_0 = 0,67$  v olju, čemur ustreza reflektančno število 3 (Kreulen, 1952).

Meritve sem izvedel z Berekovim fotometrom. Uporabljal sem cedrovo imerzijo ter Leitzov objektiv 8 mm. Pri zadostnem številu opazovanj so rezultati enakovredni objektivnim postopkom (Van Krevelen, 1954). Vrednost odboja sem primerjal z izotropnim presekom kremena. Težave so le zaradi enakih lomnih količnikov olja in kremena. Meril sem v monohromatski svetlobi ob uporabi Leitzovega zelenega filtra 53. Izvršil sem več meritev s po 10 odčitki. Srednje vrednosti odboja v olju so naslednje:

	$r_0$
Sečovljje	0,50
Raša	0,63
Vremski Britof	1,125

Vrednost za Sečovljje ustreza Seylerjevi stopnji (reflektančnemu številu) 2, za Rašo stopnji 3, medtem ko za Vremski Britof pade med stopnjo 4 in 5.

Iz 14. slike, ki kaže odnos refleksije do zrelosti premoga, kot ga podaja Van Krevelen (1954), oziroma iz primerjave izmerjenih vrednosti z ustreznimi podatki sledi, da le-te ustrezajo znatno višim vsebnostim ogljika. Vrednost za Vremski Britof pade v pričetek anizotropnega območja, kar se potrjuje s komaj zaznavno anizotropijo tudi pod mikroskopom.

Ker je Van Krevelenova krivulja  $r_o/C$  sestavljena po podatkih meritev na »normalnih« premogih, sklepam, da imajo premogi z visoko vsebnostjo organskega žvepla znatno večjo moč odboja svetlobe kot sicer »normalni« premogi z isto vrednostjo ogljika. Ugotovitev je torej nasprotna navedeni domnevi Kreulena in Teichmüllerjeve ter trditvi Stacheja, da organsko vezano žveplo moč odboja pri določeni vsebnosti ogljika niža.

Vrednosti odboja opredeljujejo premoge med bolj zrele kot pa kažejo vsebnosti ogljika. Moč odboja vitrita ni neposredno proporcionalna vsebnosti ogljika.

#### VPLIV METAMORFOZE IN ZRELOST PREMOGOV

Zrelost normalnih premogov primerjamo med seboj po vsebnosti ogljika. Pri anomalnih premogih pa je vprašanje, kaj je merodajno za oceno zrelosti; ali stopnja refleksije ali vsebnost ogljika? Razlike v vsebinji ogljika so delno tudi petrografska pogojene. Zato smemo primerjati le vitrite raznih premogov.

Relativne zrelosti vseh treh premogov, tako po vsebini ogljika kot odboju, si približno ustrezajo. Razmerja, podana z odstotno vsebnostjo ogljika so:

	po kemičnih analizah (a)	po odboju svetlobe (b)	$\frac{b}{a}$
Sečovlje	70,5	75,8	1,075
Raša	77,0	80,25	1,042
Vremski Britof	81,9	87,6	1,07

Za doseženo zrelost nekega premoga so poleg začetnih biokemičnih procesov merodajni še metamorfni vplivi. Dinamični vplivi, to je pritisk in torna toplota, imajo le majhno vlogo pri metamorfozi. Odločujoč pomen gre geotermičnim vplivom zaradi povišane temperature pri pogreznjenju v določeno globino (Teichmüller, 1954, Francis, 1954).

Debeline nekdanjih pokrovov nad obravnavanimi premogišči ne poznamo. Moremo jih približno oceniti. Debelina plasti pod flišem je za Vremski Britof okrog 900 m, za Labin (Rašo) 500 m, za Sečovlje 170 m. Debelina fliša v labinskem bazenu je po Šikiću (1953) največ okrog 500 m. V tržaško-koprski kadunji predpostavljamo najmanj 800 m fliša. Ako dodamo zaradi erozije vsaj še kakšnih 200 m, moremo povprečno računati z najmanj 1000 metrov debelo plastjo flišnih sedimentov.

Debeline odloženih plasti nad premogovimi sloji ter pripadajoče temperature pri normalni geotermični stopnji  $33\text{ m}/1^\circ$  bi bile potemtakem:

Vremski Britof	1900 m	$58^\circ$
Raša	1500 m	$45^\circ$
Sečovlje	1170 m	$35^\circ$

Ako vzporejamo te vrednosti s podatki, ki jih diagramsко podaja Francis (1953, 1954) za določene zrelostne stopnje, vidimo, da bi morali imeti normalni premogi pri navedenih geotermičnih pogojih znatno višje vsebnosti ogljika kot jih obravnavani trije anomalni premogi dejansko imajo. Vsebnosti ogljika iz Francisovega diagrama se dobro ujemajo z vsebnostmi, določenimi po moči odboja svetlobe glede na normalne premoge. Iz tega sledi, da bi za zrelostno stopnjo, ki jo kažejo po vsebnosti ogljika in tudi moči odboja vsi trije premogi, zadoščal že sam normalen geotermični metamorfni vpliv. Biokemični faktorji v začetni fazi zorenja so bili potemtakem brez posebnega vpliva na doseženi zrelostni stadij. Vpliv intenzivnega bakterialnega razkroja utegne biti bolj kvalitativen glede smeri poteka reakcij pri izpreminjanju organske substance.

Presoja drugih metamorfnih faktorjev je težavna. Vlogo dinamičnih vplivov metamorfoze izključujem, enako tudi morebitni pomembnejši vpliv katalitskega učinkovanja težkih metalov (Mackowsky, 1954) ali vpliv radioaktivnega izžarevanja (Teichmüller, 1954). Le-to bi moglo imeti določeno vlogo pri nastanku bitumenskih komponent v premogu. Znano je namreč, da se pri obsevanju z alfa žarki maščobne kisline in njihove soli dekarboksilirajo (Seyer, 1952).

Tudi presoja geotermične metamorfoze kaže na višjo zrelost premoga kot pa jo podaja vsebnost analitsko določenega ogljika. Pri tem predpostavljam zadostno točnost geotermičnih in Francisovih podatkov. Vsebnost ogljika v premogih z anomalno visokim žveplom ni merilo zrelostnega stadija v istem smislu kot to velja za »normalne« premoge. Premoge z neenakim kemičnim sestavom je primernejše med seboj primerjati po moči odboja svetlobe.

#### V. ZAKLJUČEK

Pri premogiščih v Istri se nekdanji kras odraža v razgibani morfoložiji podlage terciarnih plasti. V globelih in kotanjah je najprej in v največji meri prišlo do nastanka premoga. Odvisnost položaja premogovih slojev od oblike podlage je značilna; premogišča pripadajo tipu talnih slojev. Naslednja značilnost je udeležba boksita na skrašeni podlagi ter med anorganskimi primesmi premoga. Novo nastali sedimenti kot prikamenine premoga so izključno apnenci, ki so kemične, biokemične pa tudi drobno klastične psamitske usedline.

Premog je nastajal v globlji, mirni stoječi vodi v izključno anaerobnem alkalnem okolju, ki je bilo pretežno sladkovodno pa tudi morsko. Dejavnost bakterij je neposreden vzrok obilici žvepla v premogih pa tudi

v boksu. Proces zorenja ni potekal samo v smeri karbonifikacije pač pa tudi v smeri nastanka bitumenskih substanc. Pri istih pogojih metamorfoze je mogel biti zato merodajen le izhodni organski material, oziroma bio-kemični stadij diageneze. Premog pripada humulitno-sapropelitnemu tipu. Bitumenski različek v premogu smatramo kot novo maceralijo, ki je značilna za navedene pogoje nastanka.

Nasprotno v vremskem območju, oziroma v severnem produktivnem pasu, ni bilo krasa med nastanjem premogišča, ki zato pripada tipu konkordantnih premogovih slojev. Tudi tu je prikamenina izključno apnena, pretežno organogena fitogena. Boksitov ni, tudi bitumenskih komponent ne. Dejavnost bakterij se kaže v visoki vsebnosti organskega žvepla. Sklepamo, da je bilo v primeri s Sečovljami okolje bolj razgibano ter manj anaerobno.

Recentni kras z erozijsko-korozijsko podzemno dejavnostjo je za opredelitev premogišč brez pomena. Pojavi so odvisni le od slučajnega položaja premogišč nad erozijsko bazo. V Vremskem Britofu so številni, v Sečovljah jih ne opazimo.

Med Sečovljami in Rašo na eni ter Vremskim Britofom na drugi strani so torej v nastanku pomembne razlike. Premogišči Sečovlje in Rašo moremo po zgoraj navedenih morfoloških in genetskih potezah opredeliti kot poseben kraški tip premogišč. Vremski Britof in ostala nahajališča premoga v severnem pasu ne spadajo med premogišča kraškega tipa.

Vprašanje kemijske strukture premogov z visoko vsebnostjo organsko vezanega žvepla in s tem v zvezi ostalih fizikalnih karakteristik še niso rešena. Vsebina ogljika v takšnih premogih ni merilo zrelostnega stadija v primerjavi z »normalnimi« premogi. Možnost primerjave pa daje moč odboja svetlobe na vitrinitu.

Nadaljnje preiskave analognih premogišč sredozemsko-podonavskega pasu morejo dosedanje predpostavke in ugotovitve še dopolniti.

## ON THE CONDITIONS OF ORIGIN OF THE COAL BEDS IN THE KARST REGION

Among the numerous coal beds of north-western Yugoslavia there are some in Slovene coastland and Istria. The beds belong to the youngest Mesozoic and to the oldest Tertiary. Stratigraphically, the region is one of the most important in Europe, especially in connection with morphological and hydrological peculiarities of karst phenomenon. Comparing with other coals those show some differences.

I intend to treat first of all the coal beds of Vremski Britof (called also Timav) and those of Sečovlje in the Slovene coastland, as well as those of Raša in Istria. The work was done in 1955/56.

Stache was the most prominent geologist of those working in the past century in Istria and Slovene coastland. His investigations were the basis for all works later on. He excepted the beds between the Cretaceous

and Eocene as a special formation, called first the Kozina beds, later on Liburnian stage or Protocen. Stache divided the Liburnian beds in three parts: the Lower Foraminifera limestone, the medium Kozina beds, and the Upper Foraminifera limestone. He was fond of the idea, the Lower Foraminifera limestone belongs to the Danian and the Kozina beds should give the start of the Tertiary.

The Italian geologists did not agree with Stache's division of the beds. They have combined all sediments between the white Cretaceous limestone and the marine beds of Eocene into Spilecciano beds, which contain the interval between the Danian and the lower Lutetian.

Some of our geologists thought in the last time, the Liburnian stage should belong completely to Paleocene. Generally the conditions were not clear, as in the Slovene coastland the transition of the Cretaceous sedimentation in that of the Tertiary one is gradual, meanwhile in the Istria both formations are separated by more or less characteristic unconformity.

The upmost part of the Eocene is flysch. This youngest sedimentary unit conformably overlays the older beds and is some hundred metres thick. Some geologists consider the flysch sedimentation extended into Oligocene.

In Istria the bauxite deposits are connected with the previous erosional surface of the Upper Cretaceous limestone and have been formed due to regression at the end of this age. Terra rossa is formed still today. The process started in Miocene and culminated in the glacial epochs.

Tectonically Istria and Slovene coastland belong to the Dinaric region with the characteristic orographic direction. The area is built up of three great anticlines and synclines.

The main tectonic activity took place in the posteoocene time, some folding took place before the Eocene marine transgression. Epigenetic movements arised in Neogene.

The limestone region is typical karst. The karstifying started with the neogenic emersion. The karstified area extends on some places pretty deeply below the present sea level.

The coal area is divided into two parts. In the northern one between Trst and Pivka, the coal seams are included in the transitional limestone beds between Cretaceous and Tertiary. The only active colliery is that of Vremski Britof. In the southern one between Sečovlje and Raša, the coal seams are intercalated in the lowest beds of the transgressive Tertiary. Only two mines are working here: that of Sečovlje and the Raša one.

I have searched the coal beds of Vremski Britof on the surface as well as underground, employing the boreholes too. There are 14 boreholes in addition of which three new ones have been drilled during 1955. The beds including the coal are exclusively limestone beds. The marine neritic and littoral sedimentation of Upper Cretaceous passed gradually over into brackish lagunal and fresh water one with shortly lasting intermediate marine influences. They returned by brackish phase back into

the marine one of the Tertiary. The boundary between the Cretaceous and the Tertiary is an explicite marine horizon, about 10 m thick. It includes besides of marine snails and Foraminifera some rare small autochtonic Rudists, not appearing any more in upper beds.

The coal in form of variable seams is allied with the fresh water horizons. They are five of them. The lower three ones are in the Cretaceous part of beds below the marine horizon, the upper two ones in the Paleogene part of them. The lowest two are mineable, representing lenticular seams of coal the thickness of which is 0,2–1,5 m. Limestones contain fresh water fauna and are locally extraordinarily rich with Characea flora.

In the limestone beds there are numerous karst caves tightly filled up by loam, sand and cave breccia. The coal seams have been often eroded.

According to the faunistic as well as petrographic characteristics of the sediments the uplift in the time between Cretaceous and Tertiary graded into extensive shallowing of the sea, alternating with the limnic conditions in which the coal beds have been formed. At the time of the marine influences the coal forming receded, but it was renewed in the next limnic phase. The coal seams have a form of large lenses in limestone. Their forming was thus locally given by favorable conditions, which for the time allowed the prevailing of the organic phitogenic sedimentation over the anorganic one. As the coal is very intimately connected with the fine-grained microcrystalline limestone, we can conclude the coal has been formed in fairly deep water. The main part of the initial coal material should belong to the lower organized water plant, first of all to Characeas, and similar ones.

In the northern area the transition beds between the Mesozoic and the Tertiary form a special unit due to their development. We could retain for them the Stache's nomination of the Liburnian beds. They have to be divided stratigraphically into Danian and Paleogenetic part. The dark limestones with coal which repeat to occur in the intermediate beds, we can call the Kozina beds, the expression being used only as the facial one but not as stratigraphic one.

The coal field of Sečovlje forms a local basin in the northwestern part of the Trst-Koper Paleogene syncline. The coalbearing beds are outcrops in small patches only, the main part of them being covered by the Dragonja river alluvion. On the surface the flysch sediments prevail. Thus, the geologic features in the mine were the object of detailed examination. The data of some 145 boreholes were of great use. The last two of them have been drilled in 1955 near to Izola.

The following beds form the Tertiary series; the sandstone and marl of flysch grade into glauconite limestone and Foraminifera limestone downwards. According to the prevailing Foraminifera we can distinguish Nummulite, Alveolina and Miliolida limestones. The lowest part of the beds has been formed in fresh water. The thickness of this horizon, containing coal seams, amounts only some metres. The Miliolida-alveolina

horizon is 10 to 25 m thick, the Nummulite one 80 to 100 m in the area examined.

The first coal seam in an average thickness of about 0,7 m lies directly on the calcareous Upper Cretaceous erosional surface. The following coal seams are thinner. There are at most 20 of them, but regularly only about 7 of them can be found. The thickness of the seams as well as that of the intercalations is varying in great extent, therefore the parts of the coal beds mineable are distributed very irregularly. The greater part of the coal is accumulated in the hollows of the footwall, where the number and the thickness of the seams is greater.

The tectonic in the Šečovlje mine is moderate. There are many small vertical faults. A moderate overthrust of the Tertiary beds on the Cretaceous ones could be stated, being caused of the bending of the syncline. Because of the displacement the coal beds are deformed and the tectonic breccias have been formed.

The coal beds contain some fossil flora (determined by N. Pantić, Belgrade), belonging to the typical tropic Paleogene flora of the Poltava type. The absence of the Conifera of the *Sequoia* genus is significant, as they are very frequent in similar floras. As well significant is the complete absence of the Characea. Fossil fauna is pretty frequent. As it can indicate the facies only, it was determined by genera only. The fauna is composed of fresh water and marine forms. This is a new important moment in the knowledge of the Paleogene of north-western Istria.

There is a relation between the facies of the coal beds and the Cretaceous footwall morphology as well as the number of the coal seams and the thickness of them. The fresh water facies in the lowest part of the Tertiary beds is limited mainly in the hollows on the uneven erosional surface. Principally the marine facies is developed upwards, but locally both are interchanged also. The coal is bound on both of them, the thicker coal seams finding place in the fresh water facies. With prevailing marine influence their number and the thickness are decreasing.

The coal seams occur in limestone. There are fine-grained limestones, but locally even sandy limestones and calcareous sandstones. The first ones correspond with the fresh water facies, the grained ones with the brackish-marine facies prevailingly. Fine-grained limestones are very frequent globular textured. They should be formed due to the sedimentation of the limestone out of the saturated solutions. The grainy limestones should be of chemical origin as well as of biochemical one with local participation of exclusively calcareous psamitic constituents. Fine-grained limestones prove the calm phase of anorganic sedimentation, being interrupted from time to time by the deposition of the initial coal substance. That happened in the time of the shallow phases, as there are some incharacteristic breccias immediately beneath the coal itself. At the end of organic deposition fine sand has been transported sometimes. We find it as calcareous sandstone in the hanging wall of some beds.

Sapropelic limestones occur locally besides of coal itself. Soft yellowish organic substance as well as dark brown asphalteous one can be observed in the limestones sometimes. Beneath the flysch cover in the borehole II/55 the fine fractures have been filled in a distance of 100 m with black asphalt as far as the coal. That is a proof of migration of bituminous substance out of matrix coal rock.

Sapropelic and asphalteous substances show, that in the lowest part of the Paleogene beds there were not only conditions leading to the forming of coal but also the conditions leading to the origin of bituminous hydrocarbons. The effect of these processes is reflected also in the composition of the coal.

The bauxite is the first transgression sediment over the Cretaceous basis and grades on some places continuously into the coal. It is of grey colour and has an öoid texture. Boehmite is the prevailing mineral. Bauxite contains plenty of very fine-grained iron sulphide, the greater part of it being distributed into the öoids in the form of concentric rings. It belongs to melnicovite and pyrite, formed epigenetically out of the first one. The öoids without core have been formed by concentration out of the hydrosols in the early epigenetic phase, together with iron sulphide. The great quantities of sulphide in the bauxite as well as in the coal we could explain through the forming of sulphur hydrogene as being the consequence of bacterial activity. The environments were thus anaerobic and alcalic as proved by the presence of melnicovite and epigenetic pyrite.

The coal beds in the rest of Istria are not very frequent except the Raša coal district. The outerop-conditions are almost the same as in Sečovlje. The fresh water facies with some thinn coal intercalations is pretty fastly replaced by a brackish and marine sedimentation. The boreholes have not given favorable results on some places. Some lenslike coal seams exist near to Pazin, Karojba and Kaldir, but perhaps without any economic value.

We tried to establish the stratigraphic position of the coal beds by means of the thickness of the sediments beneath the flysch in the Sečovlje area. Comparing this area with that of Vremski Britof, where the sedimentation was continuous, we conclude the subsidence of the north-western part of Istria started on the passage between Paleocene and Eocene or even in the Eocene itself. That agrees quite well with the statements of authors given up to date.

To establish the genetic conditions the coals have been examined microscopically in details. The Leitz KPM microscope and six-spindle intergrating stage were used. It was introduced a new graphical way of the illustration of the facies relation to the petrographic composition of the coal seam. The bed profile in form of a curve should give at the same time the changes of conditions of the origin of the seam depending on environments. The basis of the diagram is the detailed microscopic examination of the entire seam. According to data of various coal petrologists we can distinguish clearly aerobic fusitic — sclerotinitic and

anaerobic vitrinitic-micrinitic facies for the time being. On one side of the diagram are given the aerobic conditions, on the other side the anaerobic ones. At the same time is given the transition from the continental facies to the subaqueous one, respectively the transition of the autochthonous type of sedimentation into the allochthonous one (Fig. 10).

The bright coal is prevailing in the feebly banded coal of the Sečovlje mine. It is hard and compact, black with the dark brown streak and irregular fracture. Petrographically it consists of clarite, vitrite, duroclarite and fusite. The clarite is the prevailing component, the last two components being very insignificant. The fine carbonate and sulphide intergrowths are very frequent. In the lowest seam the bauxite component is important too. There is no micrinite in the Sečovlje coal. Fusinite and semifusinite are occurring in traces only, forming thin lenses of fusite.

Exinite is represented almost entirely by a grey-brown formless component with brownish-yellow inner reflections, which is soft and reliefless. It is accumulated on some places, forming thus the basis in which the fragments of vitrinite are included. The texture of such specimens is a proof of the previous plastic state of the substance. The component is solved in the benzol-alcohol solution (1 : 1). It is a primary component, but we can find it on secondary places too. It is an essential component of the coal, but it does not belong to any maceral defined up to date. Therefore we have to treat it as a new maceral of exinite, which we call bituminite for the time. It has to be ranged besides of sporinite, alginite, cutinite and resinite. According Potonié's classification of bitumens the component belongs to the stable metabitumens.

The maceral might be bound on a special initial organic material or it is produced by special diagenetic processes in the coal swamp. The change of organic substance is not given as the coalification only, but as bitumenisation process also, which gives the substances belonging to the bituminous hydrocarbons. We conclude, the component has been formed in an early epigenetic phase, migrating later from the original place in the coal seam into the waste.

There are not yet sufficient data on the disposition of the bituminite in the coal seams. The average amounts to 13 %. The bituminite content in the marine environments seems to be a little lower.

The diagrams of numerous coal seams examined show the conditions of anaerobic sedimentation in comparatively deep water. The quite exceptional aerobic inclusions of fusite are allochthonic. The composition and the facies of the coal seams are proving the humulitic-sapropelitic type of the coal field. The sedimentation should take place mainly in free water basins in which the water plants took part mainly, perhaps the albuminous microorganisms and plancton too. The environments were entirely anaerobic and alcalic or at least neutral, giving thus the possibility for the strong bacterial activity, the result of which the great quantities of sulphur must be seen. Lignine and cellulose passed into humic products, fats and albumina as well as perhaps a part of cellulose itself could pass into bituminous products.

The Raša coal district is geologically similar to those of Sečovlje, except its greater dimensions. The lowest coal seam lies directly over the Upper Cretaceous erosional surface. The bright coal prevails. Vitrite and clarite are the petrographic components only. Durite and fusite as well as the intermediate components have not been found. The structure of coal is uniform, sometimes granular or even breccious. Fine disseminations of mineral matter are frequent in the coal. Because of bauxite component the coal of the lowest seam is especially hard. Exinite is represented by pollen, cuticles and bituminite, identical with the maceral of Sečovlje. The bituminite occurs in small quantities only, the lowest seam being richer than the upper seams. The dark asphalteous inclusions can be found in the limestone sometimes.

The prevailing vitrite with plenty of syngenetic iron sulphide and without any aerobic component are proof of completely anaerobic conditions. The original plastic state of substance is clearly given by the streaky texture of the groundmass, especially in the lowest seam, which together with bituminite and iron sulphide prove the sapropelic conditions in the initial phase of the coal forming. The Raša coal similarly to that of Sečovlje belongs thus to the humic gyttja sediments of calm water. We could explain the high sulphidic and especially organic sulphur content of the coal with the intensive bacterial activity.

The Vremski Britof coal is feebly banded with numerous small lenticular inclusions of fusite. It is black with black streak. The coal is tectonically nearly completely crushed, brittle, sometimes slaty. In the crushed zones even natural coal briquet can be found. Vitrite, vitrinertite and fusite are the petrographic components. The coal is a combination of vitrinite with inert macerals, forming transitions of texturless colinite to typical fusinite. There is also a maceral with properties of massive micrinite. It is always intimately bound with fusinite and semifusinite and therefore doubtlessly formed out of woody substance. The intermediate transitions of macerals speak in favour of intimate genetic connection of macerals fusinite—semifusinite—massive micrinite, being formed most probably under analogic conditions. Among the mineral matter in the coal, syngenetic and epigenetic carbonate prevail, meanwhile the iron sulphide is observed almost exceptionaly.

The examining of a small number of seam profiles (only 4 because of the crushed coal) shows the change of autochthonic vitrinite with hypautochthonic vitrinertite. There are no autochthonic inclusions of aerobic fusinite and semifusinite. Fragmentlike inertinite and the breccious texture of the coal prove the streams in the basin. The coastal part of the swamp, where the aerobic macerals have been formed, was outside of the present coal beds area.

The high organic sulphur content in the Vremski coal we can explain with the bacterial activity in anaerobic conditions and the development of sulphur hydrogene in the coal beds. The low amount of iron sulphide in teh coal can be a consequence of the shortage of iron in the basin. The iron content of the ash of the coal is low too. There are also no sapropelic

limestones in the Vremski Britof area. We suppose the unfavorable organic substance and sedimentation conditions in the exclusively fresh water environments could be the reason for that.

The chemical analysis of the Sečovljé and Vremski Britof coal have been made systematically. For the Raša coal the basic data on the chemical composition are found in the references. The very high organic sulphur content is characteristic for all coals. According some investigators the sulphur replaces oxygene in the organic compounds. The low moisture which does not correspond at all with the high volatiles in the Raša and Sečovljé coal could be explained thus by structural chemistry. The volatiles are bound first of all on bituminous components of the coal. The extraction in the benzol-alcohol gives for the Sečovljé coal pretty high percent of extract, fairly corresponding to the quantity of bituminite, established microscopically. Rheologic properties of the Sečovljé coal are generally unfavorable. Swelling index amounts to 3. Dilatation and contraction are low. The coking properties of the Raša coal are very unstable due to uncleared yet reasons. We suppose, the rheologic properties are influenced by the anorganic components. The swelling index of the Vreme coal is 7 to  $8\frac{1}{2}$ , decreasing to 1 with the oxidized coal. The dilatation varies widely. It is high with fresh coal generally, with other coals with the same index are low. The contraction is stable, regardless on index and dilatation.

The Sečovljé coal distilled in the Fischer's retort gives 18,4 % of tar, the Vreme one approximately 8 %. The Raša coal gives much tar also.

We examined the chemical composition of the ash also. Bauxitic mineral matter is the most important component in the lowest coal seam in Sečovljé as well as in Raša. Therefore we find the enrichment of silica, alumina, ferrous and titanium oxides in the ash of these seams. In the coals we have established also the presence of some trace elements and determined the enrichment factor for comparing with the recent plants. In comparing the contents of rare metals with facies, the analysis of light fractions indicates that some metals are more abundant in the limnic facies than in the brackish-marine one.

The classification of the coals as well as their comparing with the «normal» coals is difficult because of the high organic sulphur content. Some examiners state, the sulphur is replacing the oxygene in structure of the aromatic rings. By the ultimate analysis it is possible to classify the coals pretty fairly, if we replace the total oxygene amount with the sum of oxygene and sulphur. According to the Francis's rational classification chart the Raša and the Sečovljé coals belong still to the lignitous coals with a little higher content of bituminous components. The Vreme coal belongs to the less carbonified bituminous coal with increased quantity of inert components. The CODE classification system is less reliable.

The examinations of polished surfaces of coals by reflected light with a Berek photometer, using an oil immersion lens and measuring quantitatively the degree of reflectivity on vitrite, give the values corresponding

with the "normal" coals much higher in the rank. We conclude the coals with abnormally high content of organic sulphur have thus higher reflectance than the "normal" coals with the same carbon content. The degree of reflectivity shows an increased rank of these coals, than it should be according to the carbon content.

In estimating the metamorphic factors we take in account the geothermal influence. The thickness of the hangingwall cover of the coal beds disputed we estimate approximately only.

Comparing the depth values got in such a way with the data given by Francis and others, we conclude that the carbon content and the rank of the "normal" coals should be much higher in the conditions given. The values correspond fairly with the carbon contents according to the reflectance measurements. Thus, as regards the evaluation of the rank of the coals with abnormal high organic sulphur content we think, we can classify them on the basis of degree of reflectivity.

Resuming the genetic characteristics of the coal beds treated, and their dependence on former and recent karst phenomena we state, there are some differences between the Sečovlje and Raša coals on one side, and the Vremski Britof coal on the other side. The Sečovlje and the Raša coal beds we could classify as a special karst type of coal beds. The characteristics for it are the unconformous position of the coal seams on the calcareous surface strongly developed by erosion, the bauxitic mineral matter in the coals, the high organic and pyritic sulphur content, the bituminous components in the composition of the humulitic-sapropelitic coal, anaerobic and alcalic environments, and the fresh water conditions partly changed by the brackish-marine ones. According to this definition the Vremski Britof coal beds as well as the rest of the coal beds in the northern belt should not be classified as the karst coal beds.

Recent karst phenomena represented by the subterraneous erosion of limestone as well as of the coal is not important for the classification of the coal beds.

#### LITERATURA

- Abramski, C., 1951, Verkokungsversuche mit jugoslawischen Kohlen. Essen. — Poročilo iz arhiva Kem. inst. SAZU v Ljubljani.
- Anić, P., Jovanović, D., Šikić, D., 1952, Geološko istraživanje srednje i istočne Istre. Poročilo. — Arhiv Geol. zav. v Ljubljani.
- Baier, C. R., 1942, Die Mitwirkung der Bakterien bei subaquatischen Eisenerzbildung. — Arh. f. Lagerstätten, H. 75. Berlin.
- Beck, R., 1948, Die Kohlenworkommen des Kandertals im Berner Oberland. — Inaugural-Dissertation. Bern.
- Cavinato, A., 1947, Bauxiti; geologia e genesi. — Feltre.
- Carozzi, A., 1953, Petrographie des roches sédimentaires. — Lettres de sciences techniques. Lausanne.
- Cayeux, L., 1935, Les roches sédimentaires de France. Roches carbonatées. Paris.
- \*Cossmann, M., 1889, Castéropodes. — Ann. géol. univ. — Revue de géol. et paléont. Ann. 1889. Tome VI. Paris.

- Cita, M. B., 1953, Studi stratigrafici sul Terziario subalpino lombardo. Milano.
- \*Dainelli, G., 1919, Fossili eocenici della Croazia costiera. — Atti della Soc. Toscana di Scien. Nat. Mem. 32, 1—57, Tab. 1—4. Pisa.
- D'Ambrosi, C., 1926, Rapporti fra morfologia e trasgressioni nel Cretaceo e nel Terziario dell'Istria. — Atti dell'Acc. Veneto-Triestina-Istriana. Vol. XVI. Padova.
- D'Ambrosi, C., 1931, Note illustrate della carta geologica delle tre Venezie. Foglio Pisino. — Padova.
- D'Ambrosi, C., 1940, Sacche di bauxite deformate da spinte orogene-  
tiche presso Buie d'Istria. — Boll. della Soc. Geol. Italiana. Vol. LIX. Roma.
- D'Ambrosi, C., 1940, Sull'età e sul significato geologico dei calcari brecciatati di Orsera in Istria e delle loro bauxiti. — Boll. della Soc. Geol. Italiana. Vol. LIX, Fasc. 1. Roma.
- D'Ambrosi, C., 1941, Cenni geologici sull'Istria nordoccidentale con particolare riguardo alla scoperta di nuovi affioramenti Eocenici. — Boll. della Soc. Geol. Italiana. Fasc. 2—3. Roma.
- D'Ambrosi, C., 1942, Uno sguardo al carsicismo senoniano in Istria. — Atti del Reale Ist. Veneto di sc., lett. ed a. Tomo CI, F. II. Venezia.
- D'Ambrosi, C., 1953—54, Nuovi raggagli in merito alla stratigrafia del Cretaceo istriano con particolare riguardo all'età, genesi e giacitura delle bauxiti di Orsera in risposta al de Weisse. Boll. della Soc. Adr. di Sc. nat. Vol. LXVII. Trieste.
- Ertle, H. J., 1954, Heutige Erkenntnisse über die Genesis von Steinkohlen und Gefügbestandteilen der Steinkohle. — Erdöl u. Kohle, H. 12. Hannover.
- Francis, W., 1953, Ein rationale wissenschaftliche Klassifikation der Kohle. — Brennstoff-Chemie, Nr. 21/22. Bd. 34. Essen.
- Francis, W., 1954, Coal; its formation and composition. — London.
- \*Frauscher, K. F., 1886, Das Untereozän der Nordalpen und seine Fauna. I. Th. Lamellibranchiata. — Denkschr. d. Mat. Nat. Cl. d. k. Ak. d. Wiss. Wien.
- Freund, H., 1952, Handbuch der Mikroskopie in der Technik. Bd. II. T. 1. Mikroskopie der Steinkohle, des Kokses und der Braunkohle. — Frankfurt a. M.
- \*Fuchs, Th., 1870, Beitrag zur Kenntnis der Conchylienfauna des vicen-  
tinischen Tertiärgebirges. I. Abt., Schichten von Gomberto, Laverda und San-  
gonino. Wien.
- Gignoux, M., 1950, Géologie stratigraphique. IV. Paris.
- Glaessner, M. F., Principles of micropaleontology. Melbourne.
- Hamrla, M., 1955, Petrografske sestav nekaterih vzorcev raškega pre-  
moga z neenako koksavostjo. — Geologija, razprave in poročila. 3. knjiga. Ljubljana.
- Haug, E., 1920, Traité de géologie. II. Les périodes géologiques. Paris.
- Herzog, E., 1931, O mogućnosti eksploracije zone Britof (Istra). — Arhiv Geol. zav. v Ljubljani.
- Herzog, E., 1932, O geološko-tektonskem snimanju zone Karojoba. Po-  
ročilo. — Arhiv Geol. zav. v Ljubljani.
- Huntjens, F. J., van Krevelen, D. W., 1954, The Reflectance of  
Coal. — Proceeding of the International Comitee for coal petrology. No. 1. Maastricht.
- Jenčič, S., 1954, O bitumenu iz Jame Pičan. — Vestnik Slov. kem. dru-  
štva. Zv. I, št. 2. Ljubljana.
- Karmasin, v. K., 1952, Deutung von Fazieswechsel in den Flözen Erda und Ägir auf Grund mikropetrographischer Schlitzprobenuntersuchungen. — Bergbauarchiv, 13, Nr. 1.
- Kavčič, R., 1958, Narava organskega žvepla v raškem premogu. — Di-  
sertacija. Ljubljana.
- Kreulen, D. J., 1952, Sulphur Coal of Istria. — Fuel, Vol. XXI, No. 4. London.

Lavrenčič, B., 1956, Prispevek k reologiji posameznih premogov in njihovih mešanic v temperaturnem intervalu plastičnega stanja. — Disertacija. Ljubljana.

Mackowsky, M. Th., 1943, Mikroskopische Untersuchungen über die anorganischen Bestandteile in der Kohle und ihre Bedeutung für Kohlenaufbereitung und Kohlenveredlung. — Feuerungstechnik, 31. Jhg., H. 9/11. Berlin.

Mackowsky, M. Th., 1948, Mineralogische Probleme in der Kohlenpetrographie. — Glückauf, H. 9/10. Essen.

Mackowsky, M. Th., 1951, Inkohlung und Chemie der Kohle. — Glückauf, H. 23/24. Essen.

Mackowsky, M. Th., 1953, Fortschritte und neuere Erkenntnisse auf dem Gebiete der Kohlenpetrographie; Bericht über die I. Sitzung des Int. Kongr. Kohlenpetrologie in Gellen, 8.—11. VI. 1953. — Glückauf, 39/40. Essen.

Mackowsky, M. Th., 1949, Neuere Anschauungen über den Inkohlungs-vorgang. — Fortschritte der Min. H. 1.

Mackowsky, M. Th., 1953, Probleme der Inkohlung. — Brennstoff-Chemie, Nr. 11/12. Essen.

Mackowsky, M. Th., 1955, Der Sedimentationsrhythmus der Kohlen-flöze. — Neues Jb. f. Geol. u. Paläont., H. 10. Stuttgart.

Melik, A., 1935, Slovenija. Geografski opis. — Ljubljana.

Niggli, P., 1952, Gesteine und Mineralallagerstätten. II. Bd. Exogene Ge-steine und Mineralallagerstätten. Basel.

\*Oppenheim, P., 1896, Die Eocenfauna des Monte Portale bei Bolca im Veronesischen. — Palaeontographica, B. XLIII. Stuttgart.

\*Oppenheim, P., 1901, Über einige alitteriäre Faunen der Österr.-ungar. Monarchie. — Beitr. zur Pal. Österr. Ung. und des Orients. XIII. Wien, Leipzig.

Otte, M. H., 1953, Spurenelemente in einigen deutschen Steinkohlen. Chemie der Erde, 16. Bd. Jena.

Petráschek, W., 1926/27, Kohlengeologie der Österreichischen Teilstaaten. Katowice.

Potonié, R., 1951, Petrographische Klassifikation der Bitumina. Geol. Jb. Bd. 65. Hannover.

Rakovec, I., 1949, Naši kraji v paleocensi in eocensi dobi. Proteus, št. 10.

Ruttner, F., 1942, Eisenlösung und Eisenfällung in Binnengewässern. Arch. f. Lagerstättforschung, H. 75. Berlin.

Sacco, F., 1924, L'Istria. Cenni geologici generali. R. Uff. Geol. Roma. Memorie descr. d. Carta Geol. d'Istria. Vol. XIX. Mondovi.

Sahama, Th., Rankama, K., 1950, Geochemistry. Chicago and Helsinki.

Salopek, M., 1954, Prilozi poznavanju geološke gradje labinskog i pičanskog bazena Istre. Prirodoslovna istraživanja. Knj. 26. Zagreb.

Salopek, M., 1954, Osnovne crte geologije Čićarije i Učke. Prirodoslovna istraživanja. Knj. 26. Zagreb.

\*Sandberger, F., 1870-75, Die Land- und Süßwasserconchylien der Vorwelt. Wiesbaden.

Schwarzbach, M., Teichmüller, M., Thomson, P., 1952, Zur Geologie der tertiären Kohlen Sardiniens. Neues Jb. Geol. Paläont., Mh. 8. Stuttgart.

Seyer, W. F., 1952, The origin and transformation of bituminous ma-terial in coal. 2. Conf. on the origin and constitution of coal. Nova Scotia Dep. of Mines. Crystal Clyffs.

Spoliarić, A., 1890—1904, Beschreibung des Kohlevorkommens am Karste in Britof-Urem und Škoflje und der bergmännischen Arbeiten in diesen Revieren. Rokopis. Arh. Geol. zavoda v Ljubljani.

Stache, G., 1859, Die Eozengebiete in Innerkrain und Istrien. Jb. d. geol. R. A. Bd. X. Wien.

Stache, G., 1864, Die Eozängebiete in Innerkrain und Istrien. Jb. d. geol. R. A. Bd. XIV. Wien.

- Stache, G., 1871, Planorbis-Straten und Congerien-Bänke in den Cosina Schichten Istriens. Verh. d. k. k. Geol. R. A. Wien.  
 Stache, G., 1872, Über neue Characeenreste aus der oberen Abteilung der liburnischen Stufe bei Pisino in Istrien. Verh. d. k. k. Geol. R. A. No. 1. Wien.  
 Stache, G., 1872, Geologische Reisenotizen aus Istrien. Verh. d. k. k. Geol. R. A. Wien.  
 \*Stache, G., 1873, Neue Petrefactenfunde in Istrien. Verh. d. k. k. R. A. Wien.  
 \*Stache, G., 1889, Die liburnische Stufe und deren Grenzhorizonte. Abh. d. geol. R. A. XIII. Wien.  
 Stache, G., 1891, Geologische Verhältnisse und Karte der Umgebung von Triest. Verh. d. k. k. Geol. R. A. Wien.  
 Szadeczky-Kardoss, E., 1956, On the determination of swamp zones in coal deposits. Acta geologica Acad. scien. hung. Tom. IV. Fasc. 2. Budapest.  
 Šikić, D., 1952, Geološko kartiranje područja Vodice—Dana—Movraža i Sočerga. Porocilo. Arhiv Geol. zavoda v Ljubljani.  
 Šikić, D., 1951-53, O mogućnosti nalaska novih produktivnih ugljonošnih naslaga u pazinskom bazenu Istre. Geol. vjesnik V-VII. Zagreb.  
 Tausch, O., 1886, Über die Fauna der nicht marinen Ablagerungen der oberen Kreide des Czingerthales bei Ajka in Bakony und über einige Conchylien der Gosaumergel von Aigen bei Salzburg. Abh. d. k. k. Geol. R. A. Bd. XII. Wien.  
 Teichmüller, M., 1950, Zum petrographischen Aufbau und Werdegang der Weichbraunkohle (mit Berücksichtigung genetischer Fragen der Steinkohlenpetrographie). Geol. Jb. 64. Hannover/Celle.  
 Teichmüller, R. in M., 1954, Die stoffliche und strukturelle Metamorphose der Kohle. Geol. Rundschau, H. 2. Stuttgart.  
 Teichmüller, M., 1955, Anzeichen mariner Beeinflussung bei der Kohle aus Flöz Katharina der Zeche Friedrich Heinrich. Neues Jb. Geol. Paläont. Mh., 4/5, Stuttgart.  
 Van Krevelen, D. W., 1956, Die Steinkohlenstruktur als Forschungsgebiet. Predavanje na Kem. inst. SAZU v Ljubljani. 14. 5. 1956.  
 Waagen, L., 1906, Die Virgation der istrischen Falten. Sitzungsber. d. mat. nat. Kl. Akad. Wiss. Bd. CXV. I. Wien.